



**Berner Fachhochschule**

Technik und Informatik TI

Fachbereich Elektro- und Kommunikationstechnik EKT

# **Formelsammlung**

# **Nachrichtentechnik**

<b>1</b>	<b>SYMBOLS UND EINHEITEN</b>	<b>1</b>
<b>2</b>	<b>GRÖSSEN UND KONSTANTEN</b>	<b>3</b>
2.1	Physikalische Konstanten	3
2.2	Größen und Einheiten	3
2.3	Spez. Widerstand $\rho$ und Spez. Leitfähigkeit $\gamma$ bei 20°C, Temp. Koeffizient $\alpha$	4
<b>3</b>	<b>MATERIAL</b>	<b>5</b>
3.1	Chip-Abmessungen	5
3.2	Substratmaterialien	6
<b>4</b>	<b>MATHEMATIK</b>	<b>7</b>
4.1	Komplexe Zahlen	7
4.2	Trigonometrische Formeln	8
4.3	Arkusfunktionen	12
4.4	Hyperbel- und Areafunktionen	13
4.5	Besselfunktionen $J_n(\eta)$ erster Art der Ordnung n	14
<b>5</b>	<b>FOURIERANALYSE UND FOURIERTRANSFORMATION</b>	<b>15</b>
5.1	Fourieranalyse, Fourier-Reihe	15
5.2	Fourier-Transformation	17
<b>6</b>	<b>LEITUNGEN</b>	<b>18</b>
6.1	Leitungskenngrößen	18
6.2	Verschieden HF-Leitungen	19
6.3	Spannungs- und Stromverteilung auf der Leitung	20
6.4	Eingangswiderstand und Reflexionsfaktor	20
6.4.1	Zusammenhänge der verschiedenen Reflexionsgrößen	21
6.5	Verlustlose Leitungen	23
6.5.1	Eingangswiderstand und Reflexionsfaktor	23
6.6	Ausbreitungsgeschwindigkeit	24
6.7	Leitungen als Schaltungsbauteile	25
6.8	$\pi/4$ -Transformator	25
6.9	Nonsynchronous-Transformer	25
6.10	Smith-Diagramm	26

6.10.1	Smith Chart Equations	26
6.10.2	Smith-Chart	28
<b>7</b>	<b>STROMVERDRÄNGUNG, SKIN-EFFEKT</b>	<b>31</b>
<b>8</b>	<b>S-PARAMETER</b>	<b>34</b>
8.1	Messung der S-Parameter	37
8.1.1	Parameterübersicht	38
8.2	Beschaltete Zweitore	39
8.2.1	Verstärkungsdefinitionen	39
8.2.2	$Z_G = Z_0 = Z_L$	40
8.2.3	Unilaterale Zweitore (rückwirkungsfrei)	40
8.2.4	Nicht unilaterale Zweitore	42
8.3	Umrechnung von Parametern	Fehler! Textmarke nicht definiert.
8.4	Stabilität	44
8.4.1	Unstabil (unstable)	44
8.4.2	Unbedingt stabil (unconditionally stable)	45
8.4.3	Bedingt stabil (conditionally stable)	46
8.5	Touchstone S-Parameter Fileformat	46
<b>9</b>	<b>ZWEITORE</b>	<b>49</b>
9.1	Zusammenschaltung von Zweitoren	49
9.2	Definitionen	52
9.3	Parameter Umrechnungstabelle	53
9.4	Umrechnung von Zweitorparametern in Streumatrizen (und vice versa)	54
9.5	Umrechnung der y-Parameter zwischen Emitter-, Kollektor- und Basisschaltung	56
9.6	Umrechnung der h-Parameter der Emitterschaltung in h-Parameter der Basis- und Kollektorschaltung	57
9.7	Zweitorparameter der wichtigsten Elemente	58
9.8	Beschalteter Zweitor	61
<b>10</b>	<b>NETZWERKE</b>	<b>62</b>
10.1	Transformation von Pi- ↔ T-Schaltungen	62
10.1.1	Pi → T	62
10.1.2	T → Pi	63
10.2	Umwandlung Serie ↔ Parallel	64
10.2.1	Serie → Parallel	64
10.2.2	Parallel → Serie	64
10.3	DÄMPFUNGSGLIEDER	66
10.3.1	PI-Glieder	66
10.3.2	T-Glieder	67
10.3.3	Minimum Loss Pad (MLP)	68
10.3.4	Überbrücktes T-Glied	68

<b>11</b>	<b>INTERMODULATION</b>	<b>69</b>
11.1	Intercept Punkt	72
11.2	Intercept Punkt kaskadierter Zweitore	75
11.3	Messsignale ungleicher Amplituden	77
<b>12</b>	<b>DYNAMIKBEREICH</b>	<b>78</b>
<b>13</b>	<b>FREIRAUMAUSBREITUNG</b>	<b>79</b>
13.1	Elektromagnetisches Feld	79
13.2	Freiraumdämpfung	81
13.3	Bestimmung der Feldstärke	83
13.4	Bestimmung der Empfangsspannung an einem 50Ω-System	83
<b>14</b>	<b>TERRESTRISCHE AUSBREITUNG</b>	<b>84</b>
14.1	Die drei grundsätzlichen Ausbreitungsmechanismen	84
14.1.1	Reflexion	84
14.1.2	Diffraction (Beugung)	85
14.1.3	Streuung (Scattering)	86
14.2	Freiraum (Free-Space)	87
14.3	Ebene Erde	87
14.4	Das Hata-Modell	88
14.5	Das London-Modell	89
14.6	Über Horizont Ausbreitung	89

# 1 Symbole und Einheiten

$A_{ij}$		Kettenparameter	
$B$	S	Suszeptanz	
$C$	F	Kapazität	
$C'$	F/m	Kapazitätsbelag	
$c_o$	m/s	Ausbreitungsgeschwindigkeit im freien Raum	$2.997925 \cdot 10^8$ m/s
$E$	V/m	Elektrische Feldstärke (Vektor)	
$f$	Hz	Frequenz	
$G$	S	Konduktanz, Leitwert	
$G'$	S/m	Ableitungsbelag	
$G_A$		Verfügbare Leistungsverstärkung, Available Power Gain	
$G_P$		Betriebsleistungsverstärkung, Operating Power Gain	
$G_T$		Übertragungsleistungsverstärkung, Transducer Power Gain	
$G_{TU}$		Unilaterale Übertragungsleistungsverstärkung, Unilateral Transducer Power Gain	
$h_{ij}$		Hybridparameter	
$I$	A	Strom	
$I_h$	A	Strom der hinlaufenden Welle	
$I_r$	A	Strom der rücklaufenden (reflektierten) Welle	
$k$		Stabilitätsfaktor (Linviol)	
$L$	H	Induktivität	
$L'$	H/m	Induktivitätsbelag	
$l$	m	Leitungslänge	
$l_{el}$	m	Elektrische Länge der Leitung	
$l_{mech}$	m	Mechanische Länge der Leitung	
$m$		Anpassungsfaktor	
$P$	W	Leistung	
$p_v$	W/m	Verlustleistung pro Längeneinheit	
$R$	$\Omega$	Widerstand	
$R'$	$\Omega/m$	Widerstandsbelag	
$RL$	dB	Rückflussdämpfung, Return Loss	
$r$		Reflexionsfaktor	
$r_G$		Reflexionsfaktor des Generators	
$r_L$		Reflexionsfaktor der Last	
$r_1$		Reflexionsfaktor am Eingang der Leitung	
$r_2$		Reflexionsfaktor am Ausgang der Leitung	
$S_{ij}$		Streuparameter	
$s$		Welligkeitsfaktor, Stehwellenverhältnis	
$t$	s	Zeit	
$t_e$	m	Eindringtiefe des Stromes	
$U$	V	Spannung	
$U_h$	V	Spannung der hinlaufenden Welle	
$U_r$	V	Spannung der rücklaufenden (reflektierten) Welle	
$v_d$	m/s	Ausbreitungsgeschwindigkeit in Leitung mit Dielektrikum	
$v_r$		Relative Ausbreitungsgeschwindigkeit	
$v_u$		Spannungsverstärkung	
$X$	$\Omega$	Reaktanz	

Y	S	Admittanz $Y=G+jB$	
$y_{ij}$		Admittanzparameter	
Z	$\Omega$	Impedanz $Z=R+jX$	
$z_{ij}$		Impedanzparameter	
$Z_1$	$\Omega$	Eingangsimpedanz	
$Z_2$	$\Omega$	Ausgangs- oder Abschlussimpedanz	
$Z_F$	$\Omega$	Feldwellenwiderstand	
$Z_{F0}$	$\Omega$	Feldwellenwiderstand im Vakuum	
$Z_0$	$\Omega$	Systemimpedanz, Kennimpedanz, Wellenwiderstand der Leitung	
$\alpha$	Np / m	Dämpfungsbelag einer Leitung 1 Np=8.686 dB	
$\alpha_G$	Np / m	Ableitungsdämpfung	
$\alpha_R$	Np / m	Widerstandsdämpfung	
$\beta$	Rad / m	Phasenbelag einer Leitung	
$\gamma$		Übertragungsbelag, Ausbreitungsmass einer Leitung $=\alpha+j\beta$	
$\delta_G$	Rad	Verlustwinkel des Dielektrikums	
$\epsilon_0$	F / m	Dielektrizitätskonstante im freien Raum	$\frac{1}{36\pi} 10^{-9} = 8.854 \cdot 10^{-12} \text{F / m}$
$\epsilon_r$		Relative Dielektrizitätskonstante	
$\lambda$	m	Wellenlänge	
$\mu_0$	H / m	Permeabilitätskonstante im freien Raum	$4\pi \cdot 10^{-7} \text{H / m}$
$\mu_r$		Relative Permeabilitätskonstante	
$\rho$	$\Omega \cdot \text{mm}^2 / \text{m}$	Spezifischer Widerstand	
$\varphi$	Rad	Winkel	
$\omega$	Rad/s	Kreisfrequenz	

## 2 Größen und Konstanten

### 2.1 Physikalische Konstanten

q	$1.6022 \cdot 10^{-19}$	As	Elementarladung
k	$1.38054 \cdot 10^{-23}$	WsK <sup>-1</sup>	Boltzmannkonstante
h	$6.625 \cdot 10^{-34}$	Ws <sup>2</sup>	Planksches Wirkungsquantum
c	$2.997925 \cdot 10^8$	ms <sup>-1</sup>	Lichtgeschwindigkeit im Vakuum
m <sub>eo</sub>	$9.1095 \cdot 10^{-31}$	kg	Ruhemasse des Elektrons
m <sub>p</sub>	$1.67265 \cdot 10^{-27}$	kg	Ruhemasse des Protons
R	8.314	N m mol <sup>-1</sup> K <sup>-1</sup>	Gaskonstante
ε <sub>o</sub>	$8.854 \cdot 10^{-12} = \frac{1}{36\pi} \cdot 10^{-9}$	A s V <sup>-1</sup> m <sup>-1</sup>	Dielektrizitätskonstante des Vakuum
μ <sub>o</sub>	$1.2566 \cdot 10^{-6} = 4\pi \cdot 10^{-7}$	V s A <sup>-1</sup> m <sup>-1</sup>	Induktionskonstante des Vakuum (Permeabilität)
g <sub>n</sub>	9.80665	m s <sup>-2</sup>	Fallbeschleunigung
Z <sub>F</sub>	$376.7303 = \sqrt{\frac{\mu_0}{\epsilon_0}} = 120\pi$	Ω	Wellenwiderstand des Vakuum
0 K	-273.15	°C	absoluter Nullpunkt der Temperatur
U <sub>T</sub>	24.988 25.85	mV mV	Thermospannung bei T = 290 K (U <sub>T</sub> = kT/e) Thermospannung bei T = 300 K

### 2.2 Größen und Einheiten

Newton	1 N	=	1 kg m s <sup>-2</sup>
Joule	1 J	=	1 kg m <sup>2</sup> s <sup>-2</sup> = 1 V A s = 1 W s = 1 N m
Watt	1 W	=	1 kg m <sup>2</sup> s <sup>-3</sup> = 1 V A = 1 J s <sup>-1</sup> = 1 N m s <sup>-1</sup>
Volt	1 V	=	1 kg m <sup>2</sup> A <sup>-1</sup> s <sup>-3</sup>
Coulomb	1 C	=	1 A s
Farad	1 F	=	1 A s V <sup>-1</sup>
Henry	1 H	=	1 V s A <sup>-1</sup>

Weber	1 Wb	=	1 V s
Tesla	1 T	=	1 V s m <sup>-2</sup>
	1 kWh	=	3.6 MJ = 3.6 MW s
Gauss	1 G	=	10 <sup>-4</sup> T
Kalorie	1 cal	=	4.1868 J
Oersted	1 Oe	=	79.5775 A m <sup>-1</sup>
PS	1 PS	=	735.49875 W
Inch	1 in	=	25.4 mm
Foot	1 ft	=	12 in = 30.48 cm
mil	1 mil	=	25.4 μm

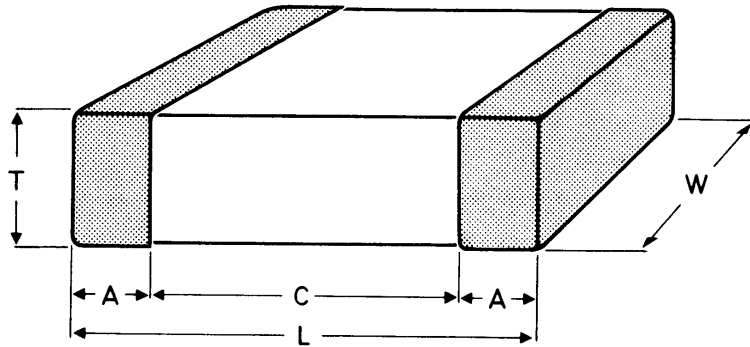
### 2.3 Spez. Widerstand $\rho$ und Spez. Leitfähigkeit $\gamma$ bei 20°C, Temp. Koeffizient $\alpha$

Material	Spez. Widerstand $\rho$ in 10 <sup>-8</sup> Ωm	Spez. Leitwert $\gamma$ in 10 <sup>6</sup> S m <sup>-1</sup>	Temp. Koeffizient $\alpha$ in 10 <sup>-4</sup> K <sup>-1</sup>
Aluminium	2.78	36	39
Blei	20.8	4.8	42
Gold	2.22	45	40
Kupfer	1.72	58	38
Messing MS58	5.9	17	15
Messing MS63	7.1	14	15
Nickel	8.7	11.5	47
Platin	11.1	9	39
Silber	1.6	62.5	37.7
Zink	6.1	16.5	37
Zinn	12	8.3	42



### 3 Material

#### 3.1 Chip-Abmessungen



Bezeichnung	L (mm)	W (mm)
0201	0.5	0.25
0402	1.0	0.5
0603	1.6	0.76
0805	2.0	1.25
1206	3.2	1.6
1210	3.2	2.5

### 3.2 Substratmaterialien

Handelsbezeichnung	Material	$\epsilon_r$	$\tan \delta$ 10 GHz	Formstabilität - o +	Bearbeitbarkeit - o +	Preis - o +
Luft (trocken)		1	$\approx 0$			
FR-4	Epoxy/Glas	4.7±0.3	0.025 <sup>1)</sup>	+	+	--
GT, GX	PR	2.5±0.05	0.0018	-	-	o
Rogers Duroid 5880	PR	2.2±0.02	0.0009	-	-	o
Rogers RO 4350B	CTW	3.66±0.05	0.0038	+	+	-
Rogers RO 3006	PC	6.15±0.15	0.0020	+	-	+
Rogers RO 3010	PC	10.20±0.3	0.0023	+	--	+
Taconic TLC-32	PCW	3.2±0.05	0.003	o	-	-
Taconic TLE-95	PCW	2.95±0.05	0.0028	o	-	-
Taconic TLT-8	PW	2.55±0.05	0.0019	-	-	o
Taconic RF-35	PCW	3.5±0.05	0.0018	+	+	-
Arlon Epsilam 10	PC	10.2±0.25	0.002	+	--	+
Alumina	Al <sub>2</sub> O <sub>3</sub> 99.5%	9.7	0.0003	+	--	+
Beryllia	BeO 97%	6.9	0.0003	+	--	+
Saphir		9.4/11.6	0.0001	+	--	+
Glas		5	0.002	+	--	+
Quarz		3.8	0.0001	+	--	++
Dacron	Epoxy	3.2	0.015 <sup>2)</sup>	-	o	-
Kapton	Polimid	3.5	0.01 <sup>2)</sup>	-	o	-
Mylar	Polyester	3.3	0.01 <sup>2)</sup>	-	o	-
Gallium Arsenid	GaAs	13.1	0.0016	+	--	++
Germanium	Ge	16.0		+	--	++
Silizium	Si	11.7	0.005	+	--	++

1) 1 GHz

2) 1 MHz

P = PTFE resin  
 T = Thermoset resin  
 C = Ceramic filler  
 R = Random Glass weave  
 W = Woven Glass

#### Cu Surface Roughness:

ED 0.4 - 2.5  $\mu\text{m}$ ; Rolled 0.3 - 1.4  $\mu\text{m}$ 

Cu Clad	
oz/ft <sup>2</sup>	$\mu\text{m}$
0.500	17.5
1.000	35
2.000	70

Thickness			
mil	mm	mil	mm
4	0.102	45	1.143
5	0.127	50	1.270
6.6	0.168	60	1.524
10	0.254	62	1.575
15	0.381	75	1.905
19	0.483	93	2.362
20	0.508	100	2.540
25	0.635	125	3.175
30	0.762	187	4.750
31	0.787	250	6.350

## 4 Mathematik

### 4.1 Komplexe Zahlen

$$(+j) \cdot (+j) = -1$$

$$(-1) \cdot (+j) = -j$$

$$(-j) \cdot (+j) = +1$$

$$(-j) \cdot (-j) = -1$$

$$\frac{1}{j} = -j$$

$$\frac{1}{-j} = +j$$

$$j(-x) = -jx$$

**Addition (Subtraktion):** Komplexe Zahlen werden addiert (subtrahiert), indem man deren Real- und Imaginärteil für sich addiert (subtrahiert).

$$(R_1 + jX_1) + (R_2 + jX_2) = R_1 + R_2 + j(X_1 + X_2)$$

$$(R_1 + jX_1) + (R_2 - jX_2) = R_1 + R_2 + j(X_1 - X_2)$$

$$(R_1 - jX_1) + (R_2 - jX_2) = R_1 + R_2 - j(X_1 + X_2)$$

**Multiplikation (Division):** Komplexe Zahlen werden multipliziert (dividiert), indem man ihre Beträge multipliziert (dividiert) und die Winkel addiert (subtrahiert).

$$|Z_1| \angle \alpha \cdot |Z_2| \angle \beta = |Z_1| \cdot |Z_2| \angle (\alpha + \beta)$$

$$\frac{|Z_1| \angle \alpha}{|Z_2| \angle \beta} = \frac{|Z_1|}{|Z_2|} \angle (\alpha - \beta)$$

**Potenzieren (Radizieren):** Komplexe Zahlen werden mit n potenziert (radiziert), indem man den Betrag mit n potenziert (radiziert) und den Winkel mit n multipliziert (durch n dividiert).

$$(|Z| \angle \alpha)^n = |Z|^n \angle (n \cdot \alpha)$$

$$\sqrt[n]{|Z| \angle \alpha} = \sqrt[n]{|Z|} \angle \frac{\alpha}{n}$$

**Umwandlungen rechtwinklig <---> polar:**

$$|Z| \angle \varphi = R + jX \longrightarrow R = |Z| \cos \varphi \quad X = |Z| \sin \varphi$$

$$R + jX = |Z| \angle \varphi \longrightarrow |Z| = \sqrt{R^2 + X^2} \quad \varphi = \arctan \frac{X}{R}$$

## 4.2 Trigonometrische Formeln

$\sin^2 x + \cos^2 x = 1$
$\sec^2 x - \tan^2 x = 1$
$\operatorname{cosec}^2 x - \cot^2 x = 1$
$\sin x \cdot \operatorname{cosec} x = 1$
$\cos x \cdot \sec x = 1$
$\tan x \cdot \cot x = 1$

$\operatorname{cosec} x = \frac{1}{\sin x}$
$\sec x = \frac{1}{\cos x}$

### Funktionswerte

Grad	0	30	45	60	90	120	135	150	180	210	225	240	270	300	315	330	360
Rad	0	$\frac{\pi}{6}$	$\frac{\pi}{4}$	$\frac{\pi}{3}$	$\frac{\pi}{2}$	$\frac{2}{3}\pi$	$\frac{3}{4}\pi$	$\frac{5}{6}\pi$	$\pi$	$1\frac{1}{6}\pi$	$1\frac{1}{4}\pi$	$1\frac{1}{3}\pi$	$1\frac{1}{2}\pi$	$1\frac{2}{3}\pi$	$1\frac{3}{4}\pi$	$1\frac{5}{6}\pi$	$2\pi$
sin =	0	$\frac{1}{2}$	$\frac{\sqrt{2}}{2}$	$\frac{\sqrt{3}}{2}$	1	$\frac{\sqrt{3}}{2}$	$\frac{\sqrt{2}}{2}$	$\frac{1}{2}$	0	$-\frac{1}{2}$	$-\frac{\sqrt{2}}{2}$	$-\frac{\sqrt{3}}{2}$	-1	$-\frac{\sqrt{3}}{2}$	$-\frac{\sqrt{2}}{2}$	$-\frac{1}{2}$	0
cos =	1	$\frac{\sqrt{3}}{2}$	$\frac{\sqrt{2}}{2}$	$\frac{1}{2}$	0	$-\frac{1}{2}$	$-\frac{\sqrt{2}}{2}$	$-\frac{\sqrt{3}}{2}$	-1	$-\frac{\sqrt{3}}{2}$	$-\frac{\sqrt{2}}{2}$	$-\frac{1}{2}$	0	$\frac{1}{2}$	$\frac{\sqrt{2}}{2}$	$\frac{\sqrt{3}}{2}$	1
tan =	0	$\frac{\sqrt{3}}{3}$	1	$\sqrt{3}$	$\pm\infty$	$-\sqrt{3}$	-1	$-\frac{\sqrt{3}}{3}$	0	$\frac{\sqrt{3}}{3}$	1	$\sqrt{3}$	$\pm\infty$	$-\sqrt{3}$	-1	$-\frac{\sqrt{3}}{3}$	0
cot =	$\pm\infty$	$\sqrt{3}$	1	$\frac{\sqrt{3}}{3}$	0	$-\frac{\sqrt{3}}{3}$	-1	$-\sqrt{3}$	$\pm\infty$	$\sqrt{3}$	1	$\frac{\sqrt{3}}{3}$	0	$-\frac{\sqrt{3}}{3}$	-1	$-\sqrt{3}$	$\pm\infty$

### Beziehungen

$\sin(2\pi \cdot n + x) = \sin x$
$\cos(2\pi \cdot n + x) = \cos x$
$\tan(\pi \cdot n + x) = \tan x$
$\cot(\pi \cdot n + x) = \cot x$

$\sin(-x) = -\sin x$
$\cos(-x) = \cos x$
$\tan(-x) = -\tan x$
$\cot(-x) = -\cot x$

	$\sin x =$	$\cos x =$	$\tan x =$	$\cot x =$
sin		$\sin\left(x + \frac{\pi}{2}\right)$	$\pm \frac{\sin x}{\sqrt{1 - \sin^2 x}}$	$\pm \frac{\sqrt{1 - \sin^2 x}}{\sin x}$
		$\sin\left(\frac{\pi}{2} - x\right)$		
		$\pm\sqrt{1 - \sin^2 x}$		$\sqrt{\frac{1}{\sin^2 x} - 1}$
		$1 - 2\sin^2 \frac{x}{2}$		
cos	$\cos\left(x - \frac{\pi}{2}\right)$	$\sqrt{\frac{1 + \cos 2x}{2}}$	$\pm \frac{\sqrt{1 - \cos^2 x}}{\cos x}$	$\pm \frac{\cos x}{\sqrt{1 - \cos^2 x}}$
	$\cos\left(\frac{\pi}{2} - x\right)$			
	$\pm\sqrt{1 - \cos^2 x}$		$\sqrt{\frac{1}{\cos^2 x} - 1}$	
	$\frac{1}{\sqrt{1 + \cos^2 x}}$			
	$\sqrt{\cos^2 x - \cos 2x}$			
	$\sqrt{\frac{1 - \cos 2x}{2}}$			
tan	$\pm \frac{\tan x}{\sqrt{1 + \tan^2 x}}$	$\pm \frac{1}{\sqrt{1 + \tan^2 x}}$	$\frac{2 \tan \frac{x}{2}}{1 - \tan^2 \frac{x}{2}}$	$\frac{1}{\tan x}$
	$\frac{2 \tan \frac{x}{2}}{1 + \tan^2 \frac{x}{2}}$	$\frac{1 - \tan^2 \frac{x}{2}}{1 + \tan^2 \frac{x}{2}}$		$\tan\left(\frac{\pi}{2} - x\right)$
cot	$\pm \frac{1}{\sqrt{1 + \cot^2 x}}$	$\pm \frac{\cot x}{\sqrt{1 + \cot^2 x}}$	$\frac{1}{\cot x}$	$\frac{\cot^2\left(\frac{x}{2}\right) - 1}{2 \cot \frac{x}{2}}$
			$\cot\left(\frac{\pi}{2} - x\right)$	
sin, cos, tan, cot, sec, cosec	$2 \sin \frac{x}{2} \cos \frac{x}{2}$	$\cos^2 \frac{x}{2} - \sin^2 \frac{x}{2}$	$\frac{\sin x}{\cos x}$	$\frac{\cos x}{\sin x}$
	$\cos x \cdot \tan x$	$\frac{\sin x}{\tan x}$		
	$\frac{1}{\operatorname{cosec} x}$	$\frac{1}{\sec x}$		
e	$\frac{e^{jx} - e^{-jx}}{2j}$	$\frac{e^{jx} + e^{-jx}}{2}$	$j \frac{e^{-jx} - e^{jx}}{e^{jx} + e^{-jx}}$	$j \frac{e^{jx} + e^{-jx}}{e^{jx} - e^{-jx}}$

**Additionstheoreme**

$$\sin(x_1 \pm x_2) = \sin x_1 \cdot \cos x_2 \pm \cos x_1 \cdot \sin x_2$$

$$\cos(x_1 \pm x_2) = \cos x_1 \cdot \cos x_2 \mp \sin x_1 \cdot \sin x_2$$

$$\tan(x_1 \pm x_2) = \frac{\tan x_1 \pm \tan x_2}{1 \mp \tan x_1 \cdot \tan x_2}$$

$$\cot(x_1 \pm x_2) = \frac{\cot x_1 \cdot \cot x_2 \mp 1}{\cot x_2 \pm \cot x_1}$$

**Halbe Winkel**

$$\sin\left(\frac{x}{2}\right) = \pm \sqrt{\frac{1 - \cos x}{2}}$$

$$\cos\left(\frac{x}{2}\right) = \pm \sqrt{\frac{1 + \cos x}{2}}$$

$$\tan\left(\frac{x}{2}\right) = \pm \sqrt{\frac{1 - \cos x}{1 + \cos x}} = \frac{\sin x}{1 + \cos x} = \frac{1 - \cos x}{\sin x}$$

$$\cot\left(\frac{x}{2}\right) = \pm \sqrt{\frac{1 + \cos x}{1 - \cos x}} = \frac{\sin x}{1 - \cos x} = \frac{1 + \cos x}{\sin x}$$

**Doppelte Winkel**

$$\sin(2x) = 2 \sin x \cdot \cos x$$

$$\cos(2x) = \cos^2 x - \sin^2 x = 1 - 2 \sin^2 x = 2 \cos^2 x - 1$$

$$\tan(2x) = \frac{2 \tan x}{1 - \tan^2 x} = \frac{2}{\cot x - \tan x}$$

$$\cot(2x) = \frac{\cot^2 x - 1}{2 \cot x} = \frac{\cot x - \tan x}{2}$$

**Dreifache Winkel**

$$\sin(3x) = 3 \sin x - 4 \sin^3 x$$

$$\cos(3x) = 4 \cos^3 x - 3 \cos x$$

$$\tan(3x) = \frac{3 \tan x - \tan^3 x}{1 - 3 \tan^2 x}$$

**n-fache Winkel**

$$\sin(nx) = \binom{n}{1} \sin x \cdot \cos^{n-1} x - \binom{n}{3} \sin^3 x \cdot \cos^{n-3} x + \binom{n}{5} \sin^5 x \cdot \cos^{n-5} x - \dots + \dots$$

$$\cos(nx) = \cos^n x - \binom{n}{2} \sin^2 x \cdot \cos^{n-2} x + \binom{n}{4} \sin^4 x \cdot \cos^{n-4} x - \dots + \dots$$

**Potenzen**

$\sin^2 x = \frac{1}{2}(1 - \cos(2x)) = 1 - \cos^2 x = \frac{\tan^2 x}{1 + \tan^2 x}$
$\sin^3 x = \frac{1}{4}(3 \sin x - \sin(3x))$
$\sin^4 x = \frac{1}{8}(\cos(4x) - 4 \cos(2x) + 3)$
$\cos^2 x = \frac{1}{2}[1 + \cos(2x)] = 1 - \sin^2 x = \frac{1}{1 + \tan^2 x}$
$\cos^3 x = \frac{1}{4}(3 \cos x + \cos(3x))$
$\cos^4 x = \frac{1}{8}(\cos(4x) + 4 \cos(2x) + 3)$
$\cos^5 x = \frac{1}{16}(\cos(5x) + 5 \cos(3x) + 10 \cos(x))$
$\cos^6 x = \frac{1}{32}[\cos(6x) + 6 \cos(4x) + 15 \cos(2x) + 10]$
$\cos^7 x = \frac{1}{64}[\cos(7x) + 7 \cos(5x) + 21 \cos(3x) + 35 \cos(x)]$
$\tan^2 x = \frac{\sin^2 x}{1 - \sin^2 x} = \frac{1 - \cos^2 x}{\cos^2 x}$

**Summen und Differenzen**

$\sin x_1 + \sin x_2 = 2 \sin\left(\frac{x_1 + x_2}{2}\right) \cdot \cos\left(\frac{x_1 - x_2}{2}\right)$
$\sin x_1 - \sin x_2 = 2 \cos\left(\frac{x_1 + x_2}{2}\right) \cdot \sin\left(\frac{x_1 - x_2}{2}\right)$
$\sin(x_1 + x_2) + \sin(x_1 - x_2) = 2 \sin x_1 \cdot \cos x_2$
$\sin(x_1 + x_2) - \sin(x_1 - x_2) = 2 \cos x_1 \cdot \sin x_2$
$\cos x_1 + \cos x_2 = 2 \cos\left(\frac{x_1 + x_2}{2}\right) \cdot \cos\left(\frac{x_1 - x_2}{2}\right)$
$\cos x_1 - \cos x_2 = -2 \sin\left(\frac{x_1 + x_2}{2}\right) \cdot \sin\left(\frac{x_1 - x_2}{2}\right)$
$\cos(x_1 + x_2) + \cos(x_1 - x_2) = 2 \cos x_1 \cdot \cos x_2$
$\cos(x_1 + x_2) - \cos(x_1 - x_2) = -2 \sin x_1 \cdot \sin x_2$
$\tan x_1 \pm \tan x_2 = \frac{\sin(x_1 \pm x_2)}{\cos x_1 \cdot \cos x_2}$
$\cot x_1 \pm \cot x_2 = \frac{\sin(x_2 \pm x_1)}{\sin x_1 \cdot \sin x_2}$

**Produkte**

$\sin x_1 \cdot \sin x_2 = \frac{1}{2}(\cos(x_1 - x_2) - \cos(x_1 + x_2))$
$\cos x_1 \cdot \cos x_2 = \frac{1}{2}(\cos(x_1 - x_2) + \cos(x_1 + x_2))$
$\sin x_1 \cdot \cos x_2 = \frac{1}{2}(\sin(x_1 - x_2) + \sin(x_1 + x_2))$ $= \frac{1}{2}(-\sin(x_2 - x_1) + \sin(x_1 + x_2))$
$\tan x_1 \cdot \tan x_2 = \frac{\tan x_1 + \tan x_2}{\cot x_1 + \cot x_2} = -\frac{\tan x_1 - \tan x_2}{\cot x_1 - \cot x_2}$
$\cot x_1 \cdot \cot x_2 = \frac{\cot x_1 + \cot x_2}{\tan x_1 + \tan x_2} = -\frac{\cot x_1 - \cot x_2}{\tan x_1 - \tan x_2}$
$\cot x_1 \cdot \tan x_2 = \frac{\cot x_1 + \tan x_2}{\tan x_1 + \cot x_2} = -\frac{\cot x_1 - \tan x_2}{\tan x_1 - \cot x_2}$

**4.3 Arkusfunktionen**

$\arcsin x =$	$\arccos x =$	$\arctan x =$	$\text{arc cot } x =$
$\arctan\left(\frac{x}{\sqrt{1-x^2}}\right)$	$\text{arc cot}\left(\frac{x}{\sqrt{1-x^2}}\right)$	$\arcsin\left(\frac{x}{\sqrt{1+x^2}}\right)$	$\arccos\left(\frac{x}{\sqrt{1+x^2}}\right)$
$\arccos\sqrt{1-x^2}$	$\frac{\pi}{2} - \arcsin x$	$\frac{\pi}{2} - \text{arc cot } x$	$\frac{\pi}{2} - \arctan x$
$\text{arc cot } \frac{\sqrt{1-x^2}}{x}$	$\arcsin\sqrt{1-x^2}$	$\arcsin\frac{x}{\sqrt{1+x^2}}$	$\begin{cases} \arctan(1/x) & x > 0 \\ \arctan(1/x) + \pi & x < 0 \end{cases}$
	$\arctan\frac{\sqrt{1-x^2}}{x}$	$\arccos\frac{1}{\sqrt{1+x^2}}$	$\arcsin\frac{1}{\sqrt{1+x^2}}$
		$\text{arc cot } \frac{1}{x}$	$\arctan\frac{1}{x}$

$\arcsin(-x) = -\arcsin x$	$\arccos(-x) = \pi - \arccos x$
$\arctan(-x) = -\arctan x$	$\text{arc cot}(-x) = \pi - \text{arc cot } x$
$\arcsin x + \arccos x = \frac{\pi}{2}$	$\arctan x + \text{arc cot } x = \frac{\pi}{2}$



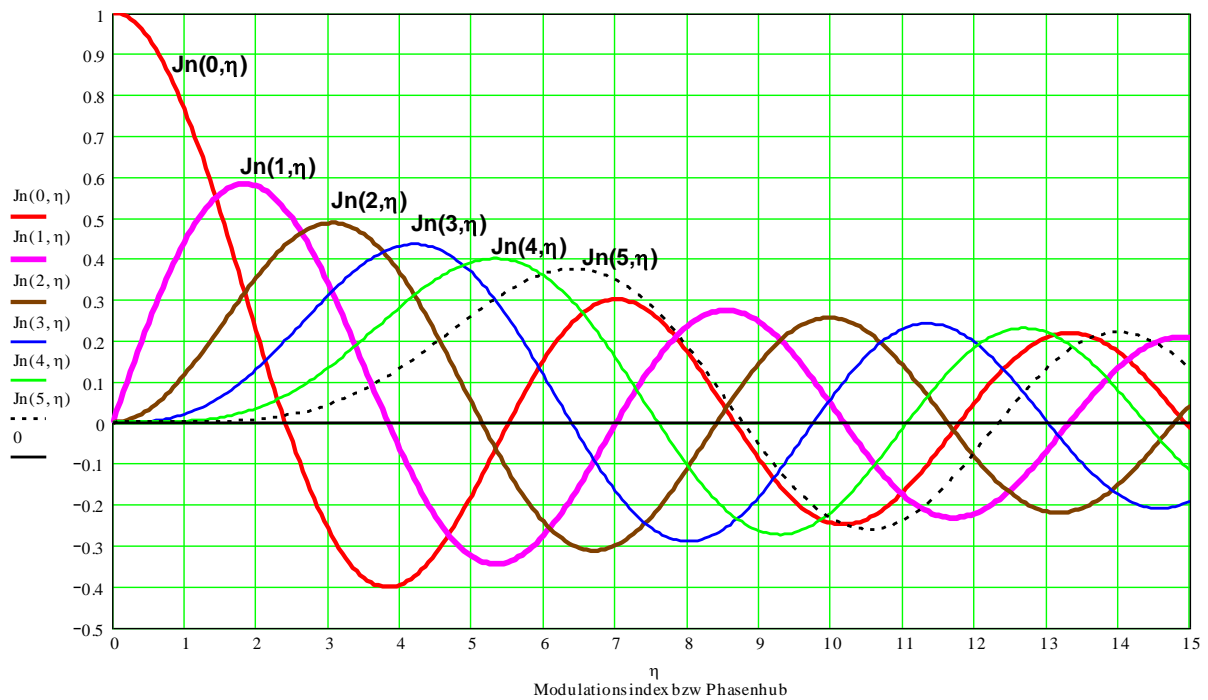
#### 4.4 Hyperbel- und Areafunktionen

$\sinh x =$	$\cosh x =$	$\tanh x =$	$\coth x =$
$\frac{e^x - e^{-x}}{2}$	$\frac{e^x + e^{-x}}{2}$	$\frac{e^x - e^{-x}}{e^x + e^{-x}} = \frac{e^{2x} - 1}{e^{2x} + 1}$	$\frac{e^x + e^{-x}}{e^x - e^{-x}} = \frac{e^{2x} + 1}{e^{2x} - 1}$
$\pm\sqrt{\cosh^2 x - 1}$	$\sqrt{\sinh^2 x + 1}$	$\frac{\sinh x}{\sqrt{\sinh^2 x + 1}}$	$\frac{\sqrt{\sinh^2 x + 1}}{\sinh x}$
$\frac{\tanh x}{\sqrt{1 - \tanh^2 x}}$	$\frac{1}{\sqrt{1 - \tanh^2 x}}$	$\pm \frac{\sqrt{\cosh^2 x - 1}}{\cosh x}$	$\pm \frac{\cosh x}{\sqrt{\cosh^2 x - 1}}$
$\pm \frac{1}{\sqrt{\coth^2 x - 1}}$	$\pm \frac{\coth x}{\sqrt{\coth^2 x - 1}}$	$\frac{1}{\coth x}$	$\frac{1}{\tanh x}$
		$\frac{\sinh x}{\cosh x}$	$\frac{\cosh x}{\sinh x}$
$\operatorname{sech} x =$	$\operatorname{csch} x =$		
$\frac{2}{e^x + e^{-x}} = \frac{1}{\cosh x}$	$\frac{2}{e^x - e^{-x}} = \frac{1}{\sinh x}$		

$\sinh jx = j \sin x$	$\sin jx = j \sinh x$
$\cosh jx = \cos x$	$\cos jx = \cosh x$
$\tanh jx = j \tan x$	$\tan jx = j \tanh x$
$\coth jx = -j \cot x$	$\cot jx = -j \coth x$

$\operatorname{ar} \sinh x = \ln(x + \sqrt{x^2 + 1})$	$\operatorname{arc} \cosh x = \ln(x + \sqrt{x^2 - 1})$
$\operatorname{ar} \tanh x = \frac{1}{2} \ln\left(\frac{1+x}{1-x}\right)$ für $ x  < 1$	$\operatorname{ar} \operatorname{sech} x = \ln\left(\frac{1 + \sqrt{1 - x^2}}{x}\right)$
$\operatorname{ar} \coth x = \frac{1}{2} \ln\left(\frac{x+1}{x-1}\right)$ für $ x  > 1$	$\operatorname{ar} \operatorname{csch} x = \ln\left(\frac{1 + \sqrt{1 + x^2}}{x}\right)$

### 4.5 Besselfunktionen $J_n(\eta)$ erster Art der Ordnung $n$



Die Besselfunktion  $J_n$  bestimmt die Amplituden der beiden Seitenfrequenzen im Abstand von  $+n \cdot f_m$  und  $-n \cdot f_m$  vom Träger.  $J_0$  führt zur Amplitude der Spektallinie auf  $f_c$ .

#### Nullstellen der Besselfunktionen

Jede Besselfunktion weist bei bestimmten Phasenhüben  $\Delta\Phi_c$  (bzw. Modulationsindex  $\eta$ ) Nullstellen auf. Diese können zum präzisen Bestimmen der Modulationsindex genutzt werden.

##### Nullstellen der Besselfunktionen erster Art

Besselordnung	Nullstellen			
	1	2	3	4
0	2.405	5.520	8.654	11.792
1	3.832	7.016	10.173	13.324
2	5.136	8.417	11.620	14.796
3	6.380	9.761	13.015	

- Besselordnung 0 = Träger
- Besselordnung 1 = 1. Seitenband-Spektrallinie
- Besselordnung 2 = 2. Seitenband-Spektrallinie
- etc.

Das Argument der Funktion entspricht dem Modulationsindex  $\eta = \frac{\Delta f}{f_m} = \frac{H}{f_m}$

H = Frequenzhub

## 5 Fourieranalyse und Fouriertransformation

### 5.1 Fourieranalyse, Fourier-Reihe

Für periodische Funktionen:

$$\begin{aligned} x(t) &= \frac{a_0}{2} + \sum_{n=1}^{\infty} [a_n \cos(n\omega_0 t) + b_n \sin(n\omega_0 t)] \\ &= \frac{a_0}{2} + a_1 \cos(\omega_0 t) + a_2 \cos(2\omega_0 t) + \dots + a_n \cos(n\omega_0 t) + b_1 \sin(\omega_0 t) + b_2 \sin(2\omega_0 t) + \dots + b_n \sin(n\omega_0 t) \end{aligned}$$

für  $x(t)$

$$a_0 = \frac{2}{T} \int_{(T)} x(t) dt$$

$$a_n = \frac{2}{T} \int_{(T)} x(t) \cos(n\omega_0 t) dt$$

$$b_n = \frac{2}{T} \int_{(T)} x(t) \sin(n\omega_0 t) dt$$

für  $x(\omega t)$

$$a_0 = \frac{1}{\pi} \int_{(2\pi)} x(\omega t) d(\omega t)$$

$$a_n = \frac{1}{\pi} \int_{(2\pi)} x(\omega t) \cos(n\omega_0 t) d(\omega t)$$

$$b_n = \frac{1}{\pi} \int_{(2\pi)} x(\omega t) \sin(n\omega_0 t) d(\omega t)$$

$(T), (2\pi)$ : Integration über ein beliebiges Periodenintervall der Länge  $T$ , resp.  $2\pi$

$$\omega_0 = 2\pi f_0 = \frac{2\pi}{T}$$

$$A_0 = \frac{a_0}{2}$$

DC – Anteil

$$A_n = \sqrt{a_n^2 + b_n^2}$$

Amplitude der n. Harmonischen

$$\varphi_n = \arctan \frac{a_n}{b_n}$$

Phase der n. Harmonischen ( $+\pi$  für  $b_n < 0$ )

$$\begin{aligned} x(t) &= A_0 + \sum_{n=1}^{\infty} [a_n \cos(n\omega_0 t) + b_n \sin(n\omega_0 t)] = A_0 + \sum_{n=1}^{\infty} A_n \sin(n\omega_0 t + \varphi_n) \\ &= A_0 + A_1 \sin(\omega_0 t + \varphi_1) + A_2 \sin(2\omega_0 t + \varphi_2) + \dots + A_n \sin(n\omega_0 t + \varphi_n) \end{aligned}$$

Gerade Funktionen  $x(t) = x(-t)$  (symmetrisch zur y-Achse):

$$a_0 = \frac{2}{T} \int_{(T)} x(t) dt = \frac{4}{T} \int_0^{T/2} x(t) dt$$

$$a_n = \frac{2}{T} \int_{(T)} x(t) \cos(n\omega_0 t) dt = \frac{4}{T} \int_0^{T/2} x(t) \cos(n\omega_0 t) dt$$

$$b_n = 0$$

Ungerade Funktionen  $x(t) = -x(-t)$  (punktsymmetrisch zum Ursprung)

$$a_0 = 0$$

$$a_n = 0$$

$$b_n = \frac{2}{T} \int_{(T)} x(t) \sin(n\omega_0 t) dt = \frac{4}{T} \int_0^{T/2} x(t) \sin(n\omega_0 t) dt$$

Komplexe Fourier-Reihe (Exponentialform):

$$x(t) = \sum_{n=-\infty}^{\infty} c_n e^{jn\omega_0 t}$$

$$c_n = \frac{1}{T} \int_{(T)} x(t) e^{-jn\omega_0 t} dt \quad c_{-n} = c_n^*$$

$$A_0 = c_0 \quad A_n = 2|c_n| \quad \varphi_n = \angle c_n$$

Die komplexen Fourierkoeffizienten können auch aus den reellen Koeffizienten berechnet werden (und umgekehrt):

$$c_n = \begin{cases} \frac{1}{2}(a_n - jb_n) & n > 0 \\ \frac{a_0}{2} & n = 0 \\ \frac{1}{2}(a_{-n} + jb_{-n}) & n < 0 \end{cases} \quad \begin{matrix} a_n = 2\text{Re}(c_n) & n \geq 0 \\ b_n = -2\text{Im}(c_n) & n > 0 \end{matrix}$$

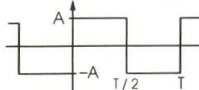
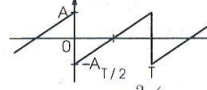
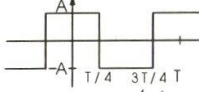

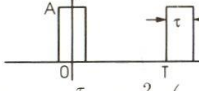
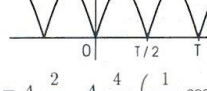
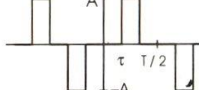
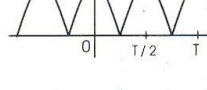
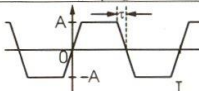
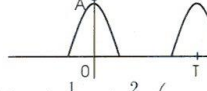
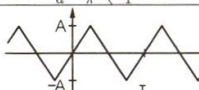
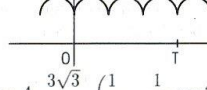
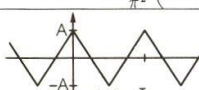
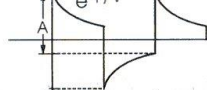
<p>(1)  antisymmetrische Rechteckfunktion, Tastgrad 0.5, gleichanteilmfrei</p> $f(t) = A \cdot \frac{4}{\pi} \left( \sin \omega t + \frac{1}{3} \sin 3\omega t + \frac{1}{5} \sin 5\omega t + \dots \right)$	<p>(8)  Sägezahnswingung, gleichanteilmfrei, Antisymmetrie</p> $f(t) = A \cdot \frac{2}{\pi} \left( \sin \omega t + \frac{1}{2} \sin 2\omega t + \frac{1}{3} \sin 3\omega t + \dots \right)$
<p>(2)  symmetrische Rechteckfunktion, Tastgrad 0.5, gleichanteilmfrei</p> $f(t) = A \cdot \frac{4}{\pi} \left( \cos \omega t - \frac{1}{3} \cos 3\omega t + \frac{1}{5} \cos 5\omega t - \dots \right)$	<p>(9)  Sägezahnswingung, gleichanteilmfrei, Antisymmetrie</p> $f(t) = A \cdot \frac{2}{\pi} \left( \sin \omega t - \frac{1}{2} \sin 2\omega t + \frac{1}{3} \sin 3\omega t - \dots \right)$
<p>(3)  Rechteckimpulse, Tastgrad tau/T</p> $f(t) = A \cdot \frac{\tau}{T} + A \cdot \frac{2}{\pi} \cdot \left( \sin \pi \frac{\tau}{T} \cdot \cos \omega t + \frac{1}{2} \sin \frac{2\tau}{T} \cdot \cos 2\omega t + \dots \right)$	<p>(10)  Sinusswingung nach Doppelweg-Gleichrichtung, Vollwellensymmetrie, T: Periode der Netzfrequenz.</p> $f(t) = A \cdot \frac{2}{\pi} - A \cdot \frac{4}{\pi} \cdot \left( \frac{1}{1 \cdot 3} \cos 2\omega t - \frac{1}{3 \cdot 5} \cos 4\omega t + \frac{1}{5 \cdot 7} \cos 6\omega t - \dots \right)$
<p>(4)  Bipolarer Rechteckimpuls, Halbwellensymmetrie, Hilfsgröße phi = 2pi*tau/T.</p> $f(t) = A \cdot \frac{4}{\pi} \left( \frac{\cos \varphi}{1} \sin \omega t + \frac{\cos 3\varphi}{3} \sin 3\omega t + \frac{\cos 5\varphi}{5} \sin 5\omega t + \dots \right)$	<p>(11)  Kosinusswingung nach Doppelweg-Gleichrichtung, Vollwellensymmetrie, T: Periode der Netzfrequenz.</p> $f(t) = A \cdot \frac{2}{\pi} - A \cdot \frac{4}{\pi} \cdot \left( \frac{1}{1 \cdot 3} \cos 2\omega t + \frac{1}{3 \cdot 5} \cos 4\omega t + \frac{1}{5 \cdot 7} \cos 6\omega t + \dots \right)$
<p>(5)  Trapezswingung, Anstiegszeit = Abfallzeit = tau. Hilfsgröße a = 2pi*tau/T.</p> $f(t) = \frac{A}{a} \cdot \frac{4}{\pi} \left( \frac{\sin a}{1^2} \sin \omega t + \frac{\sin 3a}{3^2} \sin 3\omega t + \frac{\sin 5a}{5^2} \sin 5\omega t + \dots \right)$	<p>(12)  Kosinusswingung nach Einweggleichrichtung</p> $f(t) = A \cdot \frac{1}{\pi} + A \cdot \frac{2}{\pi} \cdot \left( \pi \cos \omega t + \frac{1}{1 \cdot 3} \cos 2\omega t + \frac{1}{3 \cdot 5} \cos 4\omega t + \dots \right)$
<p>(6)  antisymmetrische Dreieckswingung mit Halbwellensymmetrie, gleichanteilmfrei</p> $f(t) = A \cdot \frac{8}{\pi^2} \left( \sin \omega t - \frac{1}{3^2} \sin 3\omega t + \frac{1}{5^2} \sin 5\omega t - \dots \right)$	<p>(13)  Gleichgerichteter Drehstrom, T: Periode der Netzfrequenz.</p> $f(t) = A \cdot \frac{3\sqrt{3}}{\pi} \cdot \left( \frac{1}{2} - \frac{1}{2 \cdot 4} \cos 3\omega t - \frac{1}{5 \cdot 7} \cos 6\omega t - \frac{1}{8 \cdot 10} \cos 9\omega t - \dots \right)$
<p>(7)  symmetrische Dreieckswingung mit Halbwellensymmetrie, gleichanteilmfrei</p> $f(t) = A \cdot \frac{8}{\pi^2} \left( \cos \omega t + \frac{1}{3^2} \cos 3\omega t + \frac{1}{5^2} \cos 5\omega t + \dots \right)$	<p>(14)  Rechteckswingung differenziert durch RC-Glied, Zeitkonstante tau. Hilfsgröße gamma = T/2pi*tau</p> $f(t) = A \cdot \frac{2}{\pi} \cdot \sum_{n=0}^{\infty} \frac{\gamma \cos((2n+1)\omega t) + (2n+1) \sin((2n+1)\omega t)}{\gamma^2 + (2n+1)^2}$

Tabelle einiger Funktionen aus „Taschenbuch der Elektrotechnik, Kories/Schmidt-Walter“

## 5.2 Fourier-Transformation

Für **nicht** periodische Funktionen:

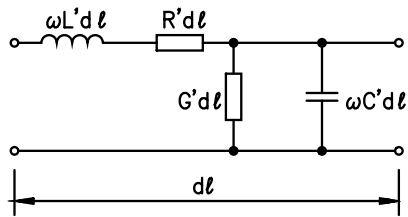
$$X(f) = \int_{-\infty}^{+\infty} x(t) e^{-j2\pi ft} dt$$

$$x(t) = \int_{-\infty}^{+\infty} X(f) e^{j2\pi ft} df$$

$$x(t) \quad \circ \text{---} \bullet \quad X(f)$$

## 6 LEITUNGEN

### 6.1 Leitungskenngrößen



Induktionsbelag  $L'$  (H/m)

$$c_0 = 3 \cdot 10^8 \text{ m/s}$$

$$L' = \frac{Z_0 \sqrt{\epsilon_r}}{c_0}$$

Kapazitätsbelag  $C'$  (F/m)

$$C' = \frac{\sqrt{\epsilon_r}}{c_0 Z_0}$$

Übertragungsbelag

$$\gamma = \alpha + j\beta = \sqrt{(R' + j\omega L')(G' + j\omega C')} = \sqrt{Z' Y'}$$

Dämpfungsbelag  $\alpha$  (Np/m)

$$1 \text{ Np} = 8.686 \text{ dB}$$

$$\alpha = \frac{R'}{2Z_0} + \frac{G' Z_0}{2}$$

Phasenbelag  $\beta$  (Rad/Längeneinheit)

$$\beta = \omega \sqrt{L' C'} = \frac{2\pi}{\lambda} = \frac{\omega}{v}$$

Wellenwiderstand  $Z_0$  ( $\Omega$ )

$$Z_0 = \sqrt{\frac{R' + j\omega L'}{G' + j\omega C'}} = R_L + jX_L = \sqrt{\frac{Z'}{Y'}}$$

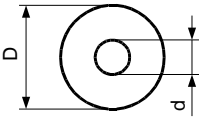
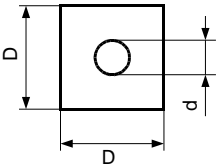
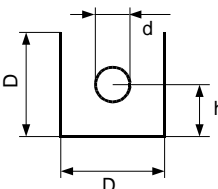
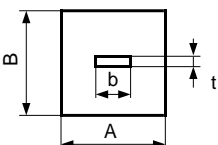
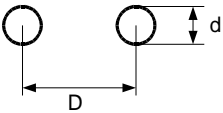
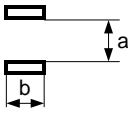
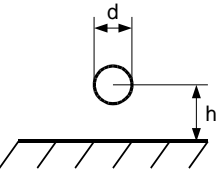
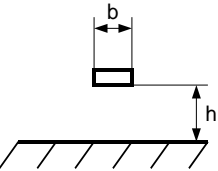
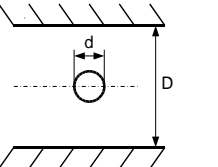
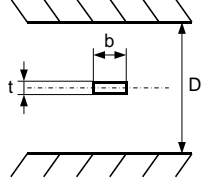
$$Z_0 = \frac{U_h}{I_h} = -\frac{U_r}{I_r}$$

Frequenzabhängigkeit der Leitungsbeläge

$$Z_0 = \sqrt{\frac{R' + j\omega L'}{G' + j\omega C'}} = \sqrt{\frac{L'}{C'}} \sqrt{\frac{1 - j \frac{R'}{\omega L'}}{1 - j \frac{G'}{\omega C'}}$$

$$f > 10 \text{ kHz} \quad Z_0 \approx \sqrt{\frac{L'}{C'}}$$

## 6.2 Verschieden HF-Leitungen

	$Z_0 = \frac{60 \Omega}{\sqrt{\epsilon_r}} \ln \frac{D}{d}$
	$Z_0 = \frac{60 \Omega}{\sqrt{\epsilon_r}} \ln \left( 1.078 \frac{D}{d} \right) \quad d/D < 0.8$
	$Z_0 = \frac{60 \Omega}{\sqrt{\epsilon_r}} \ln \left( \frac{4d \cdot \tanh \left( \frac{\pi h}{D} \right)}{\pi d} \right) \quad d \ll h \quad d \ll D$
	$Z_0 = \frac{60 \Omega}{\sqrt{\epsilon_r}} \ln \frac{A+B}{b+t}$
	$Z_0 = \frac{120 \Omega}{\sqrt{\epsilon_r}} \ln \left( \frac{D}{d} + \sqrt{\left( \frac{D}{d} \right)^2 - 1} \right)$
	$Z_0 = \frac{377 \Omega}{\sqrt{\epsilon_r}} \frac{a}{b} \quad a < b$ $Z_0 = \frac{120 \Omega}{\sqrt{\epsilon_r}} \ln \frac{4a}{b} \quad a > b$
	$Z_0 = \frac{60 \Omega}{\sqrt{\epsilon_r}} \ln \left( \frac{2h}{d} + \sqrt{\left( \frac{2h}{d} \right)^2 - 1} \right)$ $Z_0 = \frac{60 \Omega}{\sqrt{\epsilon_r}} \ln \frac{4h}{d} \quad d \ll h$
	$Z_0 = \frac{377 \Omega}{\sqrt{\epsilon_r}} \frac{h}{b} \quad h < b$ $Z_0 = \frac{60 \Omega}{\sqrt{\epsilon_r}} \ln \frac{8h}{b} \quad h > b$
	$Z_0 = \frac{60 \Omega}{\sqrt{\epsilon_r}} \ln \frac{4D}{\pi d} \quad d/D < 0.75$
	$Z_0 = \frac{60 \Omega}{\sqrt{\epsilon_r}} \ln \left( \frac{\frac{8}{\pi}}{\frac{b}{D} + 1.4 \frac{t}{D}} \right) \quad t \leq 0.25D \quad b \leq 0.35(D-t)$

### 6.3 Spannungs- und Stromverteilung auf der Leitung

$$U_1 = U_2 \cosh \gamma \ell + I_2 Z_0 \sinh \gamma \ell$$

$$I_1 = I_2 \cosh \gamma \ell + \frac{U_2}{Z_0} \sinh \gamma \ell$$

$$U_1 = U_z \cosh \gamma z + I_z Z_0 \sinh \gamma z$$

$$I_1 = I_z \cosh \gamma z + \frac{U_z}{Z_0} \sinh \gamma z$$

$$\gamma \ell = \alpha \ell + j\beta \ell = \alpha \ell + j \frac{2\pi}{\lambda} \cdot \ell$$

$$U(z) = U_{1h} e^{-\alpha z} e^{-j \frac{2\pi z}{\lambda}} + U_{1r} e^{\alpha z} e^{j \frac{2\pi z}{\lambda}}$$

$$I(z) = \frac{U_{1h}}{Z_0} e^{-\alpha z} e^{-j \frac{2\pi z}{\lambda}} - \frac{U_{1r}}{Z_0} e^{\alpha z} e^{j \frac{2\pi z}{\lambda}}$$

$$\frac{U_1}{U_2} = \left(1 + \frac{Z_0}{Z_2}\right) \frac{e^{\gamma \ell}}{2} + \left(1 - \frac{Z_0}{Z_2}\right) \frac{e^{-\gamma \ell}}{2}$$

$$\frac{I_1}{I_2} = \left(1 + \frac{Z_2}{Z_0}\right) \frac{e^{\gamma \ell}}{2} + \left(1 - \frac{Z_2}{Z_0}\right) \frac{e^{-\gamma \ell}}{2}$$

Für  $Z_2 = Z_0$  verschwindet die reflektierte Welle (ideale Anpassung).

In diesem Fall bleibt

$$\frac{U_1}{U_2} = e^{\gamma \ell} \quad \frac{I_1}{I_2} = e^{\gamma \ell} \quad \frac{U_1}{I_1} = \frac{U_2}{I_2} = Z_0$$

### 6.4 Eingangswiderstand und Reflexionsfaktor

$$Z_2 = \frac{U_2}{I_2} = Z_0 \frac{U_{2h} + U_{2r}}{U_{2h} - U_{2r}} = Z_0 \frac{1 + \frac{U_{2r}}{U_{2h}}}{1 - \frac{U_{2r}}{U_{2h}}} = Z_0 \frac{1 + r_2}{1 - r_2}$$

$$r_2 = \frac{Z_2 - Z_0}{Z_2 + Z_0}$$

$$r_1 = |r_2| e^{-2\alpha \ell} e^{-j \frac{4\pi \ell}{\lambda}} e^{j\varphi} = |r_2| e^{-2\alpha \ell} e^{j\left(\varphi - \frac{4\pi \ell}{\lambda}\right)} \quad \text{Winkel in Rad}$$



$$r_1 = |r_2| e^{-2\alpha \ell} \angle \varphi - \frac{720^\circ \cdot \ell}{\lambda} \quad \text{Winkel in Grad}$$

$$\alpha = \frac{\text{Np}}{\text{Längeneinheit}} \quad 1 \text{ Np} = 8.686 \text{ dB} \quad 1 \text{ dB} = 0.1151 \text{ Np}$$

$$Z_1 = Z_o \frac{Z_2 + Z_o \tanh \gamma \ell}{Z_o + Z_2 \tanh \gamma \ell}$$

#### 6.4.1 Zusammenhänge der verschiedenen Reflexionsgrößen

$$r = \frac{U_r}{U_h} = -\frac{I_r}{I_h} = \frac{Z_2 - Z_o}{Z_2 + Z_o} = |r| \angle \varphi \quad |r| = \frac{s-1}{s+1} = \frac{1-m}{1+m} = 10^{\frac{\text{RL}}{20}} = \frac{|Z_2 - Z_o|}{|Z_2 + Z_o|}$$

$$r \text{ [dB]} = -20 \cdot \log \frac{1}{|r|}$$

$$s = \text{VSWR} = \frac{|U_{\max}|}{|U_{\min}|} = \frac{|I_{\max}|}{|I_{\min}|} = \frac{|U_h + U_r|}{|U_h - U_r|} = \frac{1}{m} = \frac{1+|r|}{1-|r|} = \frac{1+10^{\frac{\text{RL}}{20}}}{1-10^{\frac{\text{RL}}{20}}} = \frac{|Z_o|}{|Z_2|} \Big|_{Z_2 < Z_o} = \frac{|Z_2|}{|Z_o|} \Big|_{Z_2 > Z_o}$$

$$s \text{ [dB]} = 20 \cdot \log s$$

$$m = \frac{|U_{\min}|}{|U_{\max}|} = \frac{|I_{\min}|}{|I_{\max}|} = \frac{|U_h - U_r|}{|U_h + U_r|} = \frac{1}{s}$$

$$\text{RL} = 10 \cdot \log \frac{P_h}{P_r} = -20 \cdot \log |r| = -20 \cdot \log \frac{s-1}{s+1} = -20 \cdot \log \frac{1-m}{1+m} = -20 \cdot \log \frac{|Z_2 - Z_o|}{|Z_2 + Z_o|}$$

RL [dB]	r	VSWR	RL [dB]	r	VSWR
1	0.891	17.39	21	0.089	1.196
2	0.794	8.72	22	0.079	1.173
3	0.708	5.85	23	0.071	1.152
4	0.631	4.42	24	0.063	1.135
5	0.562	3.57	25	0.056	1.119
6	0.501	3.01	26	0.050	1.106
7	0.447	2.61	27	0.045	1.094
8	0.398	2.32	28	0.040	1.083
9	0.355	2.10	29	0.035	1.074
10	0.316	1.92	30	0.032	1.065
11	0.282	1.78	31	0.028	1.058
12	0.251	1.67	32	0.025	1.052
13	0.224	1.58	33	0.022	1.046
14	0.200	1.50	34	0.020	1.041
15	0.178	1.43	35	0.018	1.036
16	0.158	1.38	38	0.013	1.025
17	0.141	1.33	40	0.010	1.020
18	0.126	1.29	46	0.005	1.010
19	0.112	1.25	50	0.003	1.006
20	0.100	1.22			

## 6.5 Verlustlose Leitungen

$$U_1 = \frac{U_2 + Z_0 I_2}{2} e^{j\frac{2\pi\ell}{\lambda}} + \frac{U_2 - Z_0 I_2}{2} e^{-j\frac{2\pi\ell}{\lambda}}$$

$$I_1 = \frac{U_2 + Z_0 I_2}{2Z_0} e^{j\frac{2\pi\ell}{\lambda}} - \frac{U_2 - Z_0 I_2}{2Z_0} e^{-j\frac{2\pi\ell}{\lambda}}$$

$$U_1 = U_2 \cos \frac{2\pi\ell}{\lambda} + jZ_0 I_2 \sin \frac{2\pi\ell}{\lambda}$$

$$I_1 = I_2 \cos \frac{2\pi\ell}{\lambda} + j \frac{U_2}{Z_0} \sin \frac{2\pi\ell}{\lambda}$$

### 6.5.1 Eingangswiderstand und Reflexionsfaktor

$$Z_1 = Z_0 \frac{Z_2 + jZ_0 \tan \frac{2\pi\ell}{\lambda}}{Z_0 + jZ_2 \tan \frac{2\pi\ell}{\lambda}}$$

$$Z_2 = 0 \quad (\text{Kurzschluss}) \quad Z_{10} = jZ_0 \tan \frac{2\pi\ell}{\lambda}$$

Daraus folgt:

$$Z_1 \quad \text{ist induktiv für } 0 < \ell < \frac{\lambda}{4}$$

$$Z_1 \quad \text{ist } \infty \text{ für } \ell = \frac{\lambda}{4}$$

$$Z_1 \quad \text{ist kapazitiv für } \frac{\lambda}{4} < \ell < \frac{\lambda}{2}$$

$$Z_1 \quad \text{ist } 0 \text{ für } \ell = \frac{\lambda}{2}$$

$$Z_2 = \infty \quad (\text{Leerlauf}) \quad Z_{1\infty} = -jZ_0 \cot \frac{2\pi\ell}{\lambda}$$

Daraus folgt:

$$Z_1 \quad \text{ist kapazitiv für } 0 < \ell < \frac{\lambda}{4}$$

$$Z_1 \quad \text{ist } 0 \text{ für } \ell = \frac{\lambda}{4}$$

$$Z_1 \quad \text{ist induktiv für } \frac{\lambda}{4} < \ell < \frac{\lambda}{2}$$

$$Z_1 \quad \text{ist } \infty \text{ für } \ell = \frac{\lambda}{2}$$

$Z_{10}$  = Eingangsimpedanz bei  $Z_2 = 0$

$Z_{1\infty}$  = Eingangsimpedanz bei  $Z_2 = \infty$

$$Z_{10} = jZ_o \tan \beta \ell \quad \beta = \frac{2\pi}{\lambda}$$

$$Z_{1\infty} = -jZ_o \cot \beta \ell$$

$$Z_{10} \cdot Z_{1\infty} = j \cdot (-j) Z_o^2 \tan \beta \ell \cdot \cot \beta \ell = Z_o^2$$

$$Z_o = \sqrt{Z_{10} \cdot Z_{1\infty}} \quad \beta \ell = \tan^{-1} \sqrt{\frac{Z_{10}}{Z_{1\infty}}}$$

$$\ell = \frac{\lambda}{4} \quad Z_1 = \frac{Z_o^2}{Z_2}$$

$$\ell = \frac{\lambda}{2} \quad Z_1 = Z_2$$

$$\alpha \ell = 0$$

$$r_1 = r_2 e^{-j\frac{4\pi\ell}{\lambda}}$$

$$r_1 = |r_2| e^{j\varphi} e^{-j\frac{4\pi\ell}{\lambda}} = |r_2| e^{j\left(\varphi - \frac{4\pi\ell}{\lambda}\right)}$$

$$|r_1| = |r_2| = \frac{1-m}{1+m} = \frac{s-1}{s+1}$$

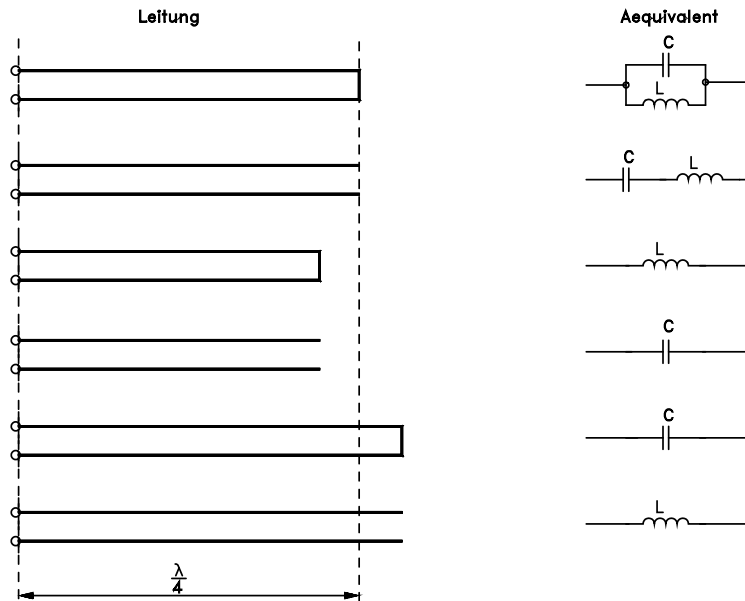
## 6.6 Ausbreitungsgeschwindigkeit

$$v_d = \frac{c_o}{\sqrt{\epsilon_r}}$$

$$v_r = \frac{1}{\sqrt{\epsilon_r}}$$

$$\ell_{\text{mech}} = \frac{\ell_{\text{el}}}{\sqrt{\epsilon_r}} = \ell_{\text{el}} v_r$$

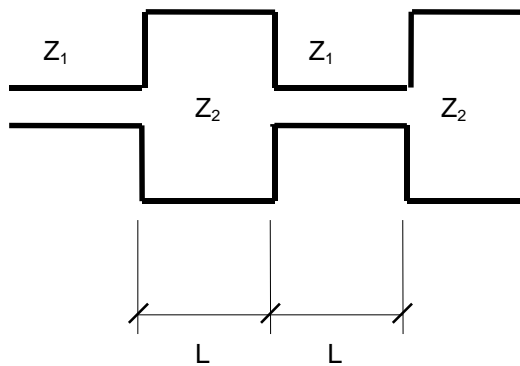
### 6.7 Leitungen als Schaltungsbauteile



### 6.8 $\lambda/4$ -Transformator

$$Z_1 = \frac{Z_0^2}{Z_2}$$

### 6.9 Nonsynchronous-Transformer



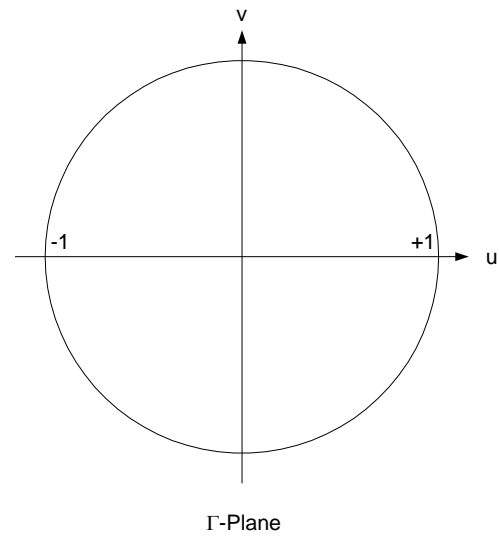
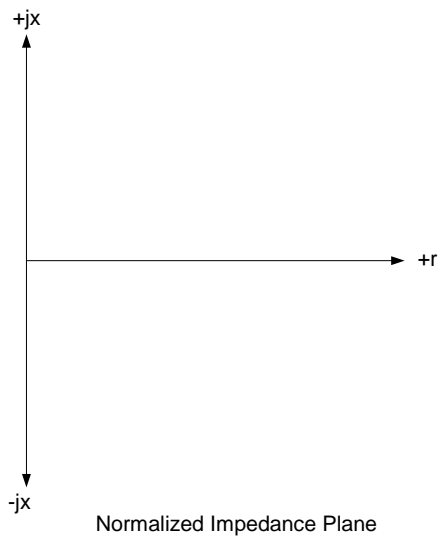
$L$  = Leitungslänge einer Sektion

$$R = Z_1 / Z_2$$

$$L = \frac{\lambda}{2\pi\sqrt{\epsilon_r}} \operatorname{atan} \left( \frac{1}{\sqrt{R + \frac{1}{R} + 1}} \right)$$

## 6.10 Smith-Diagramm

### 6.10.1 Smith Chart Equations

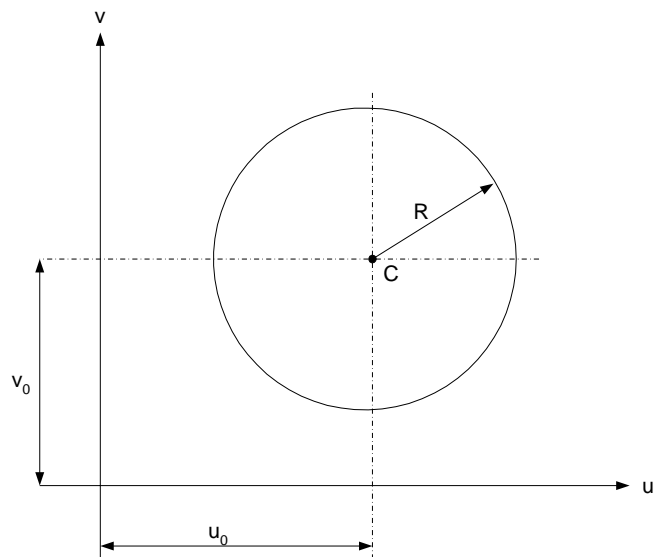


$$z = r + jx = \frac{Z}{Z_0} = \frac{R}{Z_0} + j \frac{X}{Z_0}$$

$$\Gamma = u + jv = \frac{Z - Z_0}{Z + Z_0} = \frac{r + jx - 1}{r + jx + 1}$$

$$Z_0 = \text{real}$$

General circle equation:



$$(u - u_0)^2 + (v - v_0)^2 = R^2$$

Using  $\Gamma = u + jv = \frac{Z - Z_0}{Z + Z_0} = \frac{r + jx - 1}{r + jx + 1}$  after some algebraic manipulation we get circles for  $\text{Re}(z)$

and  $\text{Im}(z)$ :

Real part of  $z$ :

$$C_{\text{Re}(z)} = u_0; v_0 = \frac{r}{r+1}; 0$$

$$R_{\text{Re}(z)} = \frac{1}{r+1}$$

Imaginary part of  $z$ :

$$C_{\text{Im}(z)} = u_0; v_0 = 1; \frac{1}{x}$$

$$R_{\text{Im}(z)} = \frac{1}{x}$$

### Q-Circles

$$Q = \left| \frac{x}{r} \right| = \left| \frac{+x}{r} \right| = \left| \frac{-x}{r} \right|$$

$$C_Q = u_0; v_0 = 0; \pm \frac{1}{Q}$$

$$R_Q = \sqrt{1 + \frac{1}{Q^2}}$$

### VSWR-Circles

$$|\Gamma| = \frac{\text{VSWR} - 1}{\text{VSWR} + 1}$$

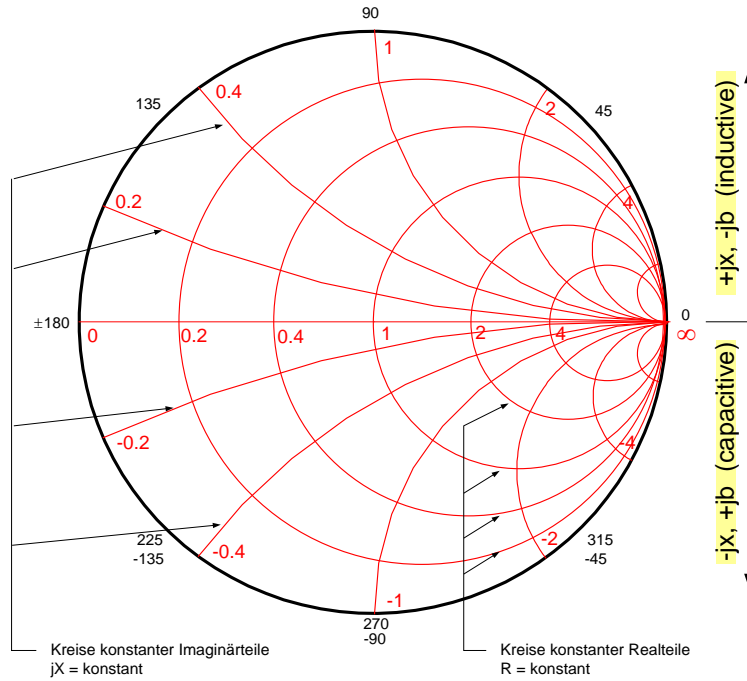
$$C_{\text{VSWR}} = u_0; v_0 = 0; 0$$

$$R_{\text{VSWR}} = \frac{\text{VSWR} - 1}{\text{VSWR} + 1}$$

### 6.10.2 Smith-Chart

#### Impedanzebene

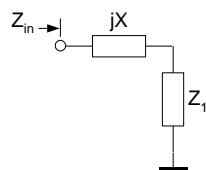
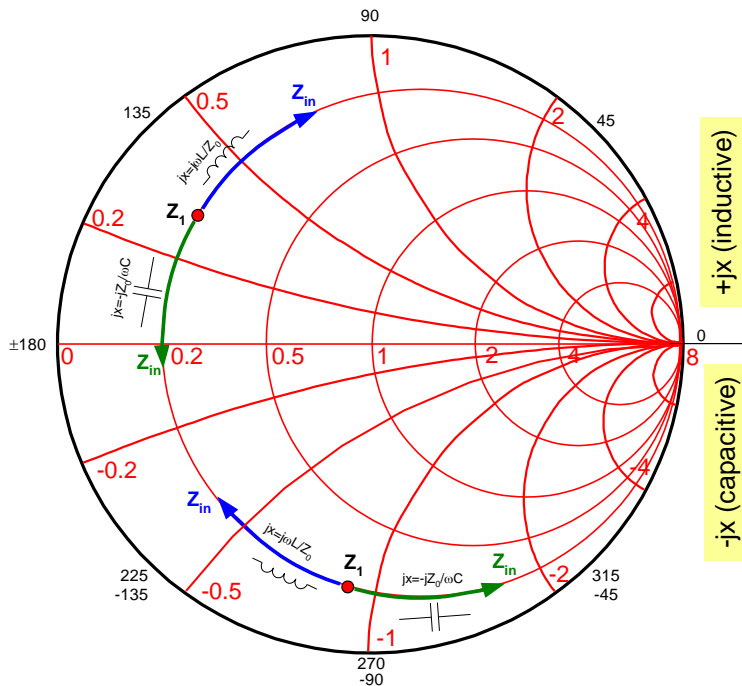
$$Z = R \pm jX$$



#### Impedanzebene

$$Z = R \pm jX$$

Serie L oder C



$$Z_1 = R_1 + jX_1$$

$$Z_{in} = R + j(X_1 \pm X)$$

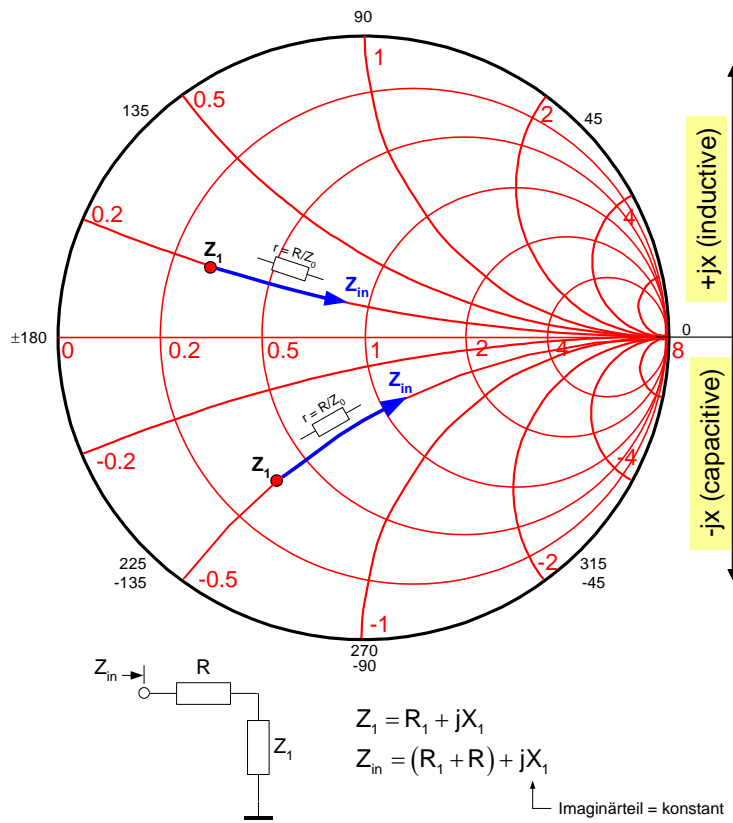
↑  
Realteil = konstant



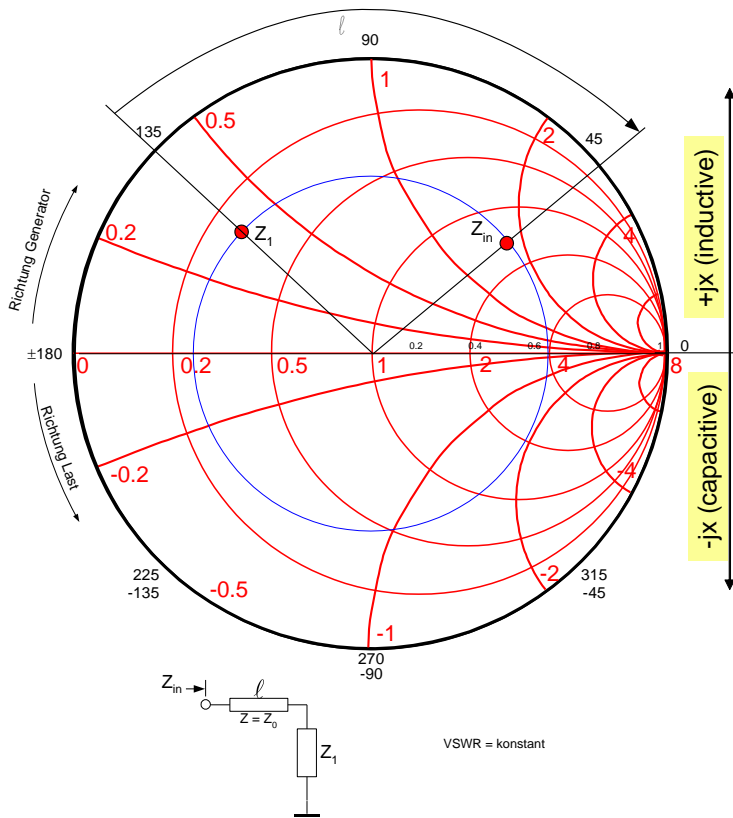
**Impedanzebene**

$Z = R \pm jX$

Serie R



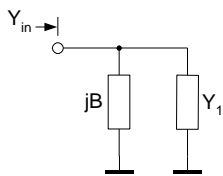
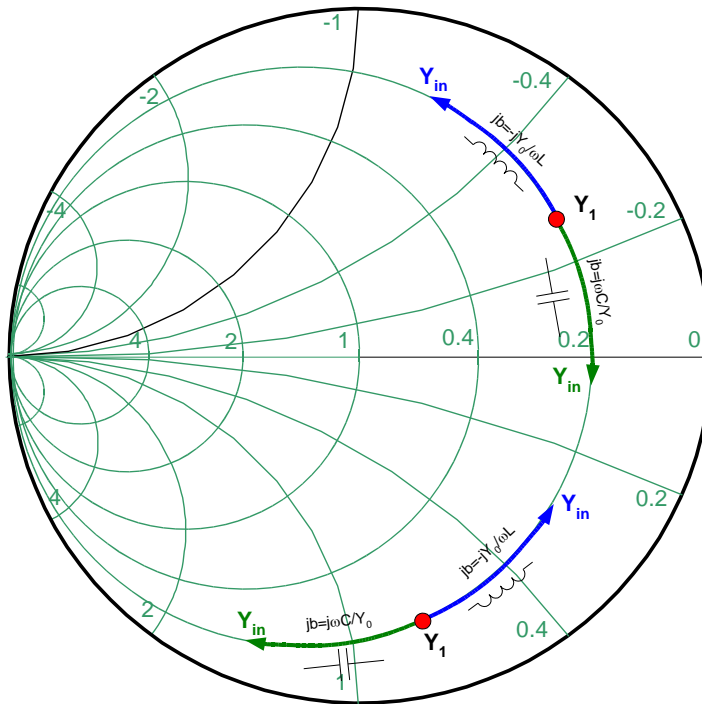
**Verlustlose Serieleitung**



**Admittanzebene**

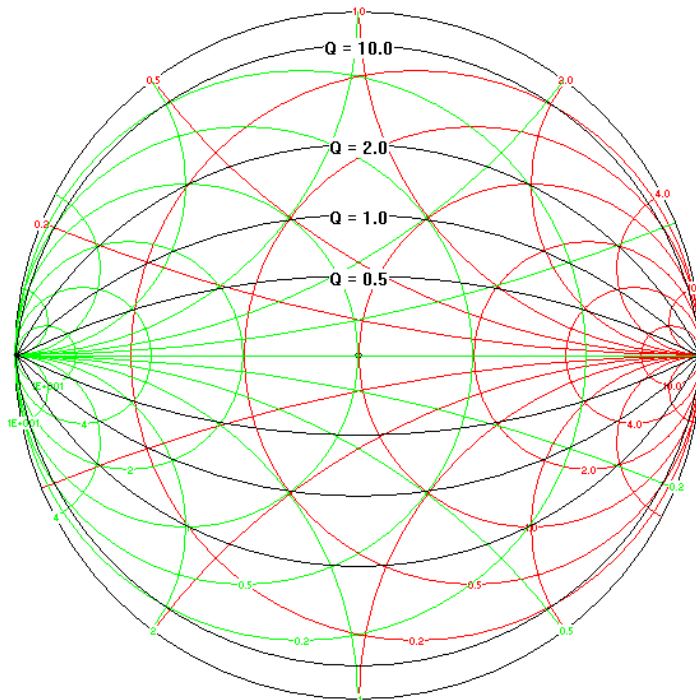
$Y = G \pm jB$

Parallel L oder C



$Y_1 = G_1 + jB_1$   
 $Y_{in} = G + j(B_1 \pm B)$   
 ↑ Realteil = konstant

**Konstant-Q-Kreise**

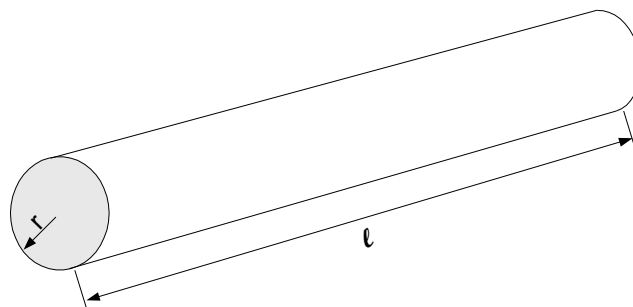


## 7 Stromverdrängung, Skin-Effekt

Fliesst ein Wechselstrom durch einen Leiter, so ist der gesamte Raum innerhalb und ausserhalb des Leiters mit einem magnetischen Wechselfeld erfüllt, das wiederum Spannungen im Leiter induziert. Die dadurch hervorgerufenen Ströme überlagern sich dem induzierenden Strom so, dass die Stromdichte im Leiter an dessen Oberfläche am grössten ist. Diese Erscheinung bezeichnet man als Stromverdrängung oder **Skin-Effekt**.

**Die Abnahme des Stromes nach dem Leiterzentrum verläuft nach einer e-Funktion.**

Bei hohen Frequenzen berechnet man den Wirkwiderstand  $R_w$  eines runden Leiters mit dem Radius  $r$  mit der Näherungsgleichung:



$$R_w \approx \frac{l}{2\pi r \gamma} \sqrt{\pi f \gamma \mu_0 \mu_r}$$

$R_w$  = Wirkwiderstand des Leiters

$l$  = Länge des Leiters

$r$  = Radius des Leiters

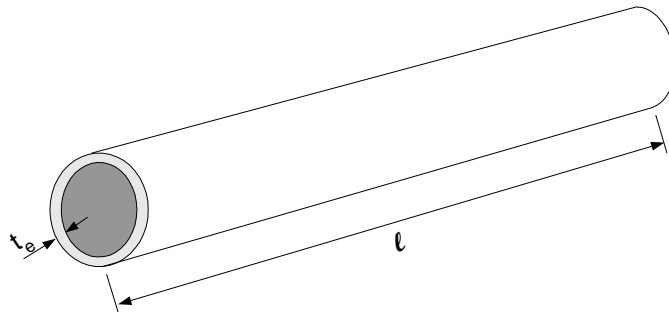
$f$  = Frequenz

$\gamma$  = Leitfähigkeit =  $\frac{1}{\rho}$

$\mu_0$  = Induktionskonstante =  $1.2566 \cdot 10^{-6}$  H/m =  $1.2566 \cdot 10^{-6}$  Vs/Am

$\mu_r$  = Permeabilitätszahl (Nichtmagnetisch = 1)

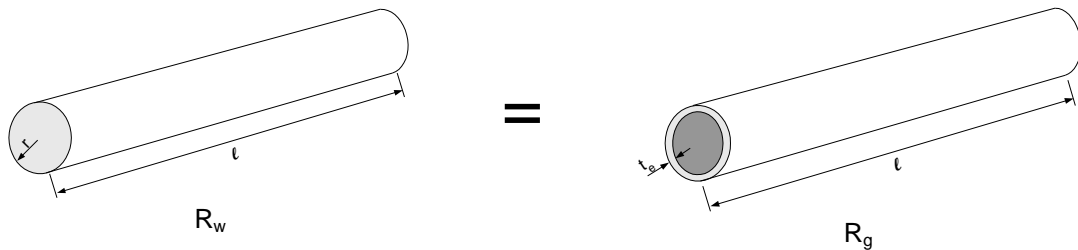
Der Widerstand  $R_w$  ist gleich dem Gleichstromwiderstand  $R_g$  eines hohlen Leiters mit dem Aussenradius  $r$  und der Ringdicke  $t_e$ .



Für  $t_e \ll r$  gilt:

$$R_g = \frac{l}{2\pi r t_e \gamma}$$

Durch gleichsetzen von  $R_w$  und  $R_g$  erhält man die Leitschichtdicke, oder Eindringtiefe  $t_e$ :



$$t_e = \frac{1}{\sqrt{\pi f \gamma \mu_0 \mu_r}}$$

Im Abstand  $t_e$  von der Leiteroberfläche ist der Strom auf das  $1/e$ -fache (37%) abgesunken, im Abstand von  $5 \cdot t_e$  auf  $<1\%$ .

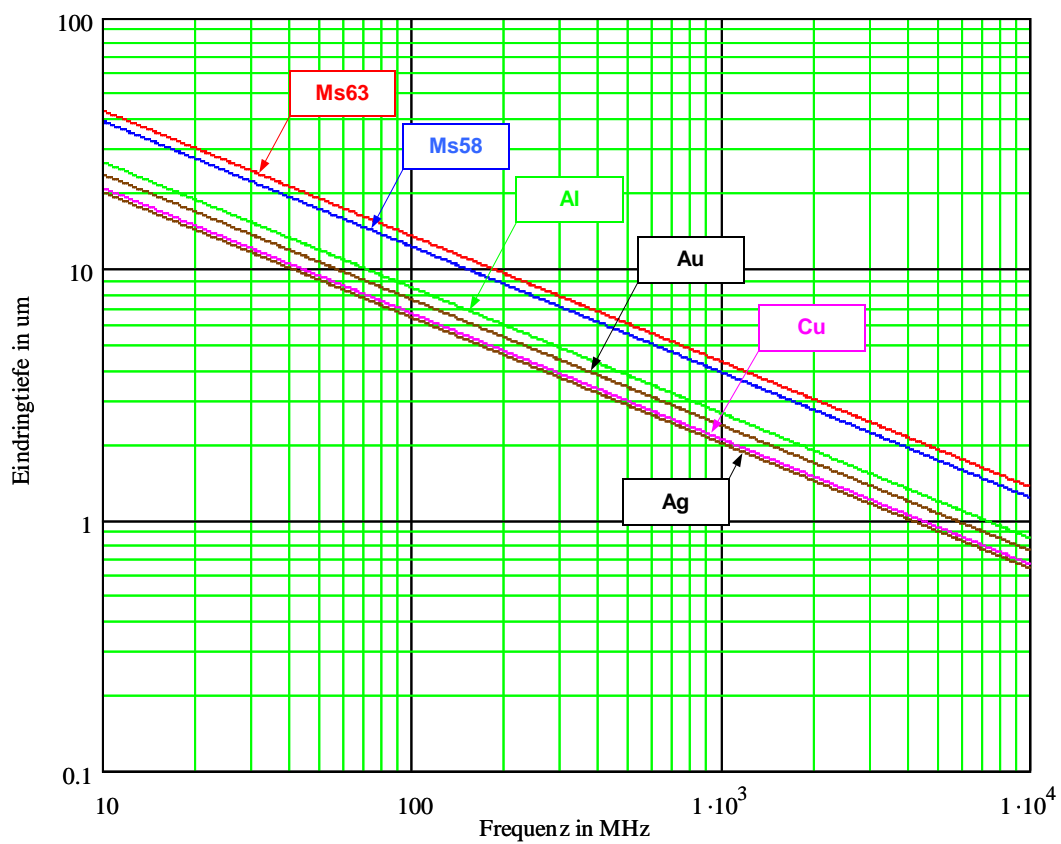
Für **Kupfer** mit  $\gamma = 58 \cdot 10^6 \text{ Sm/m}^2$  erhält man die Zahlenwertformel:

$$t_e = \frac{0.06609}{\sqrt{f}} \quad [\text{mm}]$$

f in MHz

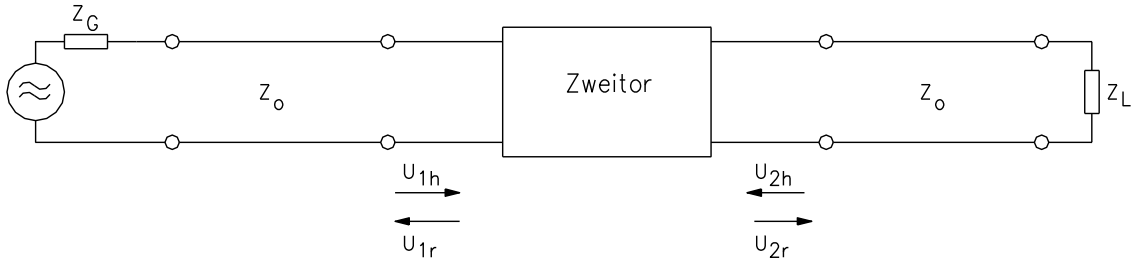
Material	Leitfähigkeit $\gamma$ in $\text{Sm/m}^2$
Ag	$62.5 \cdot 10^6$
Au	$45 \cdot 10^6$
Al	$36 \cdot 10^6$
Cu	$58 \cdot 10^6$
Ms58	$17 \cdot 10^6$
Ms63	$14 \cdot 10^6$

Eindringtiefen in Silber, Kupfer, Gold, Aluminium und Messing:



## 8 S-Parameter

(Streuparameter, Scattering-Parameter)



$$U_1 = U_{1h} + U_{1r} \quad U_2 = U_{2h} + U_{2r}$$

$$I_1 = \frac{U_{1h} - U_{1r}}{Z_0} \quad I_2 = \frac{U_{2h} - U_{2r}}{Z_0}$$

$$U_{1r} = S_{11}U_{1h} + S_{12}U_{2h}$$

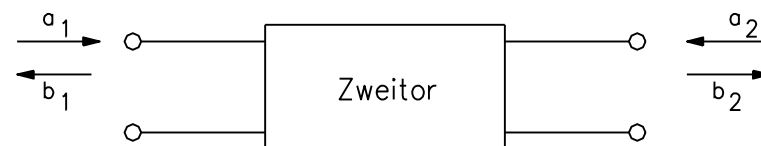
$$U_{2r} = S_{21}U_{1h} + S_{22}U_{2h}$$

Nach Division beider Seiten der Gleichungen durch  $\sqrt{Z_0}$  erhält man die neuen Variablen :

$$a_1 = \frac{U_{1h}}{\sqrt{Z_0}} \quad a_2 = \frac{U_{2h}}{\sqrt{Z_0}}$$

$$b_1 = \frac{U_{1r}}{\sqrt{Z_0}} \quad b_2 = \frac{U_{2r}}{\sqrt{Z_0}}$$

Die Gleichungen zur Beschreibung des Zweitors lauten damit:



$$b_1 = S_{11}a_1 + S_{12}a_2$$

$$b_2 = S_{21}a_1 + S_{22}a_2$$

N4.4

oder in allgemeiner Matrizenschreibweise:

$$\begin{bmatrix} b_1 \\ b_2 \end{bmatrix} = \begin{bmatrix} S_{11} & S_{12} \\ S_{21} & S_{22} \end{bmatrix} \begin{bmatrix} a_1 \\ a_2 \end{bmatrix}$$

N4.5

Die Betragsquadrate dieser Variablen bedeuten:

$|a_1|^2$  = am Eingang des Zweitors einfallende Leistung

$|b_1|^2$  = am Eingang des Zweitors reflektierte Leistung

$|a_2|^2$  = am Ausgang des Zweitors einfallende Leistung

$|b_2|^2$  = am Ausgang des Zweitors austretende Leistung

Die physikalische Deutung der s-Parameter ergibt:

**$S_{11}$  = Eingangsreflexionsfaktor bei angepasstem Ausgang**

**$S_{12}$  = Rückwärtsübertragungsfaktor bei angepasstem Eingang**

**$S_{21}$  = Vorwärtsübertragungsfaktor bei angepasstem Ausgang**

**$S_{22}$  = Ausgangsreflexionsfaktor bei angepasstem Eingang**

$$|S_{11}|^2 = \frac{\text{Leistung reflektiert an Tor 1}}{\text{Leistung einfallend an Tor 1}} = |r_1|^2$$

$$|S_{12}|^2 = \frac{\text{Leistung geliefert an eine Last } Z_o \text{ an Tor 1}}{\text{Leistung verfügbar von einer Quelle mit } Z_G = Z_o \text{ an Tor 2}}$$

= Rückwärtsleistungsübertragungsverhältnis bei  $Z_G = Z_L = Z_o$

$$|S_{21}|^2 = \frac{\text{Leistung geliefert an eine Last } Z_o \text{ an Tor 2}}{\text{Von der Quelle mit } Z_G = Z_o \text{ an Tor 1 verfügbare Leistung}}$$

= Leistungsübertragungsverhältnis bei  $Z_G = Z_L = Z_o$

$$|S_{22}|^2 = \frac{\text{Leistung reflektiert an Tor 2}}{\text{Leistung einfallend an Tor 2}} = |r_2|^2$$

$$10 \log |S_{11}|^2 = 20 \log |S_{11}| = \text{Reflexionsdämpfung (Returnloss) am Eingang}$$

$$10 \log |S_{12}|^2 = 20 \log |S_{12}| = \text{Einfügungsdämpfung rückwärts}$$

$$10 \log |S_{21}|^2 = 20 \log |S_{21}| = \text{Einfügungsdämpfung vorwärts}$$

$$10 \log |S_{22}|^2 = 20 \log |S_{22}| = \text{Reflexionsdämpfung (Returnloss) am Ausgang}$$

Die S-Parameter können somit bestimmt werden mit

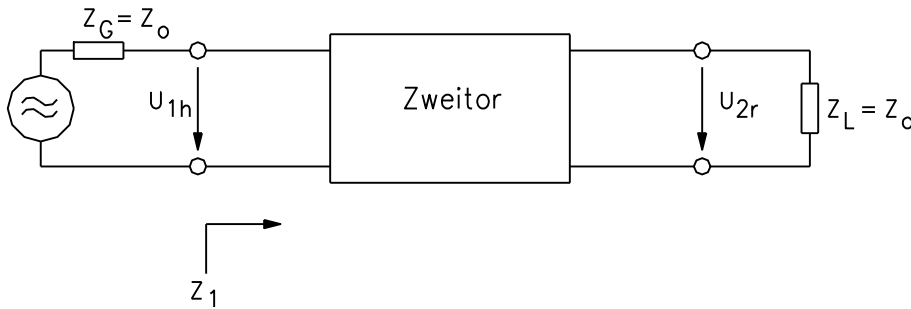
$$S_{11} = \left. \frac{b_1}{a_1} \right|_{a_2=0} = \left. \frac{U_{1r} / \sqrt{Z_o}}{U_{1h} / \sqrt{Z_o}} \right|_{a_2=0} = \left. \frac{U_{1r}}{U_{1h}} \right|_{a_2=0} = r_1|_{Z_L=Z_o} = \left. \frac{Z_1 - Z_o}{Z_1 + Z_o} \right|_{Z_L=Z_o}$$

$$S_{12} = \left. \frac{b_1}{a_2} \right|_{a_1=0} = \left. \frac{U_{1r}}{U_{2h}} \right|_{a_1=0}$$

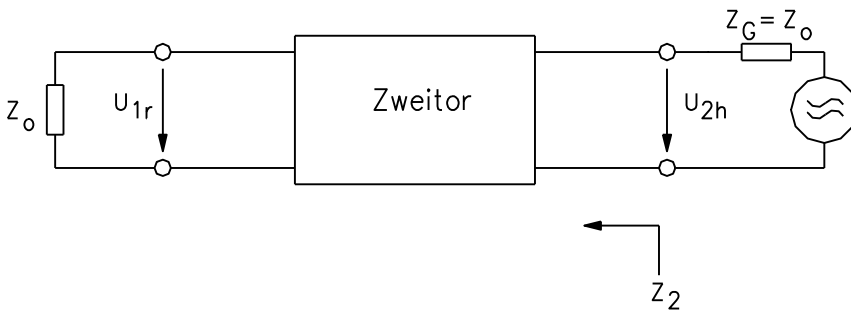


$$S_{21} = \left. \frac{b_2}{a_1} \right|_{a_2=0} = \left. \frac{U_{2r}}{U_{1h}} \right|_{a_2=0}$$

$$S_{22} = \left. \frac{b_2}{a_2} \right|_{a_1=0} = \left. \frac{U_{2r}}{U_{2h}} \right|_{a_1=0} = \left. r_2 \right|_{r_1=0} = \left. \frac{Z_2 - Z_0}{Z_2 + Z_0} \right|_{Z_G=Z_0}$$



Beschaltung des Zweitors zur Bestimmung von  $S_{11}$  und  $S_{21}$



Beschaltung des Zweitors zur Bestimmung von  $S_{22}$  und  $S_{12}$

### 8.1 Messung der S-Parameter

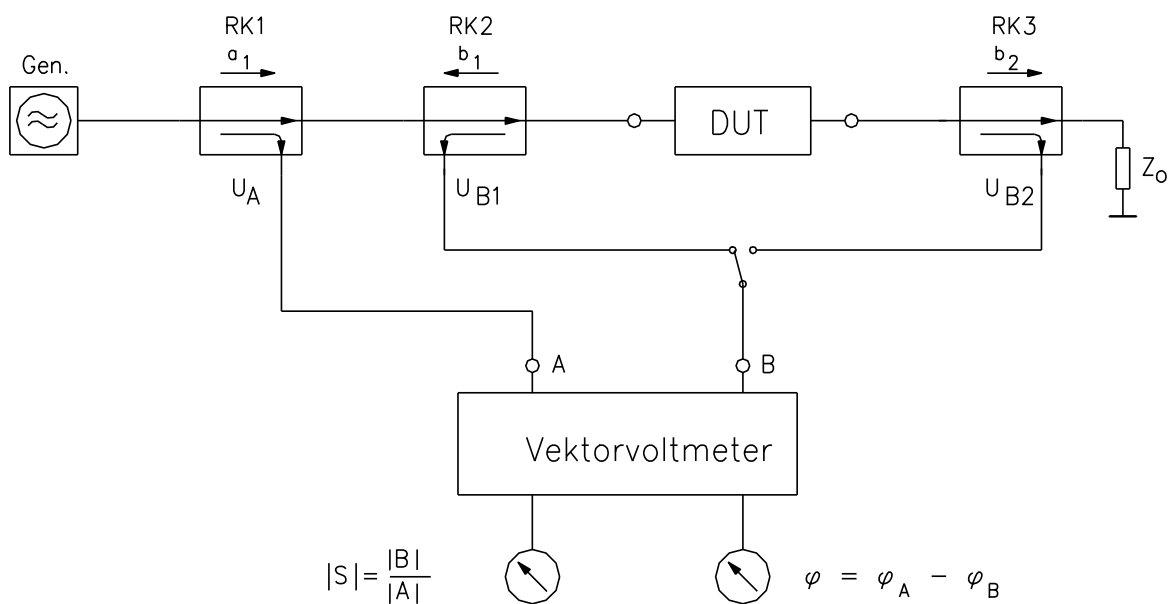


Bild 4.2.1: Schaltung zur Messung der S-Parameter

Die Wirkungsweise der Messchaltung ergibt sich direkt aus den Ausführungen im vorausgehenden Abschnitt.

$$S_{11} = \frac{b_1}{a_1} = \frac{U_{B1}}{U_A}$$

$$S_{21} = \frac{b_2}{a_1} = \frac{U_{B2}}{U_A}$$

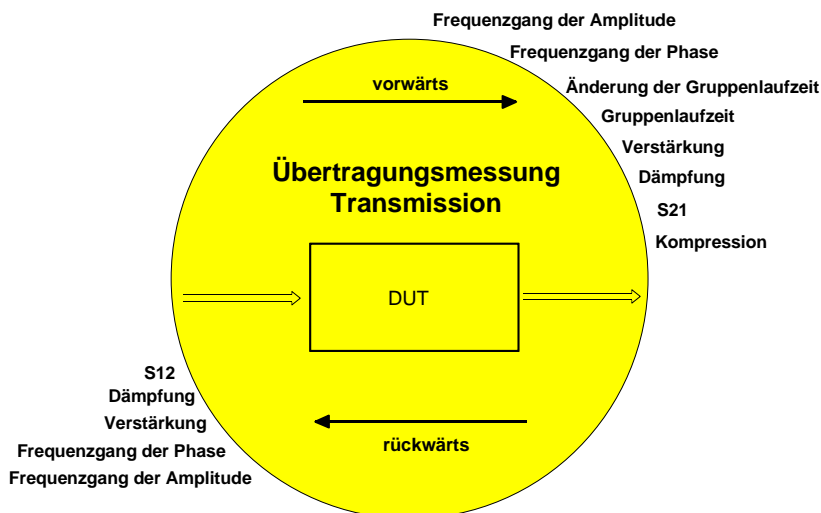
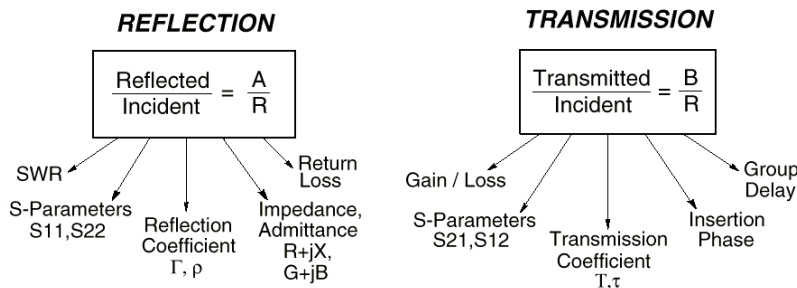
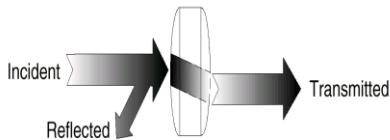
Für die Messung von  $S_{22}$  und  $S_{12}$  wird entweder das Messobjekt DUT (Device Under Test) umgedreht, oder mit einem sogenannten S-Parameter Test Set über HF-Schalter die Messanordnung zur Rückwärtsspeisung umgeschaltet.

Zur Kalibrierung der Messanordnung für  $S_{11}$  wird das DUT durch einen Kurzschluss (Leerlauf) ersetzt und die Anzeige auf  $1 / 180^\circ$  ( $1 / 0^\circ$ ) kalibriert.

Entsprechend wird bei der Kalibrierung von  $S_{21}$  verfahren, indem das DUT durch eine reflektionsfreie Verbindung ersetzt wird und die Anzeige auf  $1 / 0^\circ$  kalibriert wird.

### 8.1.1 Parameterübersicht

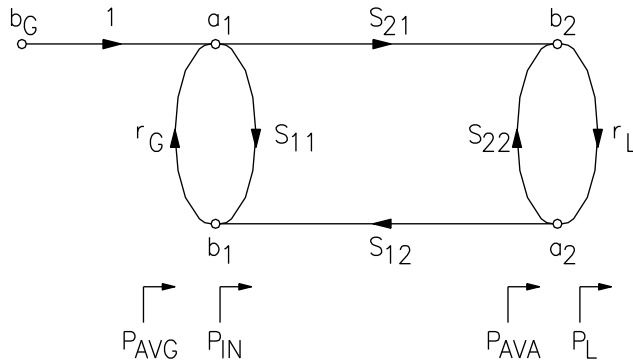
#### Transmission - Reflexion



## 8.2 Beschaltete Zweitore

Die folgenden Gleichungen sind mit Hilfe der "Flow Chart Analysis" abgeleitet. Diese Methode eignet sich sehr gut zur Bearbeitung von beschalteten Zweitoren.

In Lit..[N4.3],[N4.5],[N4.9],[N4.10]. ist dieses Verfahren sehr verständlich beschrieben.



$$P_{AVG} = P_{IN} \Big|_{r_1=r_G^*}$$

$$P_{AVA} = P_L \Big|_{r_L=r_2^*}$$

### 8.2.1 Verstärkungsdefinitionen

Für beschaltete Zweitore sind folgende Verstärkungen definiert:

**Übertragungsleistungsverstärkung (Transducer Power Gain):**

$$G_T = \frac{\text{Leistung geliefert an Last}}{\text{Leistung verfügbar von Gen.}} = \frac{P_L}{P_{AVG}} = \text{Übertragungsleistungsverstärkung}$$

**Betriebsleistungsverstärkung (Operating Power Gain):**

$$G_p = \frac{\text{Leistung geliefert an Last}}{\text{Leistung geliefert an Eingang}} = \frac{P_L}{P_{IN}} = \text{Betriebsleistungsverstärkung}$$

**Verfügbare Leistungsverstärkung (Available Power Gain):**

$$G_A = \frac{\text{Leistung verfügbar vom Ausg.}}{\text{Leistung verfügbar vom Gen.}} = \frac{P_{AVA}}{P_{AVG}} = \text{verfügbare Leistungsverstärkung}$$

### 8.2.2 $Z_G = Z_0 = Z_L$

**Übertragungsleistungsverstärkung (transducer power gain):**

$$G_T = |S_{21}|^2 \quad G_T \text{ dB} = 10 \log |S_{21}|^2 = 20 \log |S_{21}|$$

**Betriebsverstärkung (operating power gain):**

$$G_p = \frac{|S_{21}|^2}{1 - |S_{11}|^2}$$

### 8.2.3 Unilaterale Zweitore (rückwirkungsfrei)

Rückwirkungsfrei bedeutet, dass  $S_{12} = 0$  ist (oder vernachlässigbar klein).

In diesem Falle wird  $r_1 = S_{11}$  und  $r_2 = S_{22}$ .

**Unilaterale Übertragungsleistungsverstärkung (unilateral transducer power gain):**

$$r_G \neq S_{11} \quad \text{und} \quad r_L \neq S_{22} :$$

$$G_{TU} = \frac{1 - |r_G|^2}{|1 - r_G S_{11}|^2} \cdot |S_{21}|^2 \cdot \frac{1 - |r_L|^2}{|1 - r_L S_{22}|^2}$$

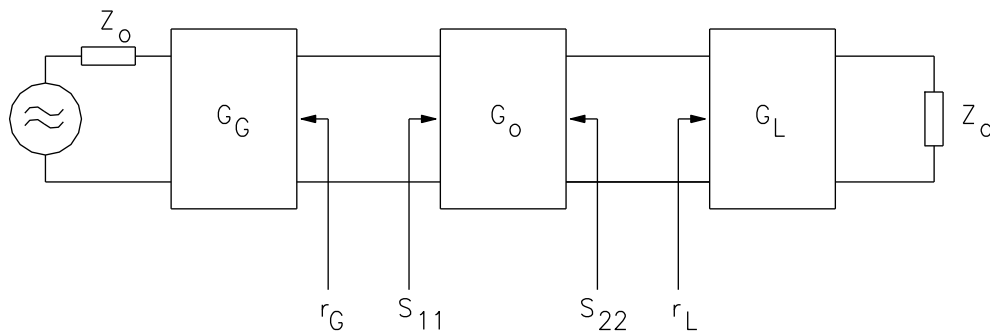
$$G_{TU} = G_G \cdot G_o \cdot G_L$$

wobei

$$G_G = \frac{1 - |r_G|^2}{|1 - r_G S_{11}|^2}$$

$$G_o = |S_{21}|^2$$

$$G_L = \frac{1 - |r_L|^2}{|1 - r_L S_{22}|^2}$$



**Maximale Unilaterale Übertragungsleistungsverstärkung (maximum unilateral transducer power gain):**

Den maximalen Gewinn und damit die maximale Unilaterale Übertragungsleistungsverstärkung erhalten wir durch Anpassung am Ein- und Ausgang mit

$$r_G = S_{11}^* \quad \text{und} \quad r_L = S_{22}^* \quad (\text{konjugiert komplexe Anpassung}):$$

$$G_{G_{\max}} = \frac{1}{1 - |S_{11}|^2}$$

$$G_{L_{\max}} = \frac{1}{1 - |S_{22}|^2}$$

$$G_{TU_{\max}} = \frac{1}{1 - |S_{11}|^2} \cdot |S_{21}|^2 \cdot \frac{1}{1 - |S_{22}|^2}$$

## 8.2.4 Nicht unilaterale Zweitore

Übertragungsleistungsverstärkung (transducer power gain):

$$G_T = \frac{1 - |r_G|^2}{|1 - r_G S_{11}|^2} \cdot |S_{21}|^2 \cdot \frac{1 - |r_L|^2}{|1 - r_L r_2|^2}$$

$$r_2 = S_{22} + \frac{S_{12} S_{21} r_G}{1 - S_{11} r_G}$$

oder

$$G_T = \frac{1 - |r_G|^2}{|1 - r_G r_1|^2} \cdot |S_{21}|^2 \cdot \frac{1 - |r_L|^2}{|1 - r_L S_{22}|^2}$$

$$r_1 = S_{11} + \frac{S_{12} S_{21} r_L}{1 - S_{22} r_L}$$

Verfügbare Leistungsverstärkung (available power gain):

$$G_A = \frac{1 - |r_G|^2}{|1 - r_G S_{11}|^2} \cdot |S_{21}|^2 \cdot \frac{1}{1 - |r_2|^2}$$

Maximale Betriebsleistungsverstärkung (maximum operating power gain):

$$r_G = r_1^* \quad \text{und} \quad r_L = r_2^*$$

$$G_{P_{\max}} = \frac{|S_{21}|}{|S_{12}|} \left( K - \sqrt{K^2 - 1} \right)$$

$$K = \frac{1 + |\Delta|^2 - |S_{11}|^2 - |S_{22}|^2}{2 \cdot |S_{12}| \cdot |S_{21}|} \geq 1$$

$$\Delta = S_{11}S_{22} - S_{12}S_{21}$$

$$r_1 = S_{11} + \frac{S_{12}S_{21}r_L}{1 - S_{22}r_L}$$

$$r_2 = S_{22} + \frac{S_{12}S_{21}r_G}{1 - S_{11}r_G}$$

**Maximale stabile Betriebsverstärkung:**

$$G_{P_{\max}(\text{stabil})} = \frac{|S_{21}|}{|S_{12}|} \quad (K = 1)$$

## 8.3 Stabilität

### Instabil (unstable)

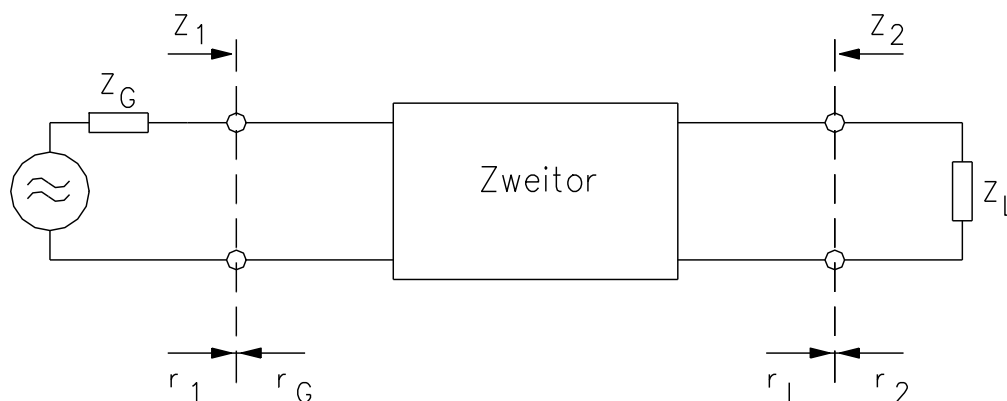
ist ein Zweitor, wenn Störampplituden anklingen und so zu einer Oszillation führen.

### Unbedingt stabil (unconditionally stable)

ist ein Zweitor, wenn bei einer Frequenz der Realteil von  $Z_1$  und  $Z_2$  positiv ist für alle positiven, reellen Quell- und Lastimpedanzen ( $Z_G$  und  $Z_L$ ).

### Bedingt stabil (conditionally stable)

ist ein Zweitor, wenn bei einer Frequenz der Realteil von  $Z_1$  und  $Z_2$  positiv ist für einige positive, reelle Quell- und Lastimpedanzen ( $Z_G$  und  $Z_L$ ).



### 8.3.1 Unstabil (unstable)

Oszillationen eines Zweitors sind nur möglich, wenn  $Z_1$  oder  $Z_2$  (oder beide) einen negativen Realteil besitzen.

Das bedeutet:

$$|r_1| > 1$$

oder



$$|r_2| > 1$$

Für den unilateralen Verstärker bedeutet dies:  
(vergleiche N4.8 , N4.9 für  $G \rightarrow \infty$ )

$$|S_{11}| > 1$$

oder

$$|S_{22}| > 1$$

### 8.3.2 Unbedingt stabil (unconditionally stable)

$$|r_G| < 1$$

$$|r_L| < 1$$

$$|r_1| = \left| S_{11} + \frac{S_{12} S_{21} r_L}{1 - S_{22} r_L} \right| < 1$$

$$|r_2| = \left| S_{22} + \frac{S_{12} S_{21} r_G}{1 - S_{11} r_G} \right| < 1$$

Aus den Gleichungen N4.18 bis N4.21 können folgende Bedingungen für unbedingte Stabilität abgeleitet werden:

$$|r_G| < 1$$

$$|r_L| < 1$$

$$|S_{11}| < 1$$

$$|S_{22}| < 1$$

$$K = \frac{1 - |S_{22}|^2 - |S_{11}|^2 + |\Delta S|^2}{2|S_{12} S_{21}|} > 1$$

$$|\Delta S| < 1$$

$$|\Delta S| = |S_{11} S_{22} - S_{12} S_{21}|$$

Eine neuere Stabilitätsdefinition MU nach Edwards/Sinsky berücksichtigt die für K notwendigen Nebenbedingungen und erlaubt eine sichere Stabilitätsuntersuchung.

$$\text{MU} = \frac{1 - |S_{11}|^2}{|S_{22} - \Delta S \cdot S_{11}^*| + |S_{21} S_{12}|}$$

Für unbedingte Stabilität muss gelten:  $\text{MU} > 1$

$S_{11}^*$  = konjugiert komplexes  $S_{11}$

$$\Delta S = S_{11} S_{22} - S_{12} S_{21}$$

### 8.3.3 Bedingt stabil (conditionally stable)

Es können vielleicht Werte für  $r_G$  und/oder  $r_L$  gefunden werden, bei denen der Realteil von  $Z_1$  und  $Z_1$  positiv wird. Dies ergibt die bedingte Stabilität, d.h. Stabilität ist nur für bestimmte Wertebereiche von  $Z_G$  und  $Z_L$  gegeben.

Mit Hilfe einer graphischen Darstellung in der Smith-Chart können diese Lösungen gefunden werden.

## 8.4 Touchstone S-Parameter Fileformat

Twoport-Parameter - Files (S-, H-, Z-, Y- and ABCD-Parameter) in Touchstone® - Format must follow the rules below:

- In one line all characters after a exclamation-mark '!' are comment only. The line terminates with *carriage return* and *line feed*
- In front of data there must be a parameter-line:  
# <Frequency unit> <Parameter-designation> <Format> <R n>

#: Parameter-line designator

<Frequency unit>: 'GHz', 'MHz', 'kHz' or 'Hz'

<Parameter-Designation>:

'S' for S-Parameter

'H' for H-Parameter

'Z' for Z-Parameter

'Y' for Y-Parameter.

<Format>:

'MA': magnitude-angle

'DB': decibel-angle

'RI': real-imaginary

<R n>: n = normalization impedance in Ohm (e.g. R 50)

- Data:  
Each line contains the data for one frequency. The parameters are separated with one space minimum. Data must be in following sequence:

1. Frequency
2. Real part or magnitude of  $x_{11}$

3. Imaginary part or angle of  $x_{11}$
4. Real part or magnitude of  $x_{21}$
5. Imaginary part or angle of  $x_{21}$
6. Real part or magnitude of  $x_{12}$
7. Imaginary part or angle of  $x_{12}$
8. Real part or magnitude of  $x_{22}$
9. Imaginary part or angle of  $x_{22}$

$x = S, H, Z,$  or  $Y.$

Frequencies must be ascending sequence

At the end of the twoport parameters, noise parameters can be added:

Each line contains the data for one frequency. The parameters are separated with one space minimum. Data must be in following sequence

1. Frequency
2. Nfmin Minimum Noise Figure in dB
3. Magnitude of reflection coefficient for NFmin  
(Gamma\_opt)
4. Angle of reflection coefficient for NFmin  
(Gamma\_opt) in degree
5. Normalized equivalent noise resistor

The lowest noise parameter frequency must be less or equal to the highest S-Parameter frequency.

#### Example:

```
! SIEMENS Small Signal Semiconductors
! CF750
! GaAs Microwave Monolithic Integrated Circuit in SOT143
! VDGND = 3.8 V ID = 2 mA
! Common Source S-Parameters: April 1992
! Parameters valid for V D-GND between 3.0 and 5.0 VDC
! for Id=1.6mA MAG[S21] is abt. 10% lower
! for Id=2.8mA MAG[S21] is abt. 20% higher
! >>>>> Source bypass capacitor must be low inductance!!
# GHz S MA R 50
! f S11 S21 S12 S22
! GHz MAG ANG MAG ANG MAG ANG MAG ANG
0.010 0.9700 -1.0 1.780 179.0 0.0020 89.0 0.9800 -1.0
0.100 0.9700 -3.0 1.780 175.0 0.0080 84.0 0.9800 -2.0
0.250 0.9600 -8.0 1.760 169.0 0.0150 78.0 0.9700 -6.0
0.500 0.9400 -16.0 1.730 155.0 0.0270 75.0 0.9500 -11.0
0.750 0.9100 -26.0 1.700 141.0 0.0390 71.0 0.9300 -16.0
1.000 0.8700 -34.0 1.680 127.0 0.0460 64.0 0.9100 -22.0
1.250 0.8300 -42.0 1.650 118.0 0.0540 62.0 0.8900 -26.0
1.500 0.7800 -49.0 1.620 108.0 0.0610 57.0 0.8800 -30.0
1.750 0.7200 -57.0 1.590 95.0 0.0660 55.0 0.8700 -34.0
2.000 0.6600 -65.0 1.540 82.0 0.0690 52.0 0.8600 -38.0
2.250 0.6100 -73.0 1.510 71.0 0.0710 54.0 0.8500 -43.0
2.500 0.5600 -81.0 1.470 60.0 0.0730 60.0 0.8400 -48.0
2.750 0.5200 -87.0 1.450 52.0 0.0740 63.0 0.8300 -52.0
3.000 0.4900 -93.0 1.420 45.0 0.0750 66.0 0.8200 -56.0
!
! NOISE
! f Fmin Gammaopt rn/50
```

! GHz	dB	MAG	ANG	-
0.900	1.60	0.63	26	0.98
1.800	1.90	0.52	51	0.72

!

! SIEMENS AG Semiconductor Group, Munich

## 9 Zweitore

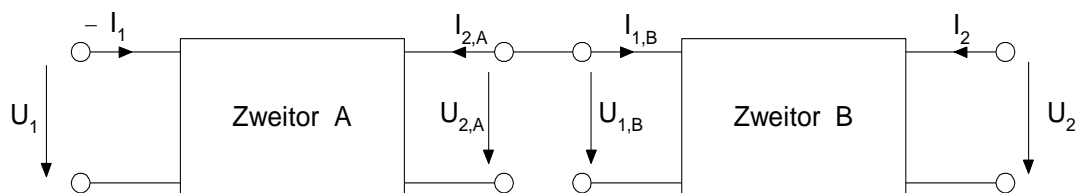
### 9.1 Zusammenschaltung von Zweitoren

Nebst der Kaskadenschaltung von Zweitoren sind auch andere Zusammenschaltungen möglich:

- Kaskadierung
- Serie-Serie-Schaltung
- Parallel-Parallel-Schaltung
- Serie-Parallel-Schaltung
- Parallel-Serie-Schaltung

In der Namensgebung bezeichnet der erste Ausdruck die Beschaltung am Eingang, der zweite Ausdruck die Beschaltung am Ausgang.

- **Kaskadierung**

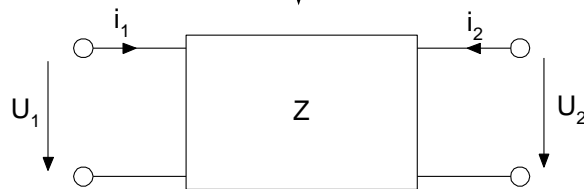
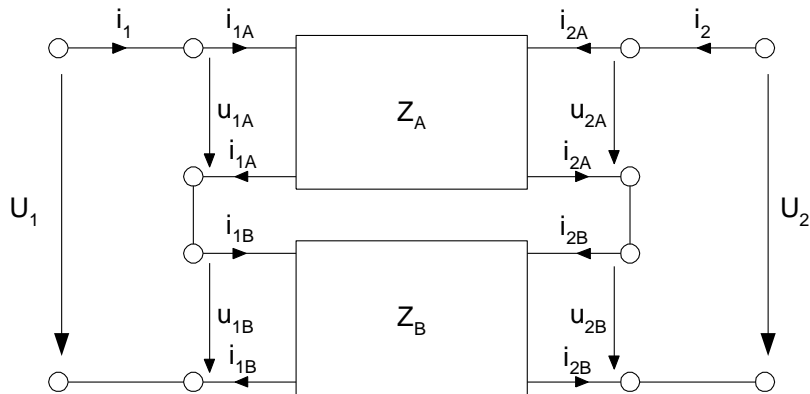


$$A = A_A \cdot A_B$$

$$A = \begin{pmatrix} A_{11A} & A_{12A} \\ A_{21A} & A_{22A} \end{pmatrix} \begin{pmatrix} A_{11B} & A_{12B} \\ A_{21B} & A_{22B} \end{pmatrix} = \begin{pmatrix} A_{11A}A_{11B} + A_{12A}A_{21B} & A_{11A}A_{12B} + A_{12A}A_{22B} \\ A_{21A}A_{11B} + A_{22A}A_{21B} & A_{21A}A_{12B} + A_{22A}A_{22B} \end{pmatrix}$$

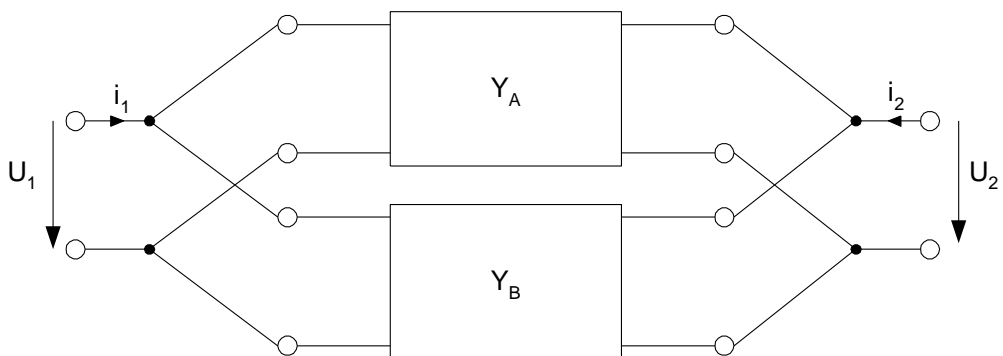
(Die Multiplikation von Matrizen ist nicht kommutativ:  $A \cdot B \neq B \cdot A$ )

- Serie-Serie-Schaltung**



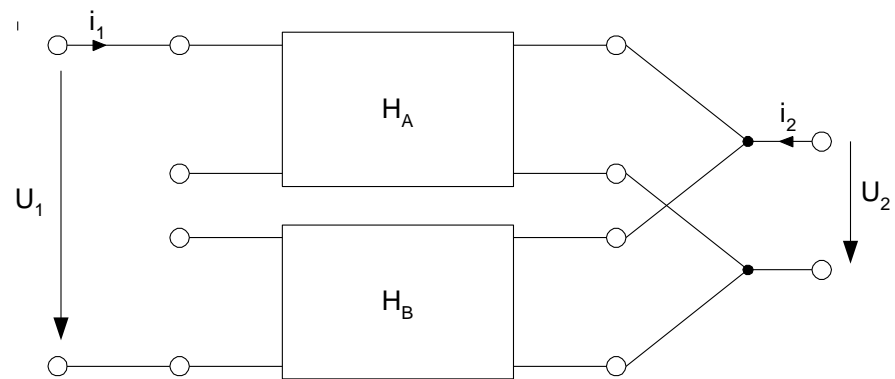
$$Z = Z_A + Z_B$$

- Parallel-Parallel-Schaltung**



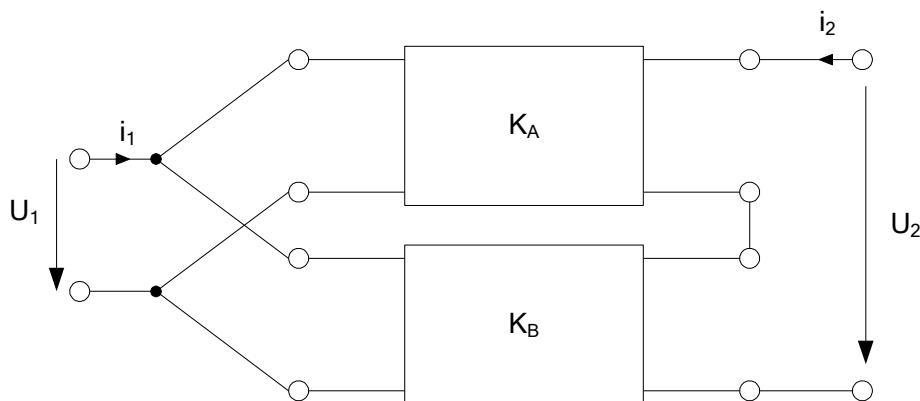
$$Y = Y_A + Y_B$$

- **Serie-Parallel-Schaltung**



$$H = H_A + H_B$$

- **Parallel-Serie-Schaltung**



$$K = K_A + K_B$$

## 9.2 Definitionen

<b>Z</b>	$u_1 = z_{11}i_1 + z_{12}i_2$ $u_2 = z_{21}i_1 + z_{22}i_2$	$\begin{pmatrix} u_1 \\ u_2 \end{pmatrix} = \begin{pmatrix} z_{11} & z_{12} \\ z_{21} & z_{22} \end{pmatrix} \begin{pmatrix} i_1 \\ i_2 \end{pmatrix}$	$\mathbf{Z} = \begin{pmatrix} \left. \frac{u_1}{i_1} \right _{i_2=0} & \left. \frac{u_1}{i_2} \right _{i_1=0} \\ \left. \frac{u_2}{i_1} \right _{i_2=0} & \left. \frac{u_2}{i_2} \right _{i_1=0} \end{pmatrix}$
<b>Y</b>	$i_1 = y_{11}u_1 + y_{12}u_2$ $i_2 = y_{21}u_1 + y_{22}u_2$	$\begin{pmatrix} i_1 \\ i_2 \end{pmatrix} = \begin{pmatrix} y_{11} & y_{12} \\ y_{21} & y_{22} \end{pmatrix} \begin{pmatrix} u_1 \\ u_2 \end{pmatrix}$	$\mathbf{Y} = \begin{pmatrix} \left. \frac{i_1}{u_1} \right _{u_2=0} & \left. \frac{i_1}{u_2} \right _{u_1=0} \\ \left. \frac{i_2}{u_1} \right _{u_2=0} & \left. \frac{i_2}{u_2} \right _{u_1=0} \end{pmatrix}$
<b>H</b>	$u_1 = h_{11}i_1 + h_{12}i_2$ $i_2 = h_{21}i_1 + h_{22}i_2$	$\begin{pmatrix} u_1 \\ i_2 \end{pmatrix} = \begin{pmatrix} h_{11} & h_{12} \\ h_{21} & h_{22} \end{pmatrix} \begin{pmatrix} i_1 \\ u_2 \end{pmatrix}$	$\mathbf{H} = \begin{pmatrix} \left. \frac{u_1}{i_1} \right _{u_2=0} & \left. \frac{u_1}{u_2} \right _{i_1=0} \\ \left. \frac{i_2}{i_1} \right _{u_2=0} & \left. \frac{i_2}{u_2} \right _{i_1=0} \end{pmatrix}$
<b>K</b>	$i_1 = k_{11}u_1 + k_{12}i_2$ $u_2 = k_{21}u_1 + k_{22}i_2$	$\begin{pmatrix} i_1 \\ u_2 \end{pmatrix} = \begin{pmatrix} k_{11} & k_{12} \\ k_{21} & k_{22} \end{pmatrix} \begin{pmatrix} u_1 \\ i_2 \end{pmatrix}$	$\mathbf{K} = \begin{pmatrix} \left. \frac{i_1}{u_1} \right _{i_2=0} & \left. \frac{i_1}{i_2} \right _{u_1=0} \\ \left. \frac{u_2}{u_1} \right _{i_2=0} & \left. \frac{u_2}{i_2} \right _{u_1=0} \end{pmatrix}$
<b>A</b>	$u_1 = A_{11}u_2 - A_{12}i_2$ $i_1 = A_{21}u_2 - A_{22}i_2$	$\begin{pmatrix} u_1 \\ i_1 \end{pmatrix} = \begin{pmatrix} A_{11} & A_{12} \\ A_{21} & A_{22} \end{pmatrix} \begin{pmatrix} u_2 \\ -i_2 \end{pmatrix}$	$\mathbf{A} = \begin{pmatrix} \left. \frac{u_1}{u_2} \right _{i_2=0} & \left. \frac{-u_1}{i_2} \right _{u_2=0} \\ \left. \frac{i_1}{u_2} \right _{i_2=0} & \left. \frac{-i_1}{i_2} \right _{u_2=0} \end{pmatrix}$



### 9.3 Parameter Umrechnungstabelle

	Z	Y	H	K	A
Z	$\begin{array}{cc} z_{11} & z_{12} \\ z_{21} & z_{22} \end{array}$	$\begin{array}{cc} \frac{y_{22}}{\Delta y} & \frac{-y_{12}}{\Delta y} \\ \frac{-y_{21}}{\Delta y} & \frac{y_{11}}{\Delta y} \end{array}$	$\begin{array}{cc} \frac{\Delta h}{h_{22}} & \frac{h_{12}}{h_{22}} \\ \frac{-h_{21}}{h_{22}} & \frac{1}{h_{22}} \end{array}$	$\begin{array}{cc} \frac{1}{k_{11}} & \frac{-k_{12}}{k_{11}} \\ \frac{k_{21}}{k_{11}} & \frac{\Delta k}{k_{11}} \end{array}$	$\begin{array}{cc} \frac{A_{11}}{A_{21}} & \frac{\Delta A}{A_{21}} \\ \frac{1}{A_{21}} & \frac{A_{22}}{A_{21}} \end{array}$
Y	$\begin{array}{cc} \frac{z_{22}}{\Delta z} & \frac{-z_{12}}{\Delta z} \\ \frac{-z_{21}}{\Delta z} & \frac{z_{11}}{\Delta z} \end{array}$	$\begin{array}{cc} y_{11} & y_{12} \\ y_{21} & y_{22} \end{array}$	$\begin{array}{cc} \frac{1}{h_{11}} & \frac{-h_{12}}{h_{11}} \\ \frac{h_{21}}{h_{11}} & \frac{\Delta h}{h_{11}} \end{array}$	$\begin{array}{cc} \frac{\Delta k}{k_{22}} & \frac{k_{12}}{k_{22}} \\ \frac{-k_{21}}{k_{22}} & \frac{1}{k_{22}} \end{array}$	$\begin{array}{cc} \frac{A_{22}}{A_{12}} & \frac{-\Delta A}{A_{12}} \\ \frac{-1}{A_{12}} & \frac{A_{11}}{A_{12}} \end{array}$
H	$\begin{array}{cc} \frac{\Delta z}{z_{22}} & \frac{z_{12}}{z_{22}} \\ \frac{-z_{21}}{z_{22}} & \frac{1}{z_{22}} \end{array}$	$\begin{array}{cc} \frac{1}{y_{11}} & \frac{-y_{12}}{y_{11}} \\ \frac{y_{21}}{y_{11}} & \frac{\Delta y}{y_{11}} \end{array}$	$\begin{array}{cc} h_{11} & h_{12} \\ h_{21} & h_{22} \end{array}$	$\begin{array}{cc} \frac{k_{22}}{\Delta k} & \frac{-k_{12}}{\Delta k} \\ \frac{-k_{21}}{\Delta k} & \frac{k_{11}}{\Delta k} \end{array}$	$\begin{array}{cc} \frac{A_{12}}{A_{22}} & \frac{\Delta A}{A_{22}} \\ \frac{-1}{A_{22}} & \frac{A_{21}}{A_{22}} \end{array}$
K	$\begin{array}{cc} \frac{1}{z_{11}} & \frac{-z_{12}}{z_{11}} \\ \frac{z_{21}}{z_{11}} & \frac{\Delta z}{z_{11}} \end{array}$	$\begin{array}{cc} \frac{\Delta y}{y_{22}} & \frac{y_{12}}{y_{22}} \\ \frac{-y_{21}}{y_{22}} & \frac{1}{y_{22}} \end{array}$	$\begin{array}{cc} \frac{h_{22}}{\Delta h} & \frac{-h_{12}}{\Delta h} \\ \frac{-h_{21}}{\Delta h} & \frac{h_{11}}{\Delta h} \end{array}$	$\begin{array}{cc} k_{11} & k_{12} \\ k_{21} & k_{22} \end{array}$	$\begin{array}{cc} \frac{A_{21}}{A_{11}} & \frac{-\Delta A}{A_{11}} \\ \frac{1}{A_{11}} & \frac{A_{12}}{A_{11}} \end{array}$
A	$\begin{array}{cc} \frac{z_{11}}{z_{21}} & \frac{\Delta z}{z_{21}} \\ \frac{1}{z_{21}} & \frac{z_{22}}{z_{21}} \end{array}$	$\begin{array}{cc} \frac{-y_{22}}{y_{21}} & \frac{-1}{y_{21}} \\ \frac{-\Delta y}{y_{21}} & \frac{-y_{11}}{y_{21}} \end{array}$	$\begin{array}{cc} \frac{-\Delta h}{h_{21}} & \frac{-h_{11}}{h_{21}} \\ \frac{-h_{22}}{h_{21}} & \frac{-1}{h_{21}} \end{array}$	$\begin{array}{cc} \frac{1}{k_{21}} & \frac{k_{22}}{k_{21}} \\ \frac{k_{11}}{k_{21}} & \frac{\Delta k}{k_{21}} \end{array}$	$\begin{array}{cc} A_{11} & A_{12} \\ A_{21} & A_{22} \end{array}$

$$\Delta z = z_{11}z_{22} - z_{12}z_{21}$$

$$\Delta y = y_{11}y_{22} - y_{12}y_{21}$$

$$\Delta h = h_{11}h_{22} - h_{12}h_{21}$$

$$\Delta k = k_{11}k_{22} - k_{12}k_{21}$$

$$\Delta A = A_{11}A_{22} - A_{12}A_{21}$$

## 9.4 Umrechnung von Zweitorparametern in Streumatrizen (und vice versa)

Z: Impedanzparameter

Y: Admitanzparameter

H: Hybridparameter

G: Inverse Hybridparameter

A: Kettenparameter

S: Streuparameter

T: Transmissionsparameter

$$\mathbf{X} = \begin{bmatrix} X_{11} & X_{12} \\ X_{21} & X_{22} \end{bmatrix}$$

**S ↔ Z:**

$$S_{11} = \frac{(z'_{11} - 1)(z'_{22} + 1) - z'_{12} z'_{21}}{(z'_{11} + 1)(z'_{22} + 1) - z'_{12} z'_{21}}$$

$$z'_{11} = \frac{(1 + S_{11})(1 - S_{22}) + S_{12} S_{21}}{(1 - S_{11})(1 - S_{22}) - S_{12} S_{21}}$$

$$S_{12} = \frac{2z'_{12}}{(z'_{11} + 1)(z'_{22} + 1) - z'_{12} z'_{21}}$$

$$z'_{12} = \frac{2S_{12}}{(1 - S_{11})(1 - S_{22}) - S_{12} S_{21}}$$

$$S_{21} = \frac{2z'_{21}}{(z'_{11} + 1)(z'_{22} + 1) - z'_{12} z'_{21}}$$

$$z'_{21} = \frac{2S_{21}}{(1 - S_{11})(1 - S_{22}) - S_{12} S_{21}}$$

$$S_{22} = \frac{(z'_{11} + 1)(z'_{22} - 1) - z'_{12} z'_{21}}{(z'_{11} + 1)(z'_{22} + 1) - z'_{12} z'_{21}}$$

$$z'_{22} = \frac{(1 - S_{11})(1 + S_{22}) + S_{12} S_{21}}{(1 - S_{11})(1 - S_{22}) - S_{12} S_{21}}$$

$$z'_{11} = \frac{Z_{11}}{Z_o} \quad z'_{12} = \frac{Z_{12}}{Z_o} \quad z'_{21} = \frac{Z_{21}}{Z_o} \quad z'_{22} = \frac{Z_{22}}{Z_o}$$

**S ↔ Y:**

$$S_{11} = \frac{(1 - y'_{11})(1 + y'_{22}) + y'_{12} y'_{21}}{(1 + y'_{11})(1 + y'_{22}) - y'_{12} y'_{21}}$$

$$y'_{11} = \frac{(1 - S_{11})(1 + S_{22}) + S_{12} S_{21}}{(1 + S_{11})(1 + S_{22}) - S_{12} S_{21}}$$

$$S_{12} = \frac{-2y'_{12}}{(1 + y'_{11})(1 + y'_{22}) - y'_{12} y'_{21}}$$

$$y'_{12} = \frac{-2S_{12}}{(1 + S_{11})(1 + S_{22}) - S_{12} S_{21}}$$

$$S_{21} = \frac{-2y'_{21}}{(1 + y'_{11})(1 + y'_{22}) - y'_{12} y'_{21}}$$

$$y'_{21} = \frac{-2S_{21}}{(1 + S_{11})(1 + S_{22}) - S_{12} S_{21}}$$

$$S_{22} = \frac{(1 + y'_{11})(1 - y'_{22}) + y'_{12} y'_{21}}{(1 + y'_{11})(1 + y'_{22}) - y'_{12} y'_{21}}$$

$$y'_{22} = \frac{(1 + S_{11})(1 - S_{22}) + S_{12} S_{21}}{(1 + S_{11})(1 + S_{22}) - S_{12} S_{21}}$$

$$y'_{11} = y_{11} Z_o \quad y'_{12} = y_{12} Z_o \quad y'_{21} = y_{21} Z_o \quad y'_{22} = y_{22} Z_o$$

**S ↔ H:**

$$S_{11} = \frac{(h'_{11}-1)(h'_{22}+1)h'_{12}h'_{21}}{(h'_{11}+1)(h'_{22}+1)-h'_{12}h'_{21}}$$

$$h'_{11} = \frac{(1+S_{11})(1+S_{22})-S_{12}S_{21}}{(1-S_{11})(1+S_{22})+S_{12}S_{21}}$$

$$S_{12} = \frac{2h'_{12}}{(h'_{11}+1)(h'_{22}+1)-h'_{12}h'_{21}}$$

$$h'_{12} = \frac{2S_{12}}{(1-S_{11})(1+S_{22})+S_{12}S_{21}}$$

$$S_{21} = \frac{-2h'_{21}}{(h'_{11}+1)(h'_{22}+1)-h'_{12}h'_{21}}$$

$$h'_{21} = \frac{-2S_{21}}{(1-S_{11})(1+S_{22})+S_{12}S_{21}}$$

$$S_{22} = \frac{(1+h'_{11})(1-h'_{22})+h'_{12}h'_{21}}{(h'_{11}+1)(h'_{22}+1)-h'_{12}h'_{21}}$$

$$h'_{22} = \frac{(1-S_{22})(1-S_{11})-S_{12}S_{21}}{(1-S_{11})(1+S_{22})+S_{12}S_{21}}$$

$$h'_{11} = \frac{h_{11}}{Z_o}$$

$$h'_{12} = h_{12}$$

$$h'_{21} = h_{21}$$

$$h'_{22} = h_{22}Z_o$$

**S ↔ A:**

$$A = \frac{1}{2S_{21}} \begin{bmatrix} (1+S_{11})(1-S_{22})+S_{12}S_{21} & Z_o[(1+S_{11})(1+S_{22})-S_{12}S_{21}] \\ Y_o[(1-S_{11})(1-S_{22})-S_{12}S_{21}] & (1-S_{11})(1+S_{22})+S_{12}S_{21} \end{bmatrix}$$

$$S = \frac{1}{\Delta_1} \begin{bmatrix} A_{11} + A_{12}Y_o - A_{21}Z_o - A_{22} & 2(A_{11}A_{22} - A_{12}A_{21}) \\ 2 & -A_{11} + A_{12}Y_o - A_{21}Z_o + A_{22} \end{bmatrix}$$

$$\Delta_1 = A_{11} + A_{12}Y_o + A_{21}Z_o + A_{22}$$

**S ↔ T:**

$$T = \frac{1}{S_{21}} \begin{bmatrix} 1 & -S_{22} \\ S_{11} & S_{12}S_{21} - S_{11}S_{22} \end{bmatrix}$$

$$S = \frac{1}{T_{11}} \begin{bmatrix} T_{21} & T_{11}T_{22} - T_{12}T_{21} \\ 1 & -T_{12} \end{bmatrix}$$

## 9.5 Umrechnung der y-Parameter zwischen Emitter-, Kollektor- und Basisschaltung

$$y_{11e} = y_{11b} + y_{12b} + y_{21b} + y_{22b} = y_{11c}$$

$$y_{12e} = -(y_{12b} + y_{22b}) = -(y_{11c} + y_{12c})$$

$$y_{21e} = -(y_{21b} + y_{22b}) = -(y_{11c} + y_{21c})$$

$$y_{22e} = y_{22b} = y_{11c} + y_{12c} + y_{21c} + y_{22c}$$

$$y_{11b} = y_{11e} + y_{12e} + y_{21e} + y_{22e} = y_{22c}$$

$$y_{12b} = -(y_{12e} + y_{22e}) = -(y_{21c} + y_{22c})$$

$$y_{21b} = -(y_{21e} + y_{22e}) = -(y_{12c} + y_{22c})$$

$$y_{22b} = y_{22e} = y_{11c} + y_{12c} + y_{21c} + y_{22c}$$

$$y_{11c} = y_{11e} = y_{11b} + y_{12b} + y_{21b} + y_{22b}$$

$$y_{12c} = -(y_{11e} + y_{12e}) = -(y_{11b} + y_{21b})$$

$$y_{21c} = -(y_{11e} + y_{21e}) = -(y_{11b} + y_{12b})$$

$$y_{22c} = y_{11e} + y_{12e} + y_{21e} + y_{22e} = y_{11b}$$

## 9.6 Umrechnung der h-Parameter der Emitterschaltung in h-Parameter der Basis- und Kollektorschaltung

Emitter- nach Basisschaltung:

$$h_{11b} = \frac{h_{11e}}{Ne} \qquad h_{12b} = \frac{\Delta h_e - h_{12e}}{Ne}$$

$$h_{21b} = \frac{-(\Delta h_e + h_{21e})}{Ne} \qquad h_{22b} = \frac{h_{22e}}{Ne}$$

$$Ne = 1 - h_{12e} + h_{21e} + \Delta h_e$$

$$\Delta h_b = \frac{\Delta h_e}{Ne}$$

### Approximationen

$$h_{21e} \gg 1 \qquad h_{12e} \ll 1 \qquad h_{22e} h_{11e} \ll 1$$

$$h_{11b} \approx \frac{h_{11e}}{h_{21e}} \qquad h_{12b} \approx \frac{\Delta h_e - h_{12e}}{h_{21e}}$$

$$h_{21b} \approx \frac{-h_{21e}}{h_{21e} + 1} \approx -1 \qquad h_{22b} \approx \frac{h_{22e}}{h_{21e}}$$

Emitter- nach Kollektorschaltung:

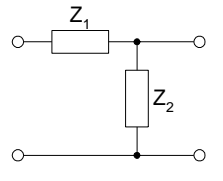
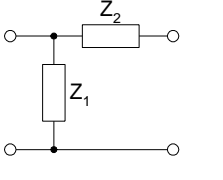
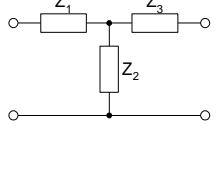
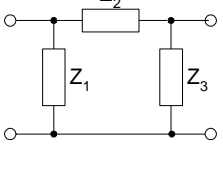
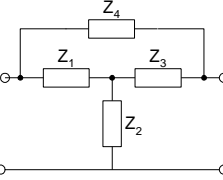
$$h_{11c} = h_{11e} \qquad h_{12c} = 1 - h_{12e}$$

$$h_{21c} = -(1 + h_{21e}) \qquad h_{22c} = h_{22e}$$

$$\Delta h_c = Ne = 1 - h_{12e} + h_{21e} + \Delta h_e$$

**9.7 Zweitorparameter der wichtigsten Elemente**

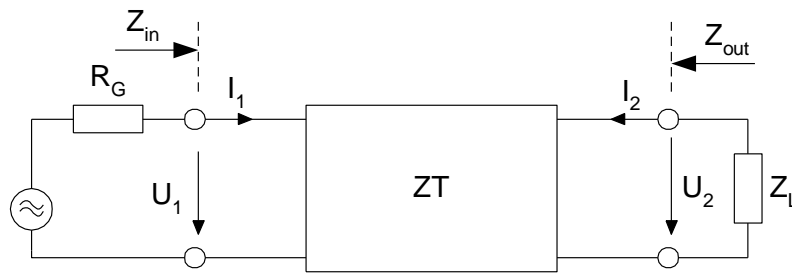
Zweitor	Z	Y	H	K)	A
	nicht definiert	$\frac{1}{Z} \quad -\frac{1}{Z}$ $-\frac{1}{Z} \quad \frac{1}{Z}$	$Z \quad 1$ $-1 \quad 0$	$0 \quad -1$ $1 \quad Z$	$1 \quad Z$ $0 \quad 1$
	$\frac{1}{Y} \quad \frac{1}{Y}$ $\frac{1}{Y} \quad \frac{1}{Y}$	nicht definiert	$0 \quad 1$ $-1 \quad Y$	$Y \quad -1$ $1 \quad 0$	$1 \quad 0$ $Y \quad 1$
	nicht definiert	$j\omega C \quad -j\omega C$ $-j\omega C \quad j\omega C$	$\frac{1}{j\omega C} \quad 1$ $-1 \quad 0$	$0 \quad -1$ $1 \quad \frac{1}{j\omega C}$	$1 \quad \frac{1}{j\omega C}$ $0 \quad 1$
	$\frac{1}{j\omega C} \quad \frac{1}{j\omega C}$ $\frac{1}{j\omega C} \quad \frac{1}{j\omega C}$	nicht definiert	$0 \quad 1$ $-1 \quad j\omega C$	$j\omega C \quad -1$ $1 \quad 0$	$1 \quad 0$ $j\omega C \quad 1$
	nicht definiert	$\frac{1}{j\omega L} \quad -\frac{1}{j\omega L}$ $-\frac{1}{j\omega L} \quad \frac{1}{j\omega L}$	$j\omega L \quad 1$ $-1 \quad 0$	$0 \quad -1$ $1 \quad j\omega L$	$1 \quad j\omega L$ $0 \quad 1$
	$j\omega L \quad j\omega L$ $j\omega L \quad j\omega L$	nicht definiert	$0 \quad 1$ $-1 \quad \frac{1}{j\omega L}$	$\frac{1}{j\omega L} \quad -1$ $1 \quad 0$	$1 \quad 0$ $\frac{1}{j\omega L} \quad 1$
	nicht definiert	$\frac{1-\omega^2 LC}{j\omega L} \quad \frac{\omega^2 LC-1}{j\omega L}$ $\frac{\omega^2 LC-1}{j\omega L} \quad \frac{1-\omega^2 LC}{j\omega L}$	$\frac{j\omega L}{1-\omega^2 LC} \quad 1$ $-1 \quad 0$	$0 \quad -1$ $1 \quad \frac{j\omega C}{1-\omega^2 LC}$	$1 \quad \frac{j\omega L}{1-\omega^2 LC}$ $0 \quad 1$
	$\frac{1-\omega^2 LC}{j\omega C} \quad \frac{1-\omega^2 LC}{j\omega C}$ $\frac{1-\omega^2 LC}{j\omega C} \quad \frac{1-\omega^2 LC}{j\omega C}$	nicht definiert	$0 \quad 1$ $-1 \quad \frac{j\omega C}{1-\omega^2 LC}$	$\frac{j\omega C}{1-\omega^2 LC} \quad -1$ $1 \quad 0$	$1 \quad 0$ $\frac{j\omega C}{1-\omega^2 LC} \quad 1$

Zweitor	Z	Y	H	K	A
	$Z_1 + Z_2$ $Z_2$ $Z_2$ $Z_2$	$\frac{1}{Z_1}$ $-\frac{1}{Z_1}$ $-\frac{1}{Z_1}$ $\frac{Z_1 + Z_2}{Z_1 Z_2}$	$Z_1$ $1$ $-1$ $\frac{1}{Z_2}$	$\frac{1}{Z_1 + Z_2}$ $-\frac{Z_2}{Z_1 + Z_2}$ $\frac{Z_2}{Z_1 + Z_2}$ $\frac{Z_1 Z_2}{Z_1 + Z_2}$	$\frac{Z_1 + Z_2}{Z_2}$ $Z_1$ $\frac{1}{Z_2}$ $1$
	$Z_1$ $Z_1$ $Z_1$ $Z_1 + Z_2$	$\frac{Z_1 + Z_2}{Z_1 Z_2}$ $-\frac{1}{Z_2}$ $-\frac{1}{Z_2}$ $\frac{1}{Z_2}$	$\frac{Z_1 Z_2}{Z_1 + Z_2}$ $\frac{Z_1}{Z_1 + Z_2}$ $-\frac{Z_1}{Z_1 + Z_2}$ $\frac{1}{Z_1 + Z_2}$	$\frac{1}{Z_1}$ $-1$ $1$ $Z_2$	$1$ $Z_2$ $\frac{1}{Z_1}$ $\frac{Z_1 + Z_2}{Z_1}$
	$Z_1 + Z_2$ $Z_2$ $Z_2$ $Z_2 + Z_3$	$\frac{Z_2 + Z_3}{P}$ $-\frac{Z_2}{P}$ $-\frac{Z_2}{P}$ $\frac{Z_1 + Z_2}{P}$	$\frac{P}{Z_2 + Z_3}$ $\frac{Z_2}{Z_2 + Z_3}$ $-\frac{Z_2}{Z_2 + Z_3}$ $\frac{1}{Z_2 + Z_3}$	$\frac{1}{Z_1 + Z_2}$ $-\frac{Z_2}{Z_1 + Z_2}$ $\frac{Z_2}{Z_1 + Z_2}$ $\frac{P}{Z_1 + Z_2}$	$\frac{Z_1 + Z_2}{Z_2}$ $\frac{P}{Z_2}$ $\frac{1}{Z_2}$ $\frac{Z_2 + Z_3}{Z_2}$
	$\frac{L \cdot Z_1}{M}$ $\frac{Z_1 Z_3}{M}$ $\frac{Z_1 Z_3}{M}$ $\frac{K \cdot Z_3}{M}$	$\frac{Z_1 + Z_2}{Z_1 Z_2}$ $-\frac{1}{Z_2}$ $-\frac{1}{Z_2}$ $\frac{Z_2 + Z_3}{Z_2 Z_3}$	$\frac{Z_1 Z_2}{K}$ $\frac{Z_1}{K}$ $-\frac{Z_1}{K}$ $\frac{M}{K \cdot Z_3}$	$\frac{M}{L \cdot Z_1}$ $-\frac{Z_3}{L}$ $\frac{Z_3}{L}$ $\frac{Z_2 Z_3}{L}$	$\frac{Z_2 + Z_3}{Z_3}$ $Z_2$ $\frac{M}{Z_1 Z_3}$ $\frac{Z_1 + Z_2}{Z_1}$
	$\frac{R}{N}$ $\frac{Q}{N}$ $\frac{Q}{N}$ $\frac{S}{N}$	$\frac{L}{P} + \frac{1}{Z_4}$ $-\frac{Z_2}{P} - \frac{1}{Z_4}$ $-\frac{Z_2}{P} - \frac{1}{Z_4}$ $\frac{K}{P} + \frac{1}{Z_4}$	$\frac{P Z_4}{S}$ $\frac{Q}{S}$ $-\frac{Q}{S}$ $\frac{N}{S}$	$\frac{N}{R}$ $-\frac{Q}{R}$ $\frac{Q}{R}$ $\frac{P Z_4}{R}$	$\frac{R}{Q}$ $\frac{P Z_4}{Q}$ $\frac{N}{Q}$ $\frac{S}{Q}$
$K = Z_1 + Z_2$ $L = Z_2 + Z_3$ $M = Z_1 + Z_2 + Z_3$ $N = Z_1 + Z_3 + Z_4$ $P = Z_1 Z_2 + Z_1 Z_3 + Z_2 Z_3$ $Q = Z_1 Z_2 + Z_1 Z_3 + Z_2 Z_3 + Z_2 Z_4 = P + Z_2 Z_4$ $R = Z_1 Z_2 + Z_1 Z_3 + Z_2 Z_3 + Z_2 Z_4 + Z_1 Z_4 = Q + Z_1 Z_4$ $S = Z_1 Z_2 + Z_1 Z_3 + Z_2 Z_3 + Z_2 Z_4 + Z_3 Z_4 = Q + Z_3 Z_4$					

Zweitor	Z	Y	H	K	A
<p>Leitung  <math>Z_0</math>  <math>\theta = \beta l</math>  <math>\alpha = 0</math></p>					$\begin{matrix} \cos \Theta & jZ_0 \sin \Theta \\ \frac{j \sin \Theta}{Z_0} & \cos \Theta \end{matrix}$
<p>Leitung  <math>Z_0</math>  <math>\gamma l</math></p>					$\begin{matrix} \cosh \gamma l & Z_0 \sinh \gamma l \\ \frac{\sinh \gamma l}{Z_0} & \cosh \gamma l \end{matrix}$
<p>Stab          offen  <math>Z_0</math>  <math>\theta = \beta l</math></p>					$\begin{matrix} 1 & 0 \\ \frac{j \tan \Theta}{Z_0} & 1 \end{matrix}$
<p>Stab          kurzgeschl.  <math>Z_0</math>  <math>\theta = \beta l</math></p>					$\begin{matrix} 1 & 0 \\ \frac{\cot \Theta}{jZ_0} & 1 \end{matrix}$
<p>Trafo  <math>n:1</math></p>	nicht definiert	nicht definiert	$\begin{matrix} 0 & n \\ -n & 0 \end{matrix}$	$\begin{matrix} 0 & -\frac{1}{n} \\ \frac{1}{n} & 0 \end{matrix}$	$\begin{matrix} n & 0 \\ 0 & \frac{1}{n} \end{matrix}$
<p>VCCS  <math>u_1</math>  <math>R</math>  <math>g u_1</math></p>	nicht definiert				$\begin{matrix} 0 & -\frac{1}{g} \\ 0 & -\frac{1}{R \cdot g} \end{matrix}$
<p>CCCS  <math>i_1</math>  <math>R</math>  <math>\beta i_1</math></p>	nicht definiert				$\begin{matrix} 0 & -\frac{R}{\beta} \\ 0 & -\frac{1}{\beta} \end{matrix}$



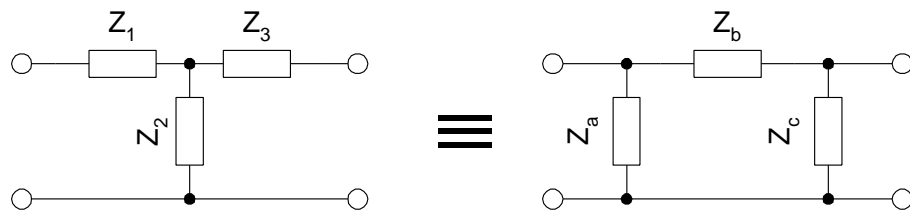
9.8 Beschalteter Zweitor



	Z	Y	H	K	A
$v_U = \frac{u_2}{u_1}$	$\frac{z_{21}Z_L}{z_{11}Z_L + \Delta z}$	$\frac{-y_{21}Z_L}{y_{22}Z_L + 1}$	$\frac{-h_{21}Z_L}{h_{11} + \Delta h Z_L}$	$\frac{k_{21}Z_L}{k_{22} + Z_L}$	$\frac{Z_L}{A_{12} + A_{11}Z_L}$
$v_i = \frac{i_2}{i_1}$	$\frac{-z_{21}}{z_{22} + Z_L}$	$\frac{y_{21}}{y_{11} + \Delta y Z_L}$	$\frac{h_{21}}{1 + h_{22}Z_L}$	$\frac{-k_{21}}{k_{11}Z_L + \Delta k}$	$\frac{-1}{A_{21}Z_L + A_{22}}$
$v_p = \frac{P_2}{P_1}$			$H, R_L = \text{reell}$ $\frac{h_{21}^2 R_L}{(1 + h_{22}R_L)(h_{11} + \Delta h R_L)}$		$v_u^2 \frac{\text{Re}[Z_{in}]}{\text{Re}[Z_L]}$
$Z_{in} = \frac{u_1}{i_1}$	$\frac{z_{11}Z_L + \Delta z}{z_{22} + Z_L}$ $= z_{11} - \frac{z_{12}z_{21}}{z_{22} + Z_L}$	$\frac{1 + y_{22}Z_L}{y_{11} + \Delta y Z_L}$	$\frac{h_{11} + \Delta h Z_L}{1 + h_{22}Z_L}$	$\frac{k_{22} + Z_L}{k_{11}Z_L + \Delta k}$	$\frac{A_{11}Z_L + A_{12}}{A_{21}Z_L + A_{22}}$
$Z_{out}$	$\frac{z_{22}Z_G + \Delta z}{z_{11} + Z_G}$ $= z_{22} - \frac{z_{12}z_{21}}{z_{11} + Z_G}$	$\frac{1 + y_{11}Z_G}{y_{22} + \Delta y Z_G}$	$\frac{h_{11} + Z_G}{h_{22}Z_G + \Delta h}$	$\frac{k_{22} + Z_G \Delta k}{1 + k_{11}Z_G}$	$\frac{A_{22}Z_G + A_{12}}{A_{21}Z_G + A_{11}}$

## 10 Netzwerke

### 10.1 Transformation von Pi- ↔ T-Schaltungen



Pi- oder T-Schaltungen lassen sich leicht von einer Topologie in die andere transformieren.

**Sind die Elemente frequenzabhängig, gilt die Transformation nur für eine Frequenz.**

#### 10.1.1 Pi → T

$$Z_1 = \frac{Z_a Z_b}{D}$$

$$Z_2 = \frac{Z_a Z_c}{D}$$

$$Z_3 = \frac{Z_b Z_c}{D}$$

$$D = Z_a + Z_b + Z_c$$

$$D \neq 0$$

**10.1.2 T → Pi**

$$Z_a = \frac{N}{Z_3}$$

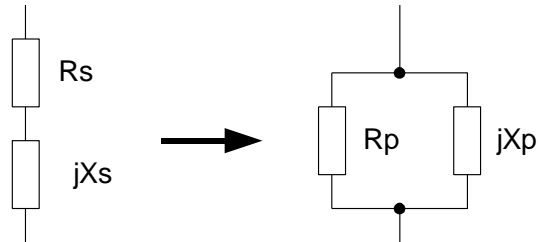
$$Z_b = \frac{N}{Z_2}$$

$$Z_c = \frac{N}{Z_1}$$

$$N = Z_1 Z_2 + Z_2 Z_3 + Z_1 Z_3$$

## 10.2 Umwandlung Serie ↔ Parallel

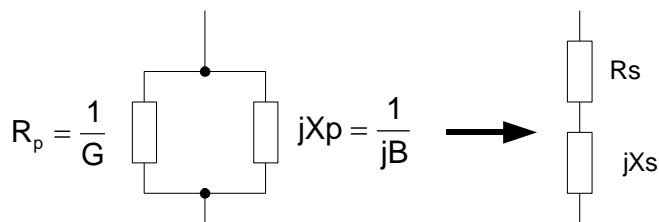
### 10.2.1 Serie → Parallel



$$R_p = \frac{1}{G} = \frac{R_s^2 + X_s^2}{R_s}$$

$$jX_p = \frac{1}{jB} = j \frac{R_s^2 + X_s^2}{X_s}$$

### 10.2.2 Parallel → Serie



$$R_s = \frac{R_p X_p^2}{R_p^2 + X_p^2}$$

$$jX_s = j \frac{X_p R_p^2}{R_p^2 + X_p^2}$$

$$Q = \frac{|X_s|}{R_s} = \frac{R_p}{|X_p|}$$

$$R_s = \frac{R_p}{Q^2 + 1}$$

$$R_p = (Q^2 + 1)R_s$$

$$|X_s| = R_s Q$$

$$|X_p| = \frac{R_p}{Q}$$

**Für  $Q > 10$ :**

$$R_s \approx \frac{R_p}{Q^2}$$

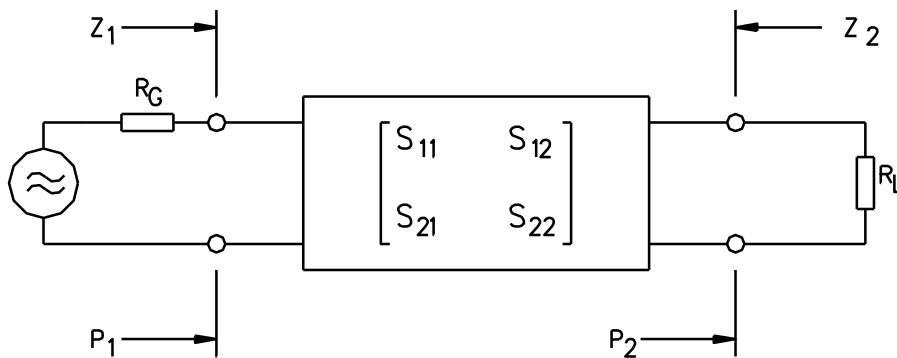
$$R_p \approx Q^2 R_s$$

$$|X_s| \approx |X_p|$$

$$|X_p| \approx |X_s|$$

### 10.3 DÄMPFUNGSGLIEDER

(Pad)



$$a \text{ dB} = 10 \log \frac{P_1}{P_2} = 10 \log D = -20 \log S_{21}$$

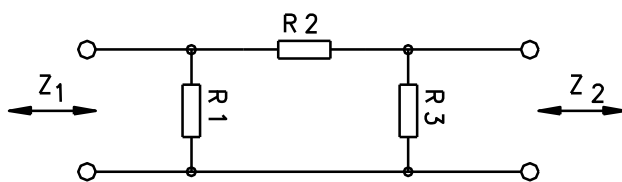
für  $R_G = Z_1$  und  $R_L = Z_2$

$$D = \frac{P_1}{P_2}$$

für  $Z_1$  nicht gleich  $Z_0$  gilt:

$$D_{\min} = \frac{2Z_1}{Z_2} - 1 + 2 \sqrt{\frac{Z_1}{Z_2} \left( \frac{Z_1}{Z_2} - 1 \right)}$$

#### 10.3.1 PI-Glieder



PI-Glied

Für unsymmetrische PI-Glieder gelten bei  $Z_1 > Z_2$  folgende Gleichungen:

$$R_1 = \frac{(D-1)Z_1\sqrt{Z_2}}{(D+1)\sqrt{Z_2} - 2\sqrt{DZ_1}}$$

$$R_2 = \frac{D-1}{2} \sqrt{\frac{Z_1 Z_2}{D}}$$

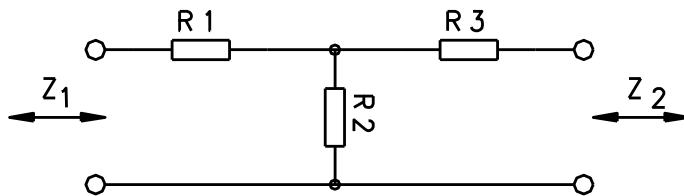
$$R_3 = \frac{(D-1)Z_2\sqrt{Z_1}}{(D+1)\sqrt{Z_1} - 2\sqrt{DZ_2}}$$

und für  $Z_1 = Z_2$ :

$$R_1 = R_3 = Z_1 \frac{\sqrt{D} + 1}{\sqrt{D} - 1}$$

$$R_2 = \frac{Z_1(D-1)}{2\sqrt{D}}$$

### 10.3.2 T-Glieder



T-Glied

Für unsymmetrische T-Glieder gelten bei  $Z_1 > Z_2$  folgende Gleichungen:

$$R_1 = \frac{Z_1(D+1) - 2\sqrt{DZ_1Z_2}}{D-1}$$

$$R_2 = \frac{2 \cdot \sqrt{D \cdot Z_1 Z_2}}{D-1}$$

$$R_3 = \frac{Z_2(D+1) - 2\sqrt{DZ_1Z_2}}{D-1}$$

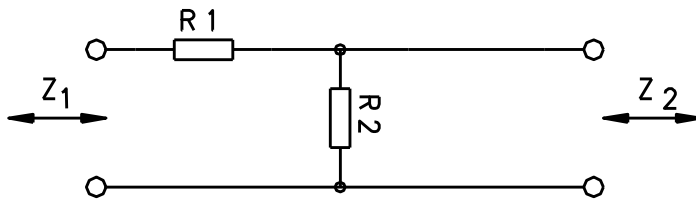
und für  $Z_1 = Z_2$ :

$$R_1 = R_3 = Z_1 \frac{\sqrt{D} - 1}{\sqrt{D} + 1}$$

$$R_2 = \frac{2Z_1\sqrt{D}}{D-1}$$

### 10.3.3 Minimum Loss Pad (MLP)

Wenn  $D_{\min}$  verwendet werden soll, so wird beim T-Glied  $R_1 = 0$  und beim PI-Glied  $R_3 = \infty$ .



Minimum Loss Pad

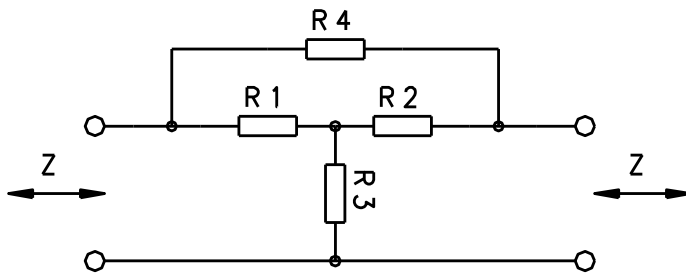
Für  $Z_1 > Z_2$ :

$$R_1 = Z_1 \sqrt{1 - \frac{Z_2}{Z_1}}$$

$$R_2 = \frac{Z_2}{\sqrt{1 - \frac{Z_2}{Z_1}}}$$

$$D = \left( \sqrt{\frac{Z_1}{Z_2}} + \sqrt{\frac{Z_1}{Z_2} - 1} \right)^2$$

### 10.3.4 Überbrücktes T-Glied



Überbrücktes T-Glied

$$R_1 = R_2 = Z$$

$$R_4 = Z(\sqrt{D} - 1)$$

$$R_3 = \frac{Z}{\sqrt{D} - 1}$$



## 11 Intermodulation

Wenn die Nichtlinearität der Übertragungsfunktion klein ist, kann die Übertragungsfunktion mit einem Polynom dargestellt werden:

$$u_2(t) = k_1 u_1(t) + k_2 u_1(t)^2 + k_3 u_1(t)^3 + \dots + k_n u_1(t)^n \quad \text{IM1.1}$$

Wird der Zweitor mit zwei Signalen der Frequenzen  $f_1$  und  $f_2$  angesteuert, so gilt

$$u_1(t) = A_1 \cos \omega_1 t + A_2 \cos \omega_2 t \quad \text{IM1.2}$$

Wenn  $\omega_1$  und  $\omega_2$  nahe beieinander liegen, kann  $k_1$  für beide Signale gleich angenommen werden.

Für Gleichung IM1.1 gilt dann

$$u_2(t) = k_1 (A_1 \cos \omega_1 t + A_2 \cos \omega_2 t) + k_2 (A_1 \cos \omega_1 t + A_2 \cos \omega_2 t)^2 + k_3 (A_1 \cos \omega_1 t + A_2 \cos \omega_2 t)^3 \quad \text{IM1.3}$$

Mit den Beziehungen

$$\cos^2 \alpha = \frac{1 + \cos 2\alpha}{2}$$

$$\cos^3 \alpha = \frac{\cos 3\alpha + 3 \cos \alpha}{4}$$

$$\cos \alpha_1 \cos \alpha_2 = \frac{\cos(\alpha_1 - \alpha_2) + \cos(\alpha_1 + \alpha_2)}{2}$$

erhält man schliesslich:

$$\begin{aligned} u_2(t) = & k_1 (A_1 \cos \omega_1 t + A_2 \cos \omega_2 t) \\ & + k_2 \left[ A_1^2 \frac{1 + \cos 2\omega_1 t}{2} + A_2^2 \frac{1 + \cos 2\omega_2 t}{2} + A_1 A_2 \cos\{(\omega_1 + \omega_2)t\} + \cos\{(\omega_1 - \omega_2)t\} \right] \\ & + k_3 \left\{ \left[ A_1^3 \left( \frac{\cos \omega_1 t}{2} + \frac{\cos \omega_1 t}{4} + \frac{\cos 3\omega_1 t}{4} \right) + A_2^3 \left( \frac{3 \cos \omega_2 t}{4} + \frac{\cos 3\omega_2 t}{4} \right) \right] \right. \\ & + A_1^2 A_2 \left[ \frac{3 \cos \omega_2 t}{2} + \frac{3 \cos\{(2\omega_1 + \omega_2)t\}}{4} + \frac{3 \cos\{(2\omega_1 - \omega_2)t\}}{4} \right] \\ & \left. + A_2^2 A_1 \left[ \frac{3 \cos \omega_1 t}{2} + \frac{3 \cos\{(2\omega_2 + \omega_1)t\}}{4} + \frac{3 \cos\{(2\omega_2 - \omega_1)t\}}{4} \right] \right\} \end{aligned}$$

oder aufgegliedert nach Frequenzkomponenten

**1. Ordnung**

$$\left( k_1 A_1 + \frac{3}{4} k_3 A_1^3 + \frac{3}{2} k_3 A_1 A_2^2 \right) \cos \omega_1 t$$

$$\left( k_1 A_2 + \frac{3}{4} k_3 A_2^3 + \frac{3}{2} k_3 A_1^2 A_2 \right) \cos \omega_2 t$$

**2. Ordnung**

$$(k_2 A_1 A_2) \cos(\omega_1 \pm \omega_2) t$$

$$\left( \frac{1}{2} k_2 A_1^2 \right) \cos 2\omega_1 t$$

$$\left( \frac{1}{2} k_2 A_2^2 \right) \cos 2\omega_2 t$$

**3. Ordnung**

$$\left( \frac{3}{4} k_3 A_1^2 A_2 \right) \cos(2\omega_1 \pm \omega_2) t$$

$$\left( \frac{3}{4} k_3 A_1 A_2^2 \right) \cos(2\omega_2 \pm \omega_1) t$$

$$\left( \frac{1}{4} k_3 A_1^3 \right) \cos 3\omega_1 t$$

$$\left( \frac{1}{4} k_3 A_2^3 \right) \cos 3\omega_2 t$$

Es sind also 11 neue Frequenzen entstanden:

**2. Ordnung**

$$f_1 + f_2$$

$$f_1 - f_2$$

$$f_2 - f_1$$

Mischprodukte, IM 2. Ordnung

$$2f_1$$

$$2f_2$$

Oberwellen

**3. Ordnung**

$$2f_1 + f_2$$

$$2f_1 - f_2$$

$$2f_2 + f_1$$

$$2f_2 - f_1$$

$$3f_1$$

$$3f_2$$

Intermodulation 3. Ordnung

Oberwellen

Bei den **Intermodulationsprodukten** ist überall  $k_3$ , d.h. der **kubische** Anteil der Übertragungsfunktion, beteiligt.

Bei den **Mischprodukten** ist überall  $k_2$ , d.h. der **quadratische** Anteil der Übertragungsfunktion, beteiligt.

Daraus kann geschlossen werden:

**Mischer sollten möglichst ideale quadratische Kennlinien aufweisen.**

**Verstärker sollten möglichst keine kubischen Kennlinienanteile aufweisen.**

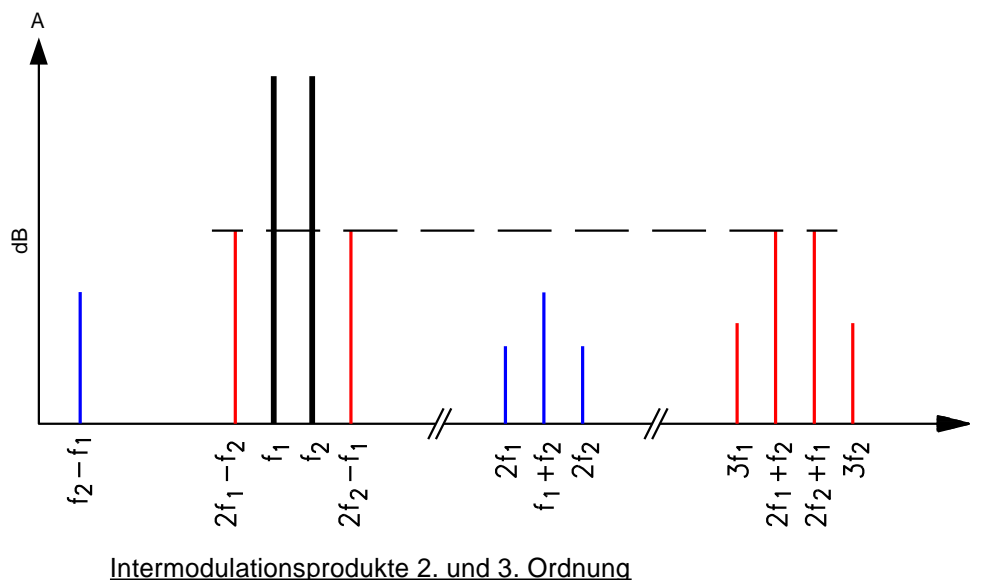
Aus den Gleichungen IM1.5 - 7 können auch die Amplitudenverhältnisse berechnet werden.

Beispiel:

$$\frac{A_{f_1+f_2}}{A_{2f_1}}$$

für  $A_1 = A_2$

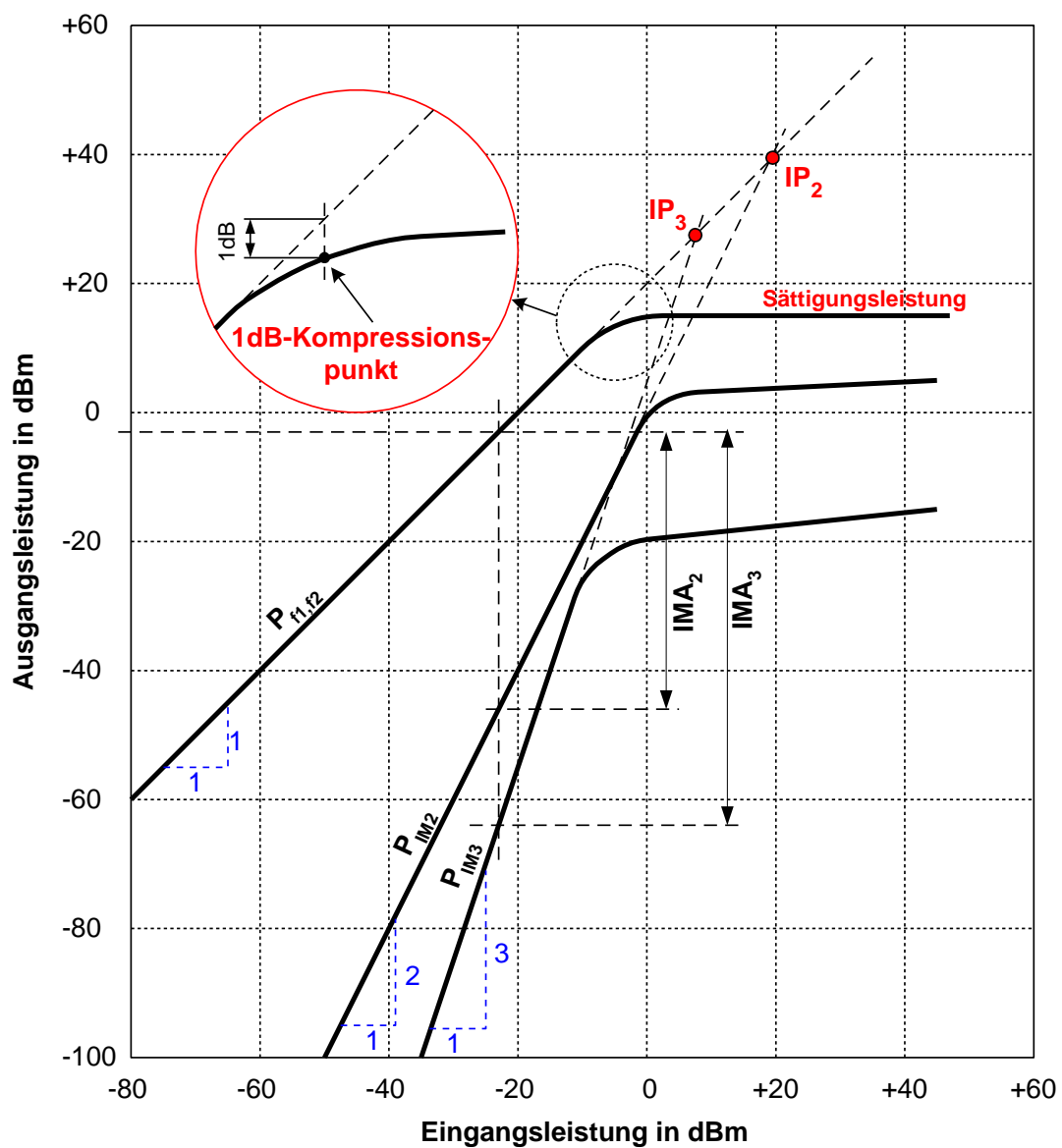
Auf diese Weise kann auch bewiesen werden, dass die Amplituden der Produkte  $2f_1-f_2$ ,  $2f_2-f_1$ ,  $2f_1+f_2$  und  $2f_2+f_1$  gleich gross sind.



## 11.1 Intercept Punkt

Der Intercept-Punkt n-ter Ordnung ( $IP_n$ ) ist diejenige Leistung, bei der die Nutzsignale die gleiche Leistung aufweisen, wie die IM-Produkte n-ter Ordnung.

Dieser Punkt kann nur theoretisch ermittelt werden, weil er bei Leistungen liegt, bei denen der Zweitor längst in Sättigung betrieben wird.



Für  $A_1 = A_2$  ( $P_{f1} = P_{f2}$ ) ist aus den Gleichungen IM1.5 und IM1.7 ersichtlich, dass die Amplituden der  $IM_2$ -Produkte mit der Potenz 2 und die  $IM_3$ -Produkte mit der Potenz 3 der Amplituden der Nutzsignale verknüpft sind.

**Dies bedeutet, dass bei einer Pegeländerung der Nutzfrequenzen um 1 dB,  
die Pegel der  $IM_2$ -Produkte um 2 dB  
und  
die Pegel der  $IM_3$ -Produkte um 3 dB ändern.**

Diese Zusammenhänge führen zu den Gleichungen

$$OIP_2 = P_{out} + IMA_2$$

alle Leistungen in dBm

$$OIP_3 = P_{out} + \frac{IMA_3}{2}$$

alle Leistungen in dBm

oder allgemein

$$OIP_n = P_{out} + \frac{IMA_n}{n-1}$$

alle Leistungen in dBm

$OIP_n$  = Output Intercept Punkt n-ter Ordnung, dBm

$P_{out}$  = Ausgangsleistung der Nutzsignale, dBm

$IMA_n$  = Intermodulationsabstand der Produkte n-ter Ordnung, dB

In vielen Fällen wird der IP auf den Eingang des Zweitorts bezogen (Empfänger, Mischer, etc).

Es gilt

$$IIP_n = OIP_n - v$$

$IIP_n$  = Input Intercept Punkt n-ter Ordnung, dBm  
 $v$  = Verstärkung der Zweitorts, dB

Analog zu IM1.1.3 gilt

$$IIP_n = P_{in} + \frac{IMA_n}{n-1}$$

alle Leistungen in dBm

$$OIP_n = \frac{n \cdot P_{out} - P_{IM_n}}{n-1}$$

alle Leistungen in dBm

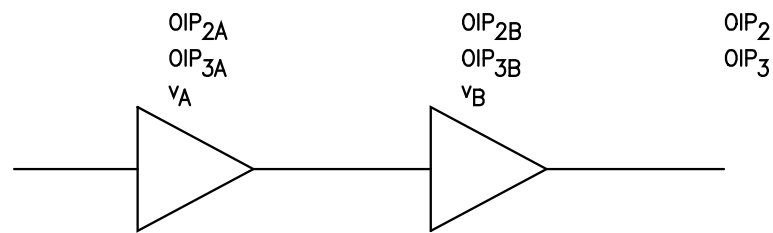
und auf den Eingang bezogen

$$IIP_n = \frac{n \cdot P_{in} - P_{IM_n}}{n-1}$$

alle Leistungen in dBm

## 11.2 Intercept Punkt kaskadierter Zweitore

Bei **Bezug auf den Ausgang** gilt:



### 2. Ordnung:

$$P_{OIP_2} = \frac{1}{\left[ \frac{1}{\sqrt{v_B \cdot P_{OIP_{2A}}}} + \frac{1}{\sqrt{P_{OIP_{2B}}}} \right]^2}$$

alle Leistungen in mW, Verstärkung als Leistungsverhältnis

$P_{OIP_2}$  = Ausgangs Intercept-Punkt 2. Ordnung der kaskadierten Schaltung, mW

$P_{OIP_{2A}}$  = Ausgangs Intercept-Punkt 2. Ordnung des 1. Verstärkers, mW

$P_{OIP_{2B}}$  = Ausgangs Intercept-Punkt 2. Ordnung des 2. Verstärkers, mW

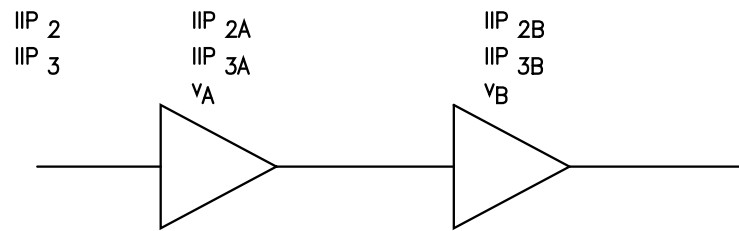
$v_B$  = Leistungsverstärkung der 2. Stufe, Verhältnis

### 3. Ordnung:

$$P_{OIP_3} = \frac{1}{\frac{1}{v_B \cdot P_{OIP_{3A}}} + \frac{1}{P_{OIP_{3B}}}}$$

alle Leistungen in mW, Verstärkung als Leistungsverhältnis

Bei **Bezug auf den Eingang** gilt:



**2. Ordnung:**

$$P_{IIP_2} = \frac{1}{\left[ \sqrt{\frac{1}{P_{IIP_{2A}}}} + \sqrt{\frac{v_A}{P_{IIP_{2B}}}} \right]^2}$$

alle Leistungen in mW, Verstärkung als Leistungsverhältnis

**3. Ordnung:**

$$P_{IIP_3} = \frac{1}{\frac{1}{P_{IIP_{3A}}} + \frac{v_A}{P_{IIP_{3B}}}}$$

alle Leistungen in mW, Verstärkung als Leistungsverhältnis

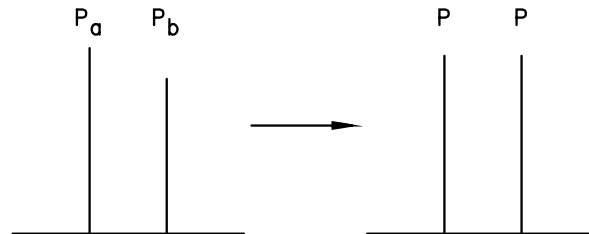


### 11.3 Messsignale ungleicher Amplituden

Für die Messung des Intercept-Punktes werden normalerweise zwei Signale gleicher Amplitude verwendet, wie in den bisherigen Betrachtungen immer angenommen wurde.

Für spezielle Anwendungen wie z.B. Fernsehsender, Breitband Kabelfernsehanlagen, etc. werden die Signalamplituden der Anwendung angepasst und es werden zwei oder drei Signale verschiedener Amplituden verwendet.

Diese Signale können in äquivalente Signale gleicher Amplituden umgerechnet werden:



IM 2. Ordnung:

$$P = \sqrt{P_a \cdot P_b}$$

IM 3. Ordnung:

$$P = \sqrt[3]{P_a^2 \cdot P_b} \quad P_a > P_b$$

oder bei 3 Signalen

$$P = \sqrt[3]{P_a \cdot P_b \cdot P_c}$$

alle Leistungen in mW

## 12 Dynamikbereich

Die **untere Grenze** wird durch das Rauschmass NF bestimmt. Auf den Eingang bezogen ergibt sich eine Rauschleistung von

$$P_{N1} \text{ dBm} = -174 \text{ dBm} + 10 \log \frac{B}{1\text{Hz}} \text{ dB} + \text{NF dB}$$

Die **obere Grenze** ist je nach Anwendung erreicht, wenn

- Die Intermodulationsprodukte die gleiche Leistung aufweisen, wie die Rauschleistung
- Die Intermodulationsprodukte einen bestimmten, störenden Wert erreichen, z.B. beim Fernsehen die Sichtbarkeitsgrenze
- Der Zweitor in stark nichtlineares Verhalten übergeht, z.B. 1dB-Kompressionspunkt

**Für die meisten Anwendungen ist die Grenze nach a) massgebend. In diesem Falle wird der Bereich zwischen unterer und oberer Grenze "Intermodulationsfreier Dynamikbereich"  $DR_{IM}$  genannt.**

Es gilt dann:

$$DR_{IM} \text{ dB} = P_{\max} \text{ dBm} - P_{N1} \text{ dBm}$$

$$DR_{IM} = \left( \frac{P_{IIP_3}}{P_{N1}} \right)^{\frac{2}{3}}$$

in logarithmischer Darstellung:

$$DR_{IM} \text{ dB} = \frac{2}{3} (IIP_3 \text{ dBm} - P_{N1} \text{ dBm})$$

oder

$$P_{in_{\max}} \text{ dBm} = \frac{1}{3} (2 \cdot IIP_3 \text{ dBm} + P_{N1} \text{ dBm})$$

## 13 Freiraumausbreitung

### 13.1 Elektromagnetisches Feld

Im Fernfeld einer Antenne ( $d > 4\lambda$ ) stehen elektrische und magnetische Komponente des Feldes senkrecht aufeinander und liegen in einer Ebene senkrecht zur Ausbreitungsrichtung.

Senkrecht auf dieser Ebene ist der „Poyntingsche Vektor“  $\vec{S}$  in Ausbreitungsrichtung definiert und stellt das Vektorprodukt aus  $\vec{E}$  und  $\vec{H}$  dar:

$$\vec{S} = \vec{E} \times \vec{H}$$

$\vec{S}$  = Poyntingscher Vektor

$\vec{E}$  = elektrischer Feldvektor

$\vec{H}$  = magnetischer Feldvektor

$\vec{S}$  wird auch als **Leistungsdichte** bezeichnet und stellt die Leistung pro Flächeneinheit dar.

Bei Betrachtung der stationären Welle in der Ebene können die Vektorprodukte als normale Produkte der Betragsgrößen geschrieben werden:

$$S = |\vec{S}| = |\vec{E}| \cdot |\vec{H}| = E \cdot H$$

$$S = \text{Leistungsdichte in } \frac{\text{W}}{\text{m}^2}$$

$$E = \text{elektrische Feldstärke in } \frac{\text{V}}{\text{m}}$$

$$H = \text{magnetische Feldstärke in } \frac{\text{A}}{\text{m}}$$

In der Praxis wird S verwendet, um Grenzwerte für die Belastung des Menschen im Bereich strahlender Antennen festzulegen.

Für das Fernfeld ist die Impedanz des freien Raumes, der Feldwellenwiderstand:

$$Z_F = \frac{E}{H} = \sqrt{\frac{\mu_0}{\epsilon_0}} = 120 \cdot \pi \Omega$$

Aus den Gleichungen 1) und 2) erhält man:

$$S = E \cdot H = \frac{E^2}{Z_F}$$

Verwenden wir als Sendeantenne einen isotropen Kugelstrahler, d.h. eine theoretische, punktförmige Antenne, die die zugeführte Leistung gleichmässig in den kugelförmigen Raum abstrahlt, so erzeugt diese Antenne im Abstand  $d$  die Leistungsdichte

$$S = \frac{P_s}{A} = \frac{P_s}{4\pi d^2}$$

$P_s$  = Sendeleistung

$A$  = Kugeloberfläche

$d$  = Radius

Wird als Antenne nicht ein isotroper Kugelstrahler, sondern eine Antenne, die bezogen auf den Kugelstrahler den Gewinn  $G_s$  aufweist verwendet, so ist die Leistungsdichte

$$S = \frac{P_s G_s}{4\pi d^2}$$

Das Produkt  $P_s G_s$  wird als **Equivalent Isotropic Radiated Power** EIRP bezeichnet.

$$P_s G_s = \text{EIRP}$$

In vielen Fällen wird als Referenzantenne der  $\lambda/2$ -Dipol verwendet. Der Halbwellendipol hat gegenüber dem isotropen Strahler einen Gewinn von 1.64 (2.14 dB). Bei Bezug des Antennengewinnes auf den Halbwellendipol wird das Produkt  $P_s G_{sD}$  als **Effectiv Radiated Power** ERP bezeichnet.

$$P_s G_{sD} = \text{ERP}$$

$G_{sD}$  = Antennengewinn bezogen auf Halbwellenstrahler

Wird eine Empfangsantenne in ein elektromagnetisches Feld gestellt, so wird von ihr folgende Leistung aufgenommen (Empfangssituation):

$$P_e = S \cdot A_e$$

$P_e$  = Empfangsleistung

$A_e$  = Wirkfläche der Empfangsantenne

$$A_e = \frac{\lambda^2 G_e}{4\pi}$$

$\lambda$  = Wellenlänge

$G_e$  = Gewinn der Empfangsantenne (isotrop)

Aus 5), 8) und 9) erhalten wir die Empfangsleistung zu

$$P_e = S \cdot A_e = \frac{P_s G_s}{4\pi d^2} \cdot \frac{\lambda^2 G_e}{4\pi} = \frac{P_s G_s G_e \lambda^2}{(4\pi)^2 d^2}$$

### 13.2 Freiraumdämpfung

Die Freiraumdämpfung (Free Space Loss FSL)  $a_{\text{FSL}}$  erhalten wir

$$a_{\text{FSL}} = \frac{P_s}{P_e} = \frac{(4\pi)^2 d^2}{G_s G_e \lambda^2}$$

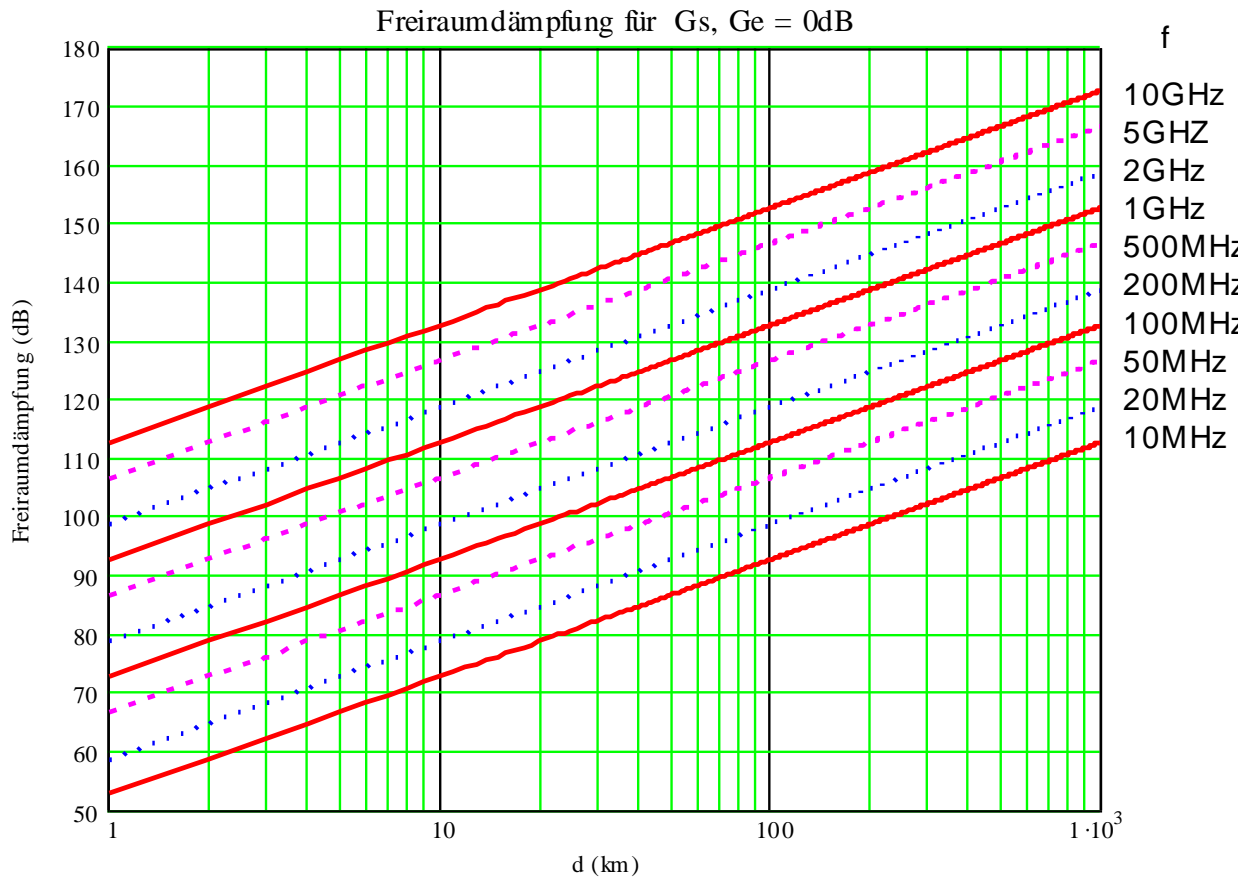
mit  $\lambda = \frac{c}{f} = \frac{3 \cdot 10^8 \text{ m} \cdot \text{s}^{-1}}{f}$

$$a_{\text{FSL}} = \frac{(4\pi)^2 d^2 f^2}{G_s G_e (3 \cdot 10^8)^2}$$

Diese Gleichung kann auch als zugeschnittene Grössengleichung in logarithmischer Form geschrieben werden:

$$a_{\text{FSL}} / \text{dB} = 10 \log \left( \frac{P_s}{P_e} \right) = 32.45 + 20 \log \left( \frac{d}{\text{km}} \right) + 20 \log \left( \frac{f}{\text{MHz}} \right) - 10 \log(G_s) - 10 \log(G_e)$$

$G_s, G_e$  bezogen auf isotropen Strahler



### 13.3 Bestimmung der Feldstärke

Aus den Gleichungen 2), 3) und 5) erhalten wir

$$E^2 = \frac{P_s G_s 2\pi \cdot 60\Omega}{4\pi d^2} = \frac{P_s G_s 30\Omega}{d^2}$$

oder

$$E = \frac{\sqrt{P_s G_s 30\Omega}}{d} = \frac{\sqrt{EIRP \cdot 30\Omega}}{d} = \frac{\sqrt{EIRP} \cdot 5.477\sqrt{\Omega}}{d}$$

Bezieht man den **Antennengewinn auf den  $\lambda/2$ -Dipol ( $G_{sD}$ )** so erhält man:

$$E = \frac{\sqrt{P_s G_{sD} \cdot 1.64 \cdot 30\Omega}}{d} = \frac{\sqrt{ERP \cdot 1.64 \cdot 30\Omega}}{d} = \frac{\sqrt{ERP} \cdot 7.014\sqrt{\Omega}}{d} \quad 16)$$

### 13.4 Bestimmung der Empfangsspannung an einem 50Ω-System

$$U_{RX} = \sqrt{P_e \cdot 50\Omega} = \frac{E \cdot \lambda}{\pi} \cdot \sqrt{G_{eD}} \cdot \sqrt{\frac{1.64 \cdot 50}{8 \cdot 60}} = E \cdot \lambda \cdot \sqrt{G_{eD}} \cdot 0.1316$$

$$U_{RX} = E \cdot \lambda \cdot \sqrt{G_{eD}} \cdot 0.1316$$

oder mit  $\lambda = \frac{c}{f} = \frac{3 \cdot 10^8 \text{ m} \cdot \text{s}^{-1}}{f}$

$$\frac{U_{RX}}{V} = \frac{E}{V/m} \cdot \frac{\text{MHz}}{f} \cdot \sqrt{G_{eD}} \cdot 39.48$$

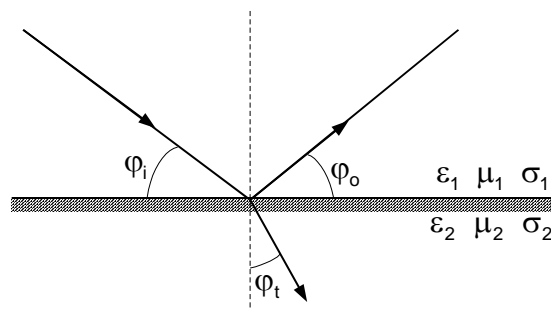
## 14 Terrestrische Ausbreitung

### 14.1 Die drei grundsätzlichen Ausbreitungsmechanismen

#### Reflexion – Diffraktion (Beugung) – Scattering (Streuung)

Für terrestrische Netze im Frequenzbereich von 30 MHz bis 1000 MHz wird eine Ausbreitung wirksam, die durch Beugung, Reflexion und Streuung geprägt ist. Durch diese Effekte ist eine Versorgung mit genügender Feldstärke vielfach auch gewährleistet, wenn der direkte Weg zwischen Sender und Empfänger durch die Topographie abgeschattet ist.

#### 14.1.1 Reflexion

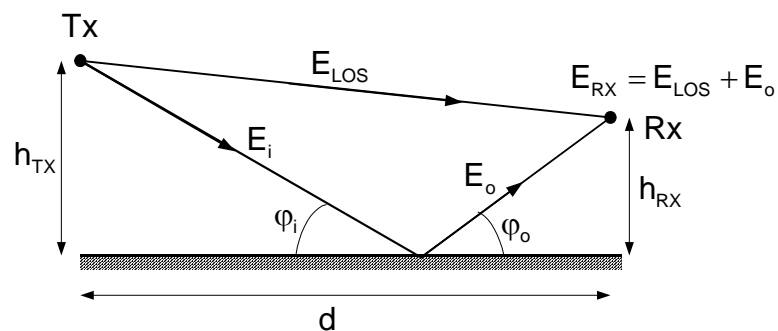


$\epsilon$  = Permittivität

$\mu$  = Permeabilität

$\sigma$  = Leitwert

**Bodenreflexion:**



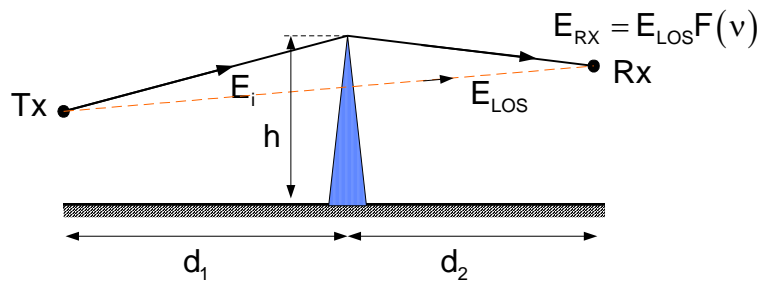
Approximation:

$$P_{Rx} \approx P_{Tx} G_{Tx} G_{Rx} \frac{h_{Tx}^2 h_{Rx}^2}{d^4}$$



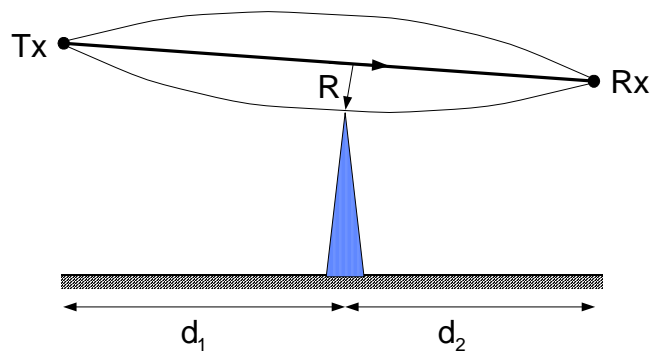
### 14.1.2 Diffraktion (Beugung)

Für die Diffraktion wird meistens ein Modell mit Beugung an einer scharfen Kante (Knife-Edge) verwendet.



$$E_{RX} = E_{LOS} \frac{1+j}{2} \int_v^{\infty} e^{-\frac{j\pi t^2}{2}} dt \quad \text{mit } v = h \sqrt{\frac{2(d_1 + d_2)}{\lambda d_1 d_2}}$$

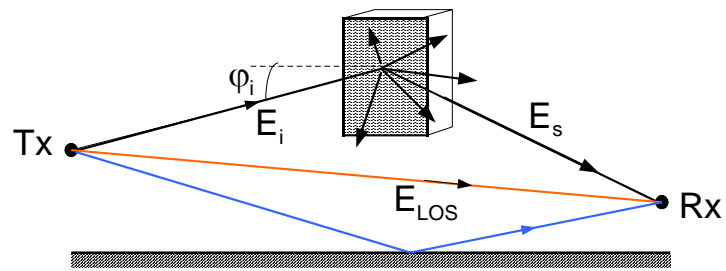
Für Line of Sight Verbindungen LOS (z.B. Mikrowellenlinks) sollte wenigstens die erste Fresnel-Zone frei von Hindernissen sein:



$$R = \sqrt{\frac{\lambda d_1 d_2}{d_1 + d_2}}$$

### 14.1.3 Streuung (Scattering)

Scattering erfolgt an rauen Oberflächen wie Gebäuden, Bäumen, Felsen, etc.



Der Scattering-Verlustfaktor kann approximiert werden mit

$$\rho_s \approx e^{-8 \left( \frac{\pi \sigma \cos(\varphi_i)}{\lambda} \right)^2} J_0 \left( 8 \left( \frac{\pi \sigma \cos(\varphi_i)}{\lambda} \right)^2 \right)$$

$\sigma$  = Oberflächenrauigkeit

$J_0$  = Bessel Funktion erster Art nullter Ordnung

$$E_s = E_i \rho_s$$

## 14.2 Freiraum (Free-Space)

Für die Freiraumausbreitung kann nach Gleichung 14) die Feldstärke am Empfangsort bestimmt werden mit

$$E = \sqrt{\frac{P_s G_s 30\Omega}{d^2}}$$

oder der Feldstärkepegel  $F_o$  in dBu/m

$$F_o / (\text{dBu/m}) = 10\log\frac{P_s}{W} + 10\log G_s - 20\log\frac{d}{\text{km}} + 74.8$$

## 14.3 Ebene Erde

Unter Berücksichtigung der Beugung und Reflexion auf der **ebenen Erde** findet man die Approximation

$$F_E / (\text{dBu/m}) = \begin{cases} F_o & A_E < 0 \\ F_o - A_E & A_E > 0 \end{cases}$$

mit

$$A_E / \text{dB} = 20\log\frac{d}{\text{km}} - 20\log\frac{f}{\text{MHz}} - 20\log\frac{h_s}{\text{m}} - 20\log\frac{h_E}{\text{m}} + 87.6$$

$h_s$  = Höhe der Sendeantenne

$h_E$  = Höhe der Empfangsantenne

oder als Streckendämpfung ausgedrückt:

$$a_E / \text{dB} = \begin{cases} a_{\text{FSL}} / \text{dB} & A_E < 0 \\ a_{\text{FSL}} / \text{dB} + A_E / \text{dB} & A_E > 0 \end{cases}$$

Aus Messungen in verschiedenen Geländen, Topographien und Überbauungen wurden Modelle und empirische Formeln für die Berechnung der Ausbreitungsdämpfungen entwickelt. Einige Methoden haben sich als Standard etabliert und sind zum Teil sogar durch CCIR normiert.

## 14.4 Das Hata-Modell

(M. Hata; Empirical formula for propagation loss in land mobile radio services, IEEE VT-29, 1980, S317-325)

Das Hata-Modell basiert auf Messungen in verschiedenen Geländen und das empirisch entwickelte Modell benützt die Mehrpfadausbreitung als Grundlage. Es ist durch CCIR normiert.

Geltungsbereich:

$$100 \text{ MHz} < f < 1500 \text{ MHz}$$

$$1 \text{ km} < d < 20 \text{ km}$$

$$30 \text{ m} < h_s < 200 \text{ m}$$

$$1 \text{ m} < h_E < 10 \text{ m}$$

$$a_{\text{CCIR}} / \text{dB} = 69.55 + 26.16 \log\left(\frac{f}{\text{MHz}}\right) - 13.82 \log\left(\frac{h_s}{\text{m}}\right) + \left[44.9 - 6.55 \log\left(\frac{h_s}{\text{m}}\right)\right] \log\left(\frac{d}{\text{km}}\right) + a_x(h_E)$$

$$a_x(h_E) = \begin{cases} \left[0.7 - 1.1 \log\left(\frac{f}{\text{MHz}}\right)\right] \frac{h_E}{\text{m}} + 1.56 \log\left(\frac{f}{\text{MHz}}\right) - 0.8 & \text{Mittlere Stadt} \\ 1.1 - 8.29 \left[\log\left(1.54 \frac{h_E}{\text{m}}\right)\right]^2 & \text{Grosstadt, } f < 200 \text{ MHz} \\ 4.97 - 3.2 \left[\log\left(11.75 \frac{h_E}{\text{m}}\right)\right]^2 & \text{Grosstadt, } f > 400 \text{ MHz} \end{cases}$$

Weitere Gelände:

$$a_{\text{CCIR}} = a_{\text{CCIR}} \text{ mit } a_x(h_E) = 0$$

$$a_{\text{suburb}} / \text{dB} = a_{\text{CCIR}} - 2 \left(\log \frac{f / \text{MHz}}{28}\right)^2 - 5.4 \quad \text{Vorstadt}$$

$$a_{\text{open}} / \text{dB} = a_{\text{CCIR}} - 4.78 \left[\log\left(\frac{f}{\text{MHz}}\right)\right]^2 + 18.33 \log\left(\frac{f}{\text{MHz}}\right) - 40.94 \quad \text{Offenes Gelände}$$

## 14.5 Das London-Modell

Das London-Modell basiert auf experimentell erfassten Messwerten im Stadtgebiet von London. (Ibrahim + Parson)

Geltungsbereich:

$$150 \text{ MHz} < f < 1000 \text{ MHz}$$

$$d \leq 10 \text{ km}$$

$$30 \text{ m} < h_s < 300 \text{ m}$$

$$0 < h_E < 3 \text{ m}$$

$$a_{\text{Lon}} / \text{dB} = \left\{ \begin{array}{l} -20 \log \left( 0.7 \frac{h_s}{\text{m}} \right) - 8 \log \left( \frac{h_E}{\text{m}} \right) + \frac{f / \text{MHz}}{40} + 26 \log \left( \frac{f / \text{MHz}}{40} \right) \\ -86 \log \left( \frac{f / \text{MHz} + 100}{156} \right) + \left[ 40 + 14.15 \log \left( \frac{f / \text{MHz} + 100}{156} \right) \right] \cdot \log \left( 10^3 \frac{d}{\text{km}} \right) \\ + 0.265K - 0.37H + 0.087U - 5.5 \end{array} \right\}$$

K = Überbauung durch Gebäude in % der Landfläche (typisch 3 bis 50)

H = Elevationsdifferenz zwischen Fixstation und Mobil in m (H=0, wenn Rx und Tx in einer Ebene)

U = Prozentualer Anteil der Gebäude mit mehr als 3 Stockwerken (typisch: Stadtzentrum 60 bis 100, ausserhalb Stadtzentrum 10 bis 40)

## 14.6 Über Horizont Ausbreitung

In flachem, offenem Gelände kann folgende Approximation verwendet werden:

$$a_{\text{OH}} / \text{dB} = 20 \log \left( \frac{h_s h_E}{d^2 10^6} \right) + 10 \log \left[ \frac{1 + \left( \frac{d}{6d_{\text{hor}}} \right)^7}{1 + \left( \frac{d}{d_{\text{hor}}} \right)^3} \right] + \left[ \frac{-d}{13 + 77 \left( \frac{d_{\text{hor}}}{d} \right)} + \left\{ 22 + \frac{f}{2000} \log \left( \frac{100}{f} \right) \right\} \right]$$

$$d_{\text{hor}} = 3.571 \sqrt{K} (\sqrt{h_s} + \sqrt{h_E})$$

$$K = \frac{4}{3}$$

$h_s, h_E$  = Antennenhöhen in m

$d$  = Distanz zwischen den Antennen in km

$f$  = Frequenz in MHz

$K$  = atmosphärischer Refraktionsfaktor